

50X1-HUM

**Page Denied**

Next 1 Page(s) In Document Denied

71372 Jour Polymer f Science gal 2 8 on 10 QA-SA Copy 20 27X 38½ ems Lisinichia-30  
6-2-1958 S. & D. Just, Tabular with Markoffs

Paper No. N20 Galley 2

139-141°C./13 mm. For the analysis and copolymerization experiments the product was twice redistilled to remove impurities due to the decomposition of higher fractions at the end of the distillation. The final product boiled at 136-137°C./12 mm.,  $n_D^{25} = 1.4966$ .

ANALYSIS: Calcd. for  $C_8H_{10}NO_2$ , C 66.27, H 8.34, N 7.73. Found, C 66.36, H 8.53, N 7.92.

(b) A mixture of 42.8 g. methacrylic anhydride (0.278 mole), 17.1 g. caprolactam (0.151 mole), 30 ml. of petroleum ether, and 0.7 g. CuCl was heated for 8 hr. at 100°C. in a water bath. After boiling off the petroleum ether, the first fraction, containing most of the methacrylic acid formed during the reaction, was distilled off under reduced pressure (21.5 g., 70-121°C./11 mm.).

The main fraction, containing the unsaturated imide (20.1 g.), came over within 126-140°C./11 mm. Redistillation of this fraction yielded an analytically pure product boiling at 132-134°C./11 mm.

$\epsilon$ -Caprolactam was obtained from the commercial product by crystallization from benzene, double recrystallization from acetone, and by drying the ground product in a stream of dry air for several days at 2 mm. pressure.

Sodium caprolactam was used as catalyst for the polyaddition of caprolactam to imide groups. This salt was prepared by evaporating methanol under reduced pressure from a 1 M solution of caprolactam and 1 M sodium methanolate in methanol. The last traces of methanol were removed by heating the salt for 5 minutes to 140-150°C. under 13 mm. pressure.

#### COPOLYMERIZATION OF MACL WITH STYRENE

Reactivity ratios for the copolymer system MACL-styrene were obtained by the intersection method.<sup>4</sup>

Copolymerizations were run in bulk using azobisisobutyronitrile as catalyst (0.5-1.0 weight-% of monomer mixture). The data are presented in Table I, and a plot of  $r_1$  and  $r_2$  is shown in Figure 1. It can be seen that the styrene parameter is approximately 1.0, while the MACL parameter is zero. The reason for the inability of MACL to polymerize independently is most probably due to the strong positive charge of the double bond and to steric hindrance.

TABLE I  
Data for Determination of Reactivity Ratios

Run No.	Monomer charge in mole fractions		Conversion %	N content of copolymer, in mole fractions		Copolymer composition MACL Styrene
	MACL	Styrene		%	MACL	
1	0.756	0.244	9.37	2.53	0.219	0.781
2	0.756	0.244	11.31	3.54	0.327	0.672
3	0.756	0.244	12.90	4.12	0.395	0.605
4	0.103	0.897	69.6	1.24	0.099	0.901
5	0.306	0.694	65.3	2.75	0.241	0.759

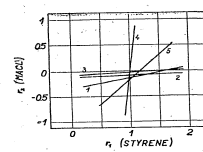


Fig. 1. Monomer reactivity ratio:  $r_1$ , styrene;  $r_2$ , MACL.

For the preparation of copolymers it was necessary to heat the monomer mixture until approximately 12% azobisisobutyronitrile at 70-80°C. for several days. The non-polymerized fraction, whose amount was substantial especially with the mixture rich in imide (since the parameter of the latter is zero), was removed by repeatedly dissolving the mixture in benzene and precipitating by surplus methanol.

STAT

#### GRAFTING OF CAPROLACTAM ON COPOLYMER

In order to intercept the initial stage of polymerization which precedes the formation of the three-dimensional gel, the grafting was carried out in solution and under relatively mild conditions at which the reaction rate was sufficiently slow.

A copolymer containing MACL and styrene in the molar ratio of 0.27:0.73 was used as the starting backbone material. Its molecular weight was found by the light scattering method to be  $1.5 \times 10^6$ . The weight ratio of copolymer to lactam was 1:1. The solutions were prepared in a dry box in the following way: Sodium caprolactam was dissolved in molten lactam and the melt added to the solution of the copolymer in toluene. Toluene was then added to prepare a 5% solution of the copolymer. The solution was then placed into an Ostwald-type viscometer, care being taken to prevent penetration of humidity into the apparatus, which was then kept in a thermostat at 95°C. The rate at which the temperature of the viscometer content approached the temperature of the thermostat bath was such that the reaction could be assumed to start after 65 sec. from the insertion of the viscometer into the bath (if we further assume that the reaction velocity is doubled for every  $10^\circ$  increase in temperature). Figure 2 shows the increase in specific viscosity under these conditions.

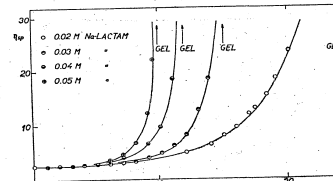


Fig. 2. Specific viscosity vs. time. Toluene solution of 5% copolymer MACL:ST = 0.27:0.73, molecular weight 150,000, 5% caprolactam. Na-caprolactam concentration as indicated. Temperature 95°.

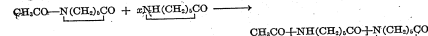
In contrast to the initial copolymer, the grafted polymer cannot be precipitated from its solution in toluene by methanol. In order to analyze parallel samples, these were precipitated with approximately a twenty-fold amount of ether. With insoluble gels the sample was first treated with methanol which swelled it to a voluminous, almost fluid gel. It was then transformed by ether to a state at which it could be filtered. The process of caprolactam addition to the copolymer was followed in these samples by determination of nitrogen by the Kjeldahl method. The applicability of this method for the exact determination of nitrogen in caprolactam polymers was checked previously.<sup>4</sup> Comparison of results with nitrogen determinations by the Kjeldahl method showed that this method is reliable also for the determination of nitrogen in the starting backbone material.

Figure 3 shows the rising nitrogen content, and it can be seen that the grafting rate remains essentially unchanged even in the region of gel formation. It decreases only when the added lactam is exhausted.

#### Grafting of Polycaprolactam on a Polymethacrylate-Type Backbone

O. WICHTERLE and V. GREGOR, Technical University, Prague, Czechoslovakia

Recently there was found in our laboratory a new method of low-temperature polymerization of lactam based on the simultaneous catalytic action of the base and imide, e.g., of sodium caprolactam and acetyl caprolactam.<sup>1</sup> We assume that during this polymerization the acyl group of the caprolactam remains on the one end of the chain while on its other end the lactam ring (or a larger polyamide ring) is held by an imide bond:



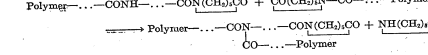
The properties of polymers thus prepared indicated that their structure differs from that of the normal polycaprolactam chain. In order to elucidate the nature of these deviations, some grafted polymers were also investigated. These can be obtained if the imide component of this catalytic process is made part of another polymer chain.

In order to introduce an active imide unit into the elementary polymer chain, N-methacryloyl- $\epsilon$ -caprolactam (MACL) was prepared by reacting methacryloyl chloride with  $\epsilon$ -caprolactam. This compound could not be polymerized alone. However, its copolymers with styrene up to the maximum molar ratio about 0.4:0.6 were prepared without difficulty.

Polymer imides prepared in this way catalyze the polymerization of caprolactam under similar conditions as simple N-acyl caprolactams. The resulting grafted copolymers have a characteristic three-dimensional structure. This shows that branching of side chains takes place in the course of grafting and crosslinks are formed between the original backbone chains.

It became clear that the investigation of this crosslinking reaction, which becomes evident even in the starting period of the grafting reaction proper by a steep rise in viscosity and ultimately by gel formation, offers a very sensitive method for the investigation of branching of polyamide chains even if this branching interferes very little with the growth of the normal linear polyamide chain.

It can be assumed that gel formation during grafting is due only to an intermolecular association of polyamide chains and to the great difference in the nature of the styrene and polyamide chains. These gels do not dissolve even in creosol, which is a good solvent for both components. Nor can it be assumed that crosslinks are formed only by a transamidation reaction between the amide and imide groups, e.g.,

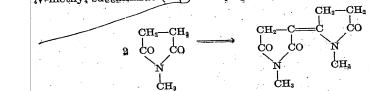


since the gels are very resistant toward hydrolytic or aminolysis agents. Imide bonds, on the contrary, are easily split by them. This can be shown by model experiments. Thus acetyl caprolactam is instantaneously amidolysed by aliphatic amines even at normal temperature. Aminolysis also takes place under very mild conditions with the initial MACL copolymer.

The gels are changed to soluble products only by very brutal hydrolysis, e.g., by heating the gel (swelled to many times its original volume) with 80% sulfuric acid for many days. Normal amide bonds are also hydrolyzed under these conditions. Thus it can be assumed, that the crosslinking reaction forms bonds whose strength is at least of the same order as that of amide bonds.

The condensation of two imide groups analogous to the synthesis of acetoacetic ester appears as the most likely explanation.

A simple model of this reaction was realized by Piešek,<sup>2</sup> who condensed N-methyl succinimide (or  $\alpha$ -methyl glutarimide) by alkaline agents:



If an analogous reaction also takes place during the grafting of caprolactam on our imide copolymers, it may be expected that this bimolecular reaction between polymer chains will practically stop when the gel has been formed, since after the gel point a collision of two imide groups can take place only if these groups, forming the terminal ends of the grafted polyamide chains, meet one another during the grafting process. On the other hand, the grafting reaction, which as the reaction of a very small molecule with a macromolecule is not diffusion-controlled, can continue at the same rate even after the gel formation takes place. The dissolution of the gel during the hydrolysis of 80% sulfuric acid is easier, the higher the content of grafted lactam. This is in agreement with the assumption that further grafting of caprolactam on the gel not many further crosslinks are formed and only the polyamide chains are extended.

#### MONOMERS

Methacryloyl Chloride was prepared according to the general method as described by Brown<sup>3</sup> by distilling anhydrous methacrylic acid (1 mole) with benzoyl chloride (1 mole). For further use the redistilled product was sufficient.

Methacryloyl Anhydride was prepared from the acid chloride and from the potassium salts according to Berlin and Makarov.<sup>4</sup>

N-Methacryloyl Caprolactam (MACL) was made directly from methacryloyl chloride and also from methacrylic anhydride.

(a) 22.6 g. caprolactam (0.2 mole) were refluxed with 10.4 g. (0.1 mole) methacryloyl chloride dissolved in petroleum ether (b.p. 35-60°C.). After 10 hr. crystals of caprolactam hydrochloride (14.5 g., 0.096 mole) so formed were filtered off under suction. The filtrate was mixed with 150 ml. of water and enough petroleum ether (ca. 150 ml.) to reduce the number of coexisting phases from three to two. The petroleum ether phase was then separated and dried with anhydrous sodium sulfate. After distilling off the petroleum ether, the raw unsaturated imide (11.5 g.) was distilled under reduced pressure. The main fraction (8.9 g., 0.019 mole) distilled within

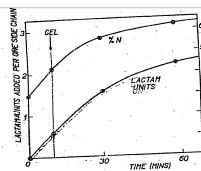


Fig. 3. Nitrogen content and number of caprolactam units added per 1 side chain respectively vs. time. 5% copolymer, 5% caprolactam, 0.05 M Na caprolactam in toluene. Temperature 95°.

## DISCUSSION

It is assumed that crosslinking is due to a bimolecular reaction between the two imide groups whose concentration remains practically constant at low conversions. This is equivalent to stating that the decrease in molar concentration of the macromolecules,  $[P]$ , is also approximately constant:

$$d[P]/dt = k$$

Since the weight increase of the polymer in this initial period is very small (at the gel point to approximately 6 styrene and 2 MACL units, only 1 lactate unit is added), the rise in molecular weight can be ascribed practically only to the interlinking of the macromolecules. The increase of molecular weight due to grafting of caprolactam units can be neglected in comparison with this increase. Thus, the practically constant weight compensation of the polymer c is inversely proportional to its molar concentration. If we further assume that the specific viscosity is proportional to the molecular weight at constant weight concentration of the polymer, and therefore inversely proportional to its molar concentration, we obtain:

$$[\text{P}] = K/\eta_{sp}$$

Figure 4 shows  $1/n_{sp}$  plotted against time at. The start of the experiment a considerable deviation from linearity can be seen, but the main part of the curve shows a linear course. This deviation from linearity is not surprising, if one considers the highly liberal assumptions made. Especially vulnerable may be the assumption of the same viscosity relation remaining valid during the experiment. Although the structural change in the chain is relatively small, amide bonds are introduced by this change which, by formation of hydrogen bonds, can substantially change the affinity of the polymer to the solvent and thus affect the cooling of its chains. This can be found, e.g., during aminolysis of an initial copolymer by benzyl amine, when  $N$ -lactamoyl groups are substituted by benzyl amino groups. It is possible that this effect may cause the initial lag seen in Figure 4.

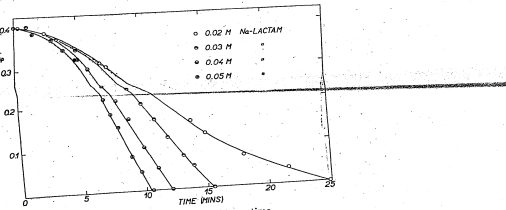


Fig. 4. Reciprocal specific viscosity vs. time

Nevertheless, the relationship presented here can give us at least a semi-quantitative view of the crosslinking reaction and of the ratio of its rate to that of the grafting. Thus, for the reaction catalyzed by 0.05 M sodium lactam we see from Figure 3 that the rate of caprolactam consumption by the grafting reaction is in the period preceding the gel point  $5.4 \times 10^{-4}$  mole  $\text{L}^{-1} \text{ min}^{-1}$  at the average. The slope of the reciprocal specific viscosity vs. time for the same experiment is  $K/K' = 0.65 \text{ min.}^{-1}$  (from Fig. 5). If we inset for  $K = (n_{sp}) n/M_0$ , the molecular weight of the initial copolymer ( $1.5 \times 10^6$ ), its concentration  $c = 50 \text{ g./l.}$ , and  $(n_{sp}) = 2.5$ , we obtain for  $k$  a value of  $5 \times 10^{-8}$  mole  $\text{L}^{-1} \text{ min.}^{-1}$ . For this case we have about one crosslinking reaction per every one hundred hexam units grafted on the polymer.

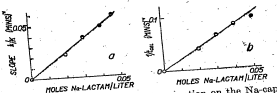


Fig. 5. Dependence of the rate of crosslinking reaction on the Na-caprolactam concentration represented by the plot (a) of the increase of the slope  $k/K$ , and (b) of the reciprocal gel point.

The rates of both the grafting and the crosslinking reactions are proportional to the sodium butanoate concentration, as expected. Figures 5a and 5b show the relationship of the slope  $k/K$  and of the reciprocal value of the gel point to the base concentration. In the treatment of the gel formation the polymers had approximately the same content of nitrogen independently to the reaction rate. This shows that the increase in the rate of the crosslinking reaction is parallel to that of the grafting reaction.

## References

1. J. Šebanda and J. Králeček, *Chem. Listy*, **52**, (1958); *Collection Czechoslovak Chem. Communications*, XVII, *Comptes Rendus IUPAC Paris, Tome II*, 106 (1957).
  2. J. Pisek, *Mémoires des Communications XVIe Congrès IUPAC Paris*, Tome II, 106 (1957).
  3. A. C. Cope and T. A. Makarov, *Zhur. Obshchey Khim.*, **21**, 1271 (1951).
  4. A. A. Cope and T. A. Makarov, *Walling. Chem., Revs.*, **46**, 191 (1959).
  5. A. Cope and T. A. Makarov, *Walling. Chem., Revs.*, **46**, 191 (1959).
  6. P. Čaplin and E. Sittler, *Chem. Listy*, **51**, 1320 (1957); *Collection Czechoslovak Chem. Commun.*, **29**, 148 (1957).

### Synopsis

Recently it has been found in our laboratories that  $\epsilon$ -caprolactam can be very readily polymerized by alkaline catalysts even at room temperature provided diacylamines, such as  $N,N'$ -acetyl caprolactam, are present. As part of the investigation of the mechanism of this reaction, we have prepared polymers of  $N$ -methylcaprolactam containing two active sites in each repeating unit, i.e., the lactam ring and the amide group. Moreover, if the caprolactam will not, for obvious steric reasons, undergo copolymerization with the polymer, it will be  $1, r_1 = r_2$ . When this copolymer is all reacted with styrene with the participation of the alkali, the styrene will enter at the site of imide groupings. Simultaneously with the addition of the lactam to the copolymer, crosslinking of the polymer takes place which causes the formation of insoluble gels at the very early stages of polymerization. It is assumed that the crosslinking is due to the action of Claisen condensation type reactions between diimide groups. This is supported by the fact that the relationship of the reciprocal specific viscosity and the reciprocal rate of diffusion continues to hold even after the gel formation. The gel production and crosslinking are proportional to the concentration of sodium caprolactam added.

— 10 —

STAT

## Synthese eines gegenüber Nickel selektiven Ionenaustauschers\*

J. ŠTAMBERG, J. SEIDL, und J. RAHM, *Forschungsinstitut für synthetische Harze und Lacke, Pardubice, Czechoslovakia*

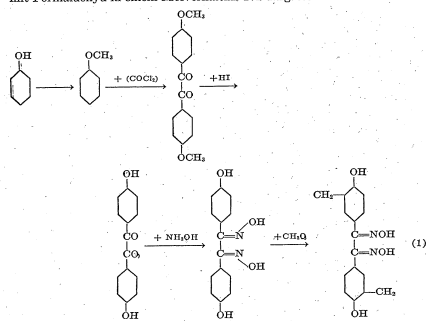
### EINLEITUNG

Wir haben die Synthese eines selektiven Ionenaustauschers studiert mit 1,2-Dioxingruppe als aktive Gruppe, deren spezifische Wirkung gegenüber Nickel bekannt ist. Mit demselben Problem hat sich Kljatschko<sup>1</sup> befasst, welcher die Synthese des Harzes durch Eintragen des Dimethylglyoxims (DMG) in das Reaktionsgemisch bei der Kondensation von  $\text{Ni}^{++}$ -Resorcin-Kationenaustauschers kurzgefasst beschrieben hat. In seiner Arbeit wird nicht die Bindungsweise des DMG im Harz diskutiert, sondern ist dabei jedoch ein physikalisch-chemisches Anhalten im Harzgerüst zu erwarten. Für seinen Ionenaustauscher gibt Kljatschko einen in weitem  $\text{Na}^+ \text{:Ni}^{++}$ -Konzentrationsbereich idealen Selektivitätscharakter an. (Siehe Abb. 4.)

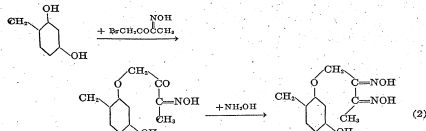
In der vorgelegten Arbeit haben wir versucht Kljatschko's Resultate einer näheren Untersuchung unterzuziehen und nebenbei die Darstellungsmöglichkeiten der Produkte, welche die in das Harzgerüst chemisch eingebaute Dioxingruppe enthalten, untersucht.

### EXPERIMENTELLER TEIL

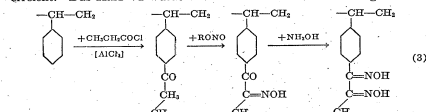
Zur Synthese des Harz I, II, III wurde das von Kljatschko schon früher<sup>2</sup> beschriebene Verfahren zur Herstellung eines Sulfonresorcin-Kationenaustauschers herangezogen. Im Falle des Harzes II wurde es nicht mehr umändert, wogegen im Falle des Harzes I 0,1 Mol DMG per 1 Mol Resorcin, und im Falle des Harzes III das Komplex  $\text{Ni}^{++}$ -DMG in demselben Verhältnis wie das Reaktionsgemisch zugefügt wurde. Das Harz IV wurde durch die Kondensation von  $p,p'$ -Dioxobenzildioxim (siehe das Reaktionsschema), mit Formaldehyd in einem Molverhältnis 1:2 dargestellt.



Zur Darstellung des Harzes V wurde das Kondensat von Resorcin (1 Mol), mit Formaldehyd (1,2 Mol) benutzt.



Die erste Phase der Synthese wurde in lauge-alkalischem Medium vorgenommen und es wurde, dem N-Gehalt nach, einen 74% igen Umsatz erreicht. Die zweite Phase wurde mit überschüssigem Hydroxylaminhydrochlorid in wässrig alkalischem durch Natriumacetat gebufferter Medium unternommen. Dem N-Gehalt nach wurde ein 95%iger Umsatz erreicht. Das Harz VI wurde nach dem Reaktionsschema dargestellt:



Urprünglich ging man vom Polystyrol von einem Mittelmolekulargewicht von 150.000 aus. In der ersten Phase der Synthese war das Komponentenverhältnis, Polystyrol: Propionylchlorid: Aluminiumchlorid 1:1:1; als Reaktionsmedium wurde Schwefelkohlenstoff gewählt, welcher die Ausgangskomponenten auflöst, nicht aber die Reaktionsprodukte. Die zweite Phase der Synthese wurde in Dioxan-Chlorkalium-Medium ausgeführt unter Verwendung von Methylnitrosogummittel. Bis zu der Zersetzung des Reduktionsmittel durch Wasser waren sämtliche Komponenten miteinander löslich, das Reaktionsprodukt wurde als halles Harz ausgeschieden. Die Oximierung wurde unter Beibehaltung derselber Bedingungen wie bei Harz V durchgeführt. Das Endprodukt (das Harz VI) enthielt 9,97% N, theoretisch Gehalt war 13,7% N (maximaler Umsatz dem N-Gehalte nach: 72,8%).

In den weiteren Versuchen ging man von einem Mischpolymere Styrol mit Divinylbenzol, mit geringem Divinylbenzolgehalt, in Form, aus. Für die Propionylierung wurde überschüssiges Propionylchlorid verwendet und das Verdünnen mit der inerten Phase (CS<sub>2</sub>) weggelassen.

Der Zeitverlauf der Zersetzung von DMG durch die Einwirkung von Formaldehyd wurde mittels gewichtsanalytischer Bestimmung von DMG (als Ni-DMG-Komplex) verfolgt. Die Propionylierung wurde entweder durch direkte Bestimmung der ketosischen Gruppe (im Fall der löslichen Produkte), durch die Bestimmung des nicht umgesetzten Propionylchlorids (im Falle des unlöslichen Acylierungsprodukts), und bei mässigem Über-

schuss an Acylierungsmittel) oder durch das Bestimmen der Gewichtszunahmen bei dem Propionylierungsprodukt (im Falle des unlöslichen Acylierungsprodukts).

### DISKUSSION

Im Gegensatz zu Kljatschko's Resultaten besass das unter Anwendung seiner Methode dargestellte Harz I gegenüber demselben Harz ohne Dimethylglyoxim (Harz II) eine geringere Austauschkapazität und dieselbe Selektivität gegenüber Nickel. (Siehe Abb. 1-4.)

Die Tatsache, dass sich das Einführen von DMG in das Harz nicht positiv auswirkt, könnte auf die Elution des labil gebundenen Dimethylglyoxims bei dem Auswaschen zurückgeführt werden. Es wurde jedoch experimentell bewiesen, dass die Elution nur in einem geringen Ausmass auftritt. (Siehe Tabelle I.)

TABELLE I

Harz	DMG-Eluat, von der ursprünglichen Menge (%)	
	I	III
	0,5-1,0	19,8

Eine weitere Erläuterung könnte in der Unfähigkeit von DMG zur Ausbildung eines Ni-Komplexes wegen Raumeneinschränkung in den Harzmizellen geschehen. Aus diesen Gründen wurde in weiteren Versuchen das Komplex von DMG mit Nickel in das Reaktionsgemisch eingeführt (Harz III). Das Resultat war eine Erhöhung des eluierten DMG bei saurer Regenerierung (Tabelle I), allerdings besass das Harz nicht den erwarteten Selektivitätscharakter. Es blieb nur noch die Erklärung übrig, dass DMG bei der Polykondensation in das Reaktionsgemisch chemisch geändert wird und seine Fähigkeit zum Binden des Nickels einbüsst. Durch eine nähere Untersuchung des Reaktionsvermögens Dimethylglyoxins und des Dimethylglyoxim-Nickel-Komplexes mit übermolekularem Formaldehyd wurde festgestellt, dass die Reaktion zwischen DMG und Formaldehyd leicht antritt und gleichzeitig sie auch das DMG-Ni-Komplex regiert. Von der DMG-Lösung in überschüssigem Formaldehyd fällt bei normaler Temperatur ein labiler Stoff (DMGF) aus, der sich von DMG durch seinen kristallinen Habitus unterscheidet. DMGF entspricht ungefähr dem Addukt von DMG mit zwei Mole Formaldehyd. In der Lösung mit überschüssigem Formaldehyd wird DMG zersetzt (Abb. 5). Während dieser Zersetzung wurde eine vorübergehende Bildung von Diaetyl beobachtet. Ähnlicherweise wird durch die Einwirkung Formaldehyds auch der Ni-DMG-Komplex zerstört, wobei, unter gleichen Bedingungen, da die Zersetzung von DMG vollständig ist, der Komplex nur zu 78,5% zerstetzt wird. Da sich auch bei der Polykondensation dasselbe Prozess vollziehen kann, kann auf diese Weise die Tatsache erklärt werden, dass DMG im Harzgerüst nicht zur Geltung kommt. Aus diesen Gründen ist das von Kljatschko zur Darstellung des gegenüber Nickel selektiven Ionenaustauschers vorgeschlagene Verfahren für nicht genug verlässlich zu halten.

Aus gleichen Ursachen ist man auch bei der Kondensation  $p,p'$ -Dioxobenzildioxins mit Formaldehyd nicht zum Ziel gelangt. Das Harz IV hatte zwar voraussetzungsgemäß zur Einwirkung Dimethylglyoxins in das Harzgerüst, es wurde jedoch ebenfalls wie DMG durch Formaldehyd zerstört. Von Seiten des  $\text{Ni}^{++}$ -Austauschers war dieses Harz nicht sehr gut. Der 2,3-Dioximinobutyl- $\alpha$ -derivat des Resorcin-Formaldehydharzes (Harz V), durch Einwirkung von Bromdiacetylmethoxim und durch nachträgliche Oximerierung dargestellt wurde, wie ein Ni-Austauschvermögen auf. Es konveniente jedoch nicht wegen seiner Neigung zur Peptisation, insbesondere bei erhöhten pH-Werten die zur Ausbildung eines Komplexes mit Nickel erforderlich sind. Bessere Resultate werden durch die aufeinander folgenden: Propionylierung, Nitrosierung und Oxiierung Polystyrols erreicht. Das Endprodukt nahm Nickel auf und dem Charakter seiner Bindung nach fiesst es an niedermolekulare Komplexe der Dioxime denken. Bei der  $\text{Ni}^{++}$ -Sorption färbte sich das lichtgelbe Harz orangegelb-braun, bei der Desorption mit verdünnter HCl verschwand die Verfärbung. Die Austausch-Charakteristik wird auf Tabelle II widergegeben.

TABELLE II

Versuch No.	Zusammensetzung der Lösung (Molarität)		Freies $\text{NH}_3$ in der Lösung (%)	Gleichgewichts-Austauschkapazität ( $\text{meq}/\text{Ni} \cdot \text{g}$ )
	( $\text{NH}_3$ ) <sup>+</sup>	( $\text{NH}_4^+$ ) <sup>+</sup>		
1	0,002	0,0	1,0	2,05
2	0,002	0,0	0,0	0,23
3	0,002	0,5	1,0	0,79
4	0,002	0,5	0,0	1,00

Die Tatsache, dass das nur selektiv aktive Gruppen enthaltendes Polymer eine praktisch ausnutzbare Austauschkapazität besass, widerspricht Kljatschko's Annahme über die Rolle der selektiv aktiven Gruppen im Ionenaustauscher. Nach jener Annahme soll der Austausch bei selektiven Ionenaustauschern an aktiven Gruppen gewöhnlichen Typs vor sich gehen und, durch den Einfluss selektiv aktiver Gruppen, sukzessive die Verdrängung sonstiger Ionen auftritt durch das Ion, mit dem die selektiv aktive Gruppe ein Komplex ausbilden fähig ist. Der selektive Ionenaustauscher, der keine Aktivierungen gewöhnlichen Typs enthält, ist nach Kljatschko's Aufassung zum Austausch praktisch unfähig. Die Möglichkeit der Existenz eines selektiven Ionenaustauschers mit einem praktisch ausnutzbaren Austauschvermögen und welcher nur selektiv aktive Gruppen enthält, wurde für andere Fälle durch die Arbeiten Skogseid<sup>3</sup> Parikh<sup>4</sup> und anderen bestätigt. Der selektive Ionenaustauscher, der die 1,2-Dioximinopropyl- $\alpha$ -derivative Polystyrols mit keiner idealen Selektivität gegenüber Nickel, wie sie in seinem Falle Kljatschko auftritt, aber ähnlicherweise wie im Falle Skogseid's Ionenaustauschers für Kalium<sup>5</sup> und Jenckel's Ionenaustauschers für Zink<sup>6</sup>, war das Austauschvermögen der Konzentration soniger in der Lösung vorliegender Ionen abhängig. (Siehe Tabelle II.)

Zurzeit wird die Struktur des vorgeschlagenen Typs des Ionenaustauschers auf Polystyrol näher untersucht und es werden seine für praktische Anwendungszwecke wichtige Eigenschaften weiter ausgebildet. Es wurde festgestellt, dass die Substitution am Polystyrol p-ständig verläuft. Der Beweis wurde mittels Oxidation des Depolymerisats und mit Isolation der Terephthalinsäure durchgeführt. Während Polystyrol am Kern propionyliert, wird Styrol bei normalen Bedingungen unter Propionylstyrol umgesetzt. Dies wird durch den Vergleich mit vermittelte Perkin-Reaktion dargestelltem Styrylithyleketen erhärtet. Mit Hinsicht auf die Verbesserung der mechanischen Eigenschaften des resultierenden Ionenaustauschers wurde lineares Polystyrol durch das Mischpolymere Styrol mit geringen Divinylbenzol-Gehalt ersetzt. Der Verlauf des Umsatzes bei der Propionylierung mit überschüssigem Propionylchlorid (Tabelle III) wurde an Hand der Gewichtszunahmen verfolgt und mit den Bestimmungswerten für Stickstoff nach der Oximerierung des Polystyrols verglichen.

TABELLE III

Reaktionszeit (min)	Mischpolymerisat ST + DVB mit Gehalt			
	0,3% DVB A(%)	B(%)	1,0% DVB A(%)	B(%)
30	73,4	80,5	73,3	70,5
60	74,6	72,0	75,0	67,0
90	81,7	71,2	78,5	58,0
180	90,2	41,2	95,7	43,4
390	102,4	64,8	102,2	45,4

A. Umsatz vermittelst Gewichtszunahmen.  
 B. Umsatz vermittelst N-Darstellung nach der Oximierung des Propionylierungsprodukts.

Die Übereinstimmung der beiden Darstellungen wurde nur im Falle der Mittelwerte des Umsatzes erreicht. Ähnlichkeiten setzten durch die Verwendung der geeigneten Reaktionszeit bestimmt auch das Dosieren des Katalysators des Umlaufreaktors ein bei der Propionylierung von  $O$  bis auf 100% bei einem Umlauf. Die gewandte Arbeitsweise ist, mit Hinsicht auf den bekannten Mechanismus der Acylierungen nach Friedel-Crafts, bemerkenswert. Zwecke eines leichteren Erreichens eines 100%igen Umsatzes in den beiden darauf folgenden Phasen der Synthese, d.h. bei der Nitrosierung und Oximerierung, werden in weiterem nur mittelmäig propionyl-erte Mischolymer dargestellt werden.

Abschließend kann man sagen, dass die vorgeschlagene Synthese ein neues Schema zur Darstellung eines Ionenaustauschers mit selektiv aktiver 1,2-Dioxingruppe aufweist, das mehr als Klijatschko's ursprünglicher Vorschlag konveniert. Ein detailliertes Studium all der drei Synthesephä- sen und der komplexbildende Eigenschaften des resultierenden Ionenaus- tauschers bildet das Thema fortgesetzter Untersuchungen.

## Literatur

1. Klijatschko, W. A., *Doklady Akad. Nauk. S.S.R.S.*, **81**, 235, (1951).
  2. Apelzin, I. E., Klijatschko, W. A., u. a., *Ionen austauscher und ihre Verwendung*, Standortgruppe, Münster, 1949.
  3. Schäfer, A., *Dissertation*, Oslo, 1948.
  4. Parish, J. R., *Chem. & Ind. (London)*, **1956**, 317, 380.
  5. Jenckel, E., *Über einen für Schwemmlösungen selektiven Ionenaustauscher*, *Forschungsberichte des Wirtschafts- und Verkehrsministeriums Nordrhein-Westfalen*, Nr. 133, 1955.

## **Wissensumfassung**

Es wurde die Synthese eines gegenständigen Katalysatoren und 1,2-Dioxingruppe als aktive Gruppe enthaltenden Ionenaustauschers untersucht. Durch die Darstellung eines Kunstharsizoneanens aus der Einwirkung von Dimethylglyoxim in den Sulfo-Resorcin-Kationsaustauscher im Stadium der Konensation in kurzgefasster Form beschrieben hat. Bei Anwendung seiner Methode wurde festgestellt, dass sie nicht zu polymerem Material führt. Dimethylglyoxim wird dabei aus dem Harz abgespalten, gesetzestilisiert, aber durch die Einwirkung von Formaldehyd, aus dem Harz, und das komplexbindende Eisen wird dabei eingeschlossen. Durch Elution von Dimethylglyoxim aus dem Harz kann man die Bindungsstabilität der 1,2-Dioxingruppe in das Moleköl bestimmen, werden, das mit Formaldehyd in Polykondensation treten kann z.B. p,p'-Benzodioxin; es wird dabei jedoch der destruktive Einfluss von Formaldehyd auf die Dioxingruppe verhindert. Eine andere Möglichkeit besteht darin, die quantitative Behandlung des Phenol-Formaldehydharzes. Sie erhält sich z.B. für eine Nischenaufnahme des z-2,3-Dioxingruppenhaltenden Formaldehyd-Harzes. Es besitzt jedoch eine geringe Stabilität, besonders bei erhöhten pH-Werten. Harz mit erhöhter Beständigkeit kann aus Polystyrol-Harz hergestellt durch die aufwendenden folgendenden Schritte: Nitrosierung und Oximerierung. Das Stadium über die Struktur des polymeren Materials zeigt, dass die Einwirkung des Protonenabstraktionsagenten auf das Harz, während in dem Styrolketonring ein Propanoatgruppe entsteht, in die -OH-Ellung an der Seitenkette eintritt. Die so gebildete Polystyrolsäure besitzt für Nickel eine Austauschkapazität von 2 m EQUIV./g und das Verfarben des Polymeren bei der Sorption entspricht dem Verlust niedermolekularen Dioxin-Nickel-Komplexes. Durch den Ionenaustausch gechangeles Ionenaustrauscher besitzt er die erforderlichen physikalisch-chemischen Eigenschaften; es wurden die Voraussetzungen für die Herstellung eines Stabil-Divinylbenzol Suspensionskopolymeren (0,3-1,1 DVB). Es wurden dabei Bedingungen für das Erreichen des erforderlichen Umsetzungsgrades gefunden. Gegenwärtig wird der Einfluss der Konzentration des primären Substrats auf die Reaktivität des Mischpolymeraten untersucht.

## Synopsis

The synthesis of an ion exchange resinite for nickel and containing a vicinal dioxime group has been described.<sup>1</sup> This problem has previously been studied by Klijnck who briefly described the preparation of an ion exchange resin by introduction of dimethylglycine into a resorcinol-formaldehyde latex in the condensation stage. Repetition of this work showed that the resin thus obtained has some ion exchange properties but loss of dimethylglycine was observed both by elution and by titration. The formation reaction on with formaldehyde, which is the cause of the complexing properties of the resin, is the deprotection of dimethylglycine from the resin may be avoided by introducing p-formaldehyde, e.g., *p,p'*-dihydroxybenzaldehyde, which does not react with formaldehyde to form a polyformaldehyde resin. Another approach consists in the use of a polyformaldehyde resin. Thus, good results of nickel removal can be obtained with the *p,p'*-dihydroxybenzaldehyde derivative of a resorcinol-formaldehyde resin.<sup>2</sup> The disadvantage of this particular material is its low stability, especially at high pH values. More resistant resins could be obtained by polymerizing a vinyl resin by successive introduction of a propenyl substituent, methionine, and so forth. An investigation of the copolymerization of styrene is reported that the propenyl group is introduced at the *p*-position, whereas in monomeric styrene the propenyl group enters at the *p*-position of the side chain. The dioxime derivative of polystyrene has a low viscosity for nickel of 2 meq./ml. The coloration of the polymer decreased as the low molecular weight dioxime molecule increased. The xerogel prepared from linear polystyrene did not have ion exchange properties; subsequent studies were therefore directed toward the preparation of a segmented diene-divinylbenzene copolymer (0.3; 1.0% DVB). Conditions for obtaining the desired amount of substitution were found. At present, the influence of the concentration of the primary substituent on the reactivity of the copolymer is being studied.

## Résumé

On avait quindi la synthèse d'un échangeur d'ions, destiné pour le nickel, contenant un groupement d'échange du dissulfure-1,2. Ce problème a été étudié par Kitahiko qui avait bonheur décrire la préparation d'une résine échangeur d'ions, par l'introduction dans l'échangeur de cations de type sulfo-séreuxiques. Les auteurs ont montré que l'ionisation du glyoxime diméthyle, par exemple, appliquant sa méthanolatation à deux fois qu'il se conduit aux résultats positifs, oxygénant ainsi la fonction échangeante partielle, mais, aussi résultant de l'application de la formaldéhyde sous perte du pouvoir pour la plupart, l'oxydation. L'lation du glyoxime diméthyle de la résine peut être enlevé par l'hydrolyse du groupement disulfure-1,2 dans une molécule qui est capable de subir la polycondensation avec la formaldéhyde, par exemple  $\text{P}\left(\text{CH}_3\right)_2\text{O}$ , dissolvant dans la résine de formaldéhyde sur le groupement disulfure. Une telle réaction se fait présentant dans la préparation conventionnelle de groupement phénol-phénolique. Pour obtenir le nickel, il convient, par exemple, le dérivé de l'acrylonitrile-styrol-2,3 de la résine fonction-résorcinol. Mais ce produit est caractérisé par une stabilité faible, en particulier aux  $\text{pH}$ -valeurs élevées. On a donc caractérisé les résines ayant une stabilité élevée, à partir de laquelle la préparation suivie de nitration et oxydation. Les auteurs ont étudié la structure du matériau polymère obtenu montant que l'introduction dans le cas de la styrolène monomère, dans la position  $\beta$  de la chaîne latérale. Le dérivé oximino de polystyrène présente, dans le cas de nickel, une capacité d'échange de  $1.6 \text{ mequiv/g}$ , la coloration du polymère présente une couleur correspondant à la coloration des complexes disulfure-1,2 avec les ions métallos. Les échangeurs d'ions peuvent être préparés par la méthode binaire. Il n'a pas présenté des propriétés de catalyseur, c'est-à-dire qu'il n'a pourvu les recherches sur un copolymère de suspension de styrolène-divinylbenzene (0,3; 1,0% BDV). On est parvenu à trouver les conditions pour l'obtention de la substitution du dégou de vinyl. Les études sur l'influence de la concentration du substituant primaire sur la réactivité du copolymère sont en cours.

### **Discussion**

**P. Teyssié (Lourain):** I would like to ask Dr. Štamberg if he was able to perform some separation of metals whose properties are not too different. Indeed, the stability constants of ammonium and sodium complexes are very low and the selectivity should be better proved by the separation of copper and nickel for instance.

We proved in Louvain that the stability constants of metal complexes with polydiketones are very similar to the stability constants of the same metal complexes with low molecular weight complexing agents. It should be interesting to make the same comparison here.

**J. Šemberg (Pardubice):** In the existing work, polymer derivatives containing a dioxime group forming a complex with nickel similar to that of the monomer were prepared. The preparation of a polymer containing only the dioxime group was not successful. The products always contain oxime groups. Therefore, the selectivities towards the series of metals have not been measured so far.

**T. I. Rabek (Wrocław):** Was sind die Unterschiede in der Selektivität von Phenol- und Styrol derivetan? Hat die OH-Gruppe des Phenolharzes einen Einfluss auf die Metallabsorption?

**J. Stemberg:** Diesen Einfluss konnte man sicher verzeichnen. Die Phenolharze sind aber—wie ich schon erwähnt habe—for Nickelabsorption nicht geeignet, da sie unter den für die Komplexbildung notwendigen Bedingungen unstabili sind.

STAT

- STA -

STAT

STAT

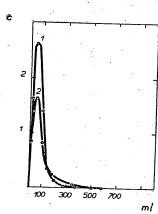


Abb. 1. Desorptions-Isopelanen für das Harz I und II. Desorptionsmittel: 15% HCl. Bei dem Sorptionszyklus sind 900 ml der Lösung von 180 mg NiSO<sub>4</sub>/und 5 g NaCl/L aufgelossen. Der Ionenaustauscher wurde bis auf 32% der maximal erreichbaren Kapazität gestellt. Die Schicht des Ionenaustauschers: ø 20 mm, Höhe 180 mm, Körnung: 0,3-1 mm. Durchflussgeschwindigkeit 2,4 ml/Min. (c) Ni-Konzentration im Filtrat in g/l; (1) das Harz II; (2) das Harz I.

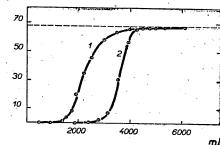


Abb. 2. Sorptionsisopelanen für die Harze I und II.—Zusammensetzung der sorbierten Lösungen: 180 mg NiSO<sub>4</sub>/l und 5 g NaCl/l. Ionenaustauscher im Na-Zyklus, Schicht 20 mm, Höhe 180 mm, Körnung: 0,3-1 mm. Durchflussgeschwindigkeit 2,4 ml/Min. (c) Ni-Konzentration (mg/l); (—) Ni-Konzentration in der zulässigen Lösung; (1) Ni-Konzentration im Filtrat aus dem Harze I; (2) Ni-Konzentration im Filtrat aus dem Harze II.

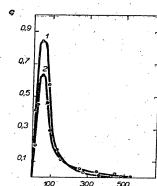


Abb. 3. Desorptionsisopelanen für die Harze I und II. Desorptionsmittel: 15% HCl. Der Ionenaustauscher bei dem Sorptionszyklus wurde mit NiSO<sub>4</sub>/und 5 g NaCl/L auf 32% der maximal erreichbaren Kapazität gestellt. Harzscheibe von ø 20 mm, Höhe 180 mm, Körnung: 0,3-1 mm. Durchflussgeschwindigkeit 2,4 ml/Min. (c) Ni-Konzentration im Filtrat in g/l; (1) das Harz II; (2) das Harz I.

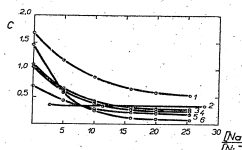


Abb. 4. Die Abhängigkeit der Austauschkapazität von dem Verhältnis der Gleichgewichts-Molaritätskonzentration Ni<sup>2+</sup> und Al<sup>3+</sup>. (c) Austauschkapazität gegenüber Nickel in mol/g des Ionenaustauschers; (1) Phenol-Karbonsäure-Kationenaustauscher ROA; (2) Klijatschko's selektiver Ionenaustauscher; (3) das Harz II; (4) das Harz I; (5) das Harz III; (6) Phenol-sulfon. Kationenaustauscher FNA.

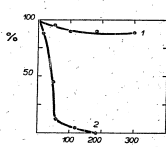


Abb. 5. Abhängigkeit des DMG-Gehaltes von der Zeit im Reaktionsgemisch DMG + CH<sub>2</sub>O: (1) Zimmertemperatur; (2) Sieden des Reaktionsgemisches.

## Donor-Acceptor Interactions in Cationic Polymerization. II. Influence of Some Bases on Polymerization of Isobutylene

L. AMBROŽ and Z. ZLÁMAL, *Macromolecular Research Institute, Brno, Czechoslovakia*

Some polar compounds, such as water, alcohol, and organic acids, cause an increase in the reaction rate of the cationic polymerization; also, they increase the molecular weight of the produced polymer. This group of compounds has been called the co-catalysts or promoters. On the other hand, inhibiting effects are observed with ammonia, amines, hydrogen sulfide, mercaptans, diethyl ether, and a number of other compounds.<sup>1,2</sup>

The present paper deals with influence of the addition of weak bases on the molecular weight of polyisobutylene formed by cationic polymerization in ethyl chloride at -78.5°C., with aluminum trichloride as catalyst. The aim of the paper is to present a single concept of the action of co-catalysts and inhibitors alike since both groups of compounds form complexes with acidic Lewiss acids.

Simultaneously with the polymerization experiments, measurements were made of the electric conductivity of the systems aluminum trichloride-ethyl chloride-base. In this way, physicochemical analysis is facilitated.

### EXPERIMENTAL

#### Isobutene

Isobutene was prepared by dehydration of *tert*-butanol on activated alumina. The gas was scrubbed with water, and with a 20% solution of NaOH. It was then dried with KOH and passed through a tower packed with activated charcoal. Finally, the product was rectified on a low-temperature rectifying column with 45 theoretical plates. The purity of the product was checked by infrared analysis; it contained approximately 1.0% 1-butene, < 0.12% *cis*-2-butene, < 0.15% *trans*-2-butene, and < 0.003% water.

#### Ethyl Chloride

A method for purifying the commercial product was worked out, based on results of previous work.<sup>4</sup>

The initial material was distilled through three chromatographic columns (30 mm, diameter, 1.5 m long) packed with silica gel impregnated with sulfuric acid. Further, vapors of C<sub>2</sub>H<sub>5</sub>Cl were dried by P<sub>2</sub>O<sub>5</sub> and condensed in a silicone-impregnated container.

Analyses, which will be dealt with in a further communication of this series,<sup>5</sup> indicated a content of polar oxygen compounds of 2-3 millimoles/l.

#### Aluminum Trichloride

Anhydrous aluminum trichloride was prepared by subliming the commercial product three times in an aluminum apparatus. The pure product was sorted in small sealed glass tubes. Nitrogen used to transport solutions and to prevent the entry of water vapor into reaction vessels was the normal commercial product, dried by KOH and P<sub>2</sub>O<sub>5</sub>. A very thorough dehumidification was obtained by passing the gas through ethyl chloride at -78.5°C., which freezes out water and saturates the gas with ethyl chloride vapor. The oxygen content does not influence the polymerization.

#### Other Compounds Added

Commercially available compounds of highest purity grade were used. They were carefully recrystallized or recrystallized until their physical constants were identical with those found for pure substances.

#### Polymerization

Polymerizations were made in 50 ml. test tubes impregnated with silicone to prevent adsorption of humidity. They were sealed by rubber caps with openings for nitrogen, solutions, and thermocouple. They were heated for three hours at 180°C. before use. Reactions in solutions with the ratio of AlCl<sub>3</sub> to base greater than 1.2 were very rapid, and the temperature could not be kept constant by means of an external cooling bath (a mixture of methyl chloride and solid CO<sub>2</sub>). The molecular weights so determined are thus somewhat erroneous, but they cannot seriously influence the conclusions based on this work.

Polymerizations were performed in series, each experiment representing one point in the relation investigated. A constant weight of AlCl<sub>3</sub> was used in the series, being introduced into the reaction vessel in a sealed glass tube. Variable amounts of base were measured off from a thermostatted buret containing the solution of the base, ethyl chloride. The concentration of the solution was chosen in such a way that 5-10 ml. of solution were equivalent to a 1:1 of molar ratio of base to aluminum chloride. In order to maintain the constant volume of 22 ml., the remaining volume of pure ethyl chloride was also added from thermostatted buret.

The solution prepared in this way and containing ethyl chloride, base, and aluminum chloride, was cooled down to -78.5°C. A measured, constant amount of the monomer, likewise cooled down to -78.5°C., was then added.

The solution for measurements of electric conductivity was prepared similarly. A detailed description together with the apparatus used is presented elsewhere.<sup>6</sup>

The isolation of polymer and determination of its molecular weight was described earlier.<sup>6</sup>

### RESULTS AND DISCUSSION

A typical relation of molecular weight to electric conductivity of the catalytic solution is shown in Figure 1 for *n*-butyraldehyde.

The lower part of the diagram shows the molecular weights of the polymer, which is formed by catalytic action of solutions having different ratios of *n*-butyraldehyde to aluminum chloride. This curve exhibits a sharp maximum which corresponds to the minimum of electric conductivity in the upper part of the diagram. Both extremes occur at the same concentration ratio approaching unity. In the same region of concentration (i.e., near unity), a sharp decrease in polymerization rate was observed. Similar results were obtained for a number of simple compounds of oxygen, nitrogen, and sulfur, which are summarized in Table I.

STAT

STAT

TABLE I

Compound	[B] [AlCl <sub>3</sub> ] at maximum molecular weight	[B] [AlCl <sub>3</sub> ] at minimum electric conductivity
Water*	1.0	—
Hydrogen Sulfide*	1.0	—
Ammonia*	1.0	—
n-Butanol	0.90	0.95
Isobutanol	0.90	0.84
n-Propylaldehyde	0.92	0.90
Acetone	0.98	0.85
Diethyl ether	0.88	0.88
Methyl benzoate	0.88	0.91
Acetone diethyl ester	0.91	0.89
Acetone	1.0	0.88
Lauryl mercaptan	0.88	0.81
2-Naphthyl mercaptan*	0.83	—
Tri-n-butyl amine	0.86	0.88
Acetonitrile	0.94	0.96

\* Compounds marked by an asterisk \* were not accurately measured under the present experimental conditions.

Figure 2 represents another type of relationship which is valid if alkyl halides, hydrogen chloride, nitro compounds, sulfur dioxide, hydrocarbons, etc., are added. It should be stressed that neither the molecular weight nor the electric conductivity curve shows any clear breaks, even if the base AlCl<sub>3</sub> ratio was many times greater than 1.

Compounds which give similar results are summarized in Table II.

TABLE II

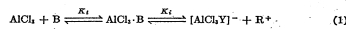
Compound	[B] [AlCl <sub>3</sub> ] at maximum molecular weight	[B] [AlCl <sub>3</sub> ] at minimum electric conductivity
Vinyl chloride	5000	1200
Chlorobenzene	7	10
Chlorobenzene	9	15
Nitrobenzene	9	15
Methane	100	100
Sulfur dioxide*	2	—
Benzene	100	—
Toluene	100	—
Mesitylene	100	—
Cyclohexane	100	—

\* No exact measurement of the added amount was possible.

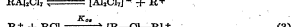
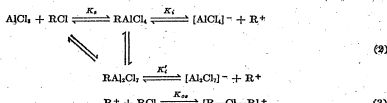
The data in Table I and Figure 1 give direct proof of the fact that each and every simple compound of oxygen, sulfur and nitrogen can be classified as co-catalyst, since they cause an increase in polymer molecular weight in the region of equimolar concentration ratio. At the same time, these compounds which are formed at higher base:AlCl<sub>3</sub> ratios cause a marked decrease in reaction rate and a sharp decline in the molecular weight of the resulting Polymer.

The deviations of the experimentally found values from the exact value of 1.00 may be explained by experimental errors, such as insufficient purity of solvent ethyl chloride, remnants of adsorbed atmospheric humidity on the walls of vessels, and also by the impossibility of preparing absolutely anhydrous AlCl<sub>3</sub>. Table II contains extremely varied types of compounds from the standpoint of electronic structures. It is evident that the possibility of interaction of aluminum trichloride itself with aliphatic or aromatic hydrocarbons is different from that with, e.g., alkyl halides or nitrobenzene. If we limit ourselves to compounds containing free electron pairs, we can assume a connection between both cases to exist.

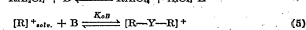
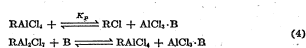
To explain this further, it will be necessary to broaden, somewhat, the present views on complex formation by AlCl<sub>3</sub>. Until now, the simple system was considered to be one in which only interactions between the acceptor, AlCl<sub>3</sub>, and donor, B (a weak Lewis base), takes place:



In reality, no such simple process occurs: If we consider a solution of aluminum trichloride in ethyl chloride, we can assume the following equilibria:



which is identical with [B]<sub>ext</sub>. It can be seen that the alkyl halogenide reacts in this case as other weak organic bases. The addition of a further weak base leads to new buffer equilibria, in which the base RCI is replaced in the complex:



In these equations the equilibrium constants are:  $K_1$  for formation of non-ionized complex,  $K_2$ ,  $K_3$  for ionization of complexes,  $K_4$  for solvation of aluminum trichloride,  $K_5$  for buffer equilibria of solvates with bases, and  $K_6$ ,  $K_7$  for the formation of -onium compounds derived from the solvent and base.

The schemes given above show that the difference in basicity of both donors interacting with aluminum trichloride is very important. The buffer equilibrium of equation (4) is shifted to the right only if the base B is by an order of magnitude stronger than RCI, as is the case with moderately acid compounds of groups V and VI of the periodic system.

Alkyl halides and hydrogen chloride, which can be formally taken as conjugated acids derived from a very weak base, Cl<sup>-</sup>, cannot fully replace ethyl chloride in the complex. Even if there were such a complex, it would be practically as acid as the original complexes which can be found in ethyl chloride solution, i.e., R<sub>2</sub>Cl and [B]<sub>ext</sub>. Thus there is no maximum in the molecular weight relationship. Nitro compounds, such as nitrobenzene, behave in an analogous way.

Using these ideas we tried to find compounds whose basicity would be less than that of alcohols and esters, but higher than that of alkyl halides. We studied the series of chloroacetic acids where acidity increases with increasing chloride content. Unfortunately, these compounds form more complicated complexes as is evident from the measurements of electric conductivity (Fig. 3).

The relationship of the molecular weight: concentration ratio also has a maximum, but there is a shift of this maximum towards increasingly higher values with increasing donor acidity. Results are summarized in Table III.

TABLE III

Compound	[B] [AlCl <sub>3</sub> ]	$K_K$	Ratios of [B]/[AlCl <sub>3</sub> ] at which molecular breaks occur in curves of Figure 3				
	at		a	b	c	d	e
Acetic acid(I)	$1.8 \times 10^{-4}$	1.10	1.06	1.52			
Monochloroacetic acid(II)	$1.6 \times 10^{-3}$	1.38	0.74	1.16	1.93	2.34	
Dichloroacetic acid(III)	$5 \times 10^{-3}$	1.8	1.10	1.58	2.40		
Trichloroacetic acid(IV)	$3 \times 10^{-2}$	2.2	0.97	1.11	1.77	2.34	3.36

Although, at the present time, we do not have the possibility of an exact quantitative evaluation of these data, nevertheless we think that they corroborate the validity of the following schematic scheme of eqns. (1-5). Special attention should be paid to the shift of the maximum molecular weight. Consideration should be made, in this connection, with the work of Usanovitch<sup>1</sup> dealing with chloroacetic acids and the weaker aromatic Lewis acids SiCl<sub>4</sub>, SiBr<sub>4</sub>, and AsCl<sub>3</sub>. Moreover, in the case of isobutene polymerization in the gaseous phase with BF<sub>3</sub> as catalyst and acetic acid as co-catalyst, the loss of catalytic activity of the complex was observed at values of the HAc/BF<sub>3</sub> ratio higher than 1.1-1.2.<sup>8</sup> This value is in very good agreement with the data we have found for the AlCl<sub>3</sub>-acetic acid system. Finally, it should be mentioned that in many papers we have found indications that there should exist a relationship between the acidity of the catalytic complex, expressed by the function  $H_m$ , and the reaction rate of cationic polymerization, but only Wichterle and co-workers<sup>9</sup> succeeded in experimental verification of this relation. If we judge our results from this point of view, it is clear that, with compounds of Table I, there occurs a sharp decrease in the acidity of the system in the region of equivalent base:AlCl<sub>3</sub> ratio = 1, which is similar to titration curves of acids by strong bases in aqueous medium. If more acid donors are used—as shown in the case of chloroacetic acid—the decrease in acidity may be rather slow on passing from the fundamental 1:1 complex to further ionium complexes. Thus, the catalytic activity is lost only at higher donor concentrations.

The series of compounds we investigated was chosen to find out if there is a marked difference in the behavior of inorganic or organic bases, of "prototropic" bases with  $\text{O}-\text{H}$ ,  $\text{N}-\text{H}$ ,  $\text{S}-\text{H}$  bonds, with "protic" bases with  $\text{O}-\text{R}$ ,  $\text{S}-\text{R}$ , and  $\text{N}-\text{R}$  bonds, or of compounds with oxygen, sulfur, and nitrogen atoms. It can be said that, in all cases studied, a maximum in the molecular weights occurred in the region of equivalence, with simultaneous decrease in reaction rate (except for the case of acid donors just discussed). Thus we conclude that in cationic polymerization there is no ground for classifying some compounds exclusively as co-catalysts or inhibitors (or retardants), but that both groups are closely interlinked by the phenomena described in this paper.

## References

- P. H. Plesch, *Nature*, **169**, 868 (1947).
- P. H. Plesch, M. Polanyi, and H. A. Skinner, *J. Chem. Soc.*, **1947**, 257.
- J. George, H. Wechsler, and H. Mark, *J. Am. Chem. Soc.*, **72**, 3891 (1950).
- Z. Zímal, L. Ambrož, and K. Veselý, *J. Polymer Sci.*, **24**, 285 (1957).
- Z. Zímal, L. Ambrož, and K. Veselý, *J. Polymer Sci.*, **25**, 109 (1958).
- Z. Zímal, J. Ambrož, and L. Ambrož, *Collection Czechoslov. Chem. Commun.*, **21**, 586 (1956).
- M. Usanovitch, T. Sumraková, and V. Gluščenko, *Zur. org. chém. S.S.R.*, **21**, 1981 (1951).
- A. G. Evans and G. W. Meadows, *J. Polymer Sci.*, **4**, 359 (1949).
- O. Wichterle, Z. Laita, and M. Pašler, *Chem. Listy*, **49**, 1612 (1955).

## Synopsis

Analysis of literature data permits the conclusion that a close link exists between co-catalytic effects and inhibition in cationic polymerization. All compounds described as effective co-catalysts of isobutene polymerization, e.g., water, alcohols, esters, and trifluoroacetic acid, exhibit inhibiting effects under certain conditions. All these compounds can be considered as weak bases able to form a catalytic complex on interaction with aluminum trichloride. It was found that the dependence of the molecular weight of polyisobutene on the ratio of the concentration of the organic base to that of the aluminum trichloride exhibits a clear maximum at the ratio 1:1. A number of simple organic acids, oxygen, sulfur, and nitrogen were investigated, i.e., alcohols, ethers, esters, aldehydes, ketones, mercaptans, hydrogen sulfide, ammonia, amines, and nitriles. The results obtained indicate that co-catalytic activity is not limited to compounds with "active" hydrogen. In the case of acetic and chloroacetic acids, anomalous behavior was found. This is explained by acid-base equilibria between these acids and aluminum trichloride in ethyl chloride solution.

STAT

STAT

STAT

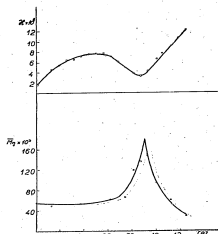


Fig. 1. Influence of *n*-butylaldehyde on electric conductivity of  $\text{AlCl}_3$ -solution and on molecular weight of poly-aldehydes. Polymerization was carried out with a constant amount (22.3 mM.) of isobutene at between  $-70.0$  and  $-80.2^\circ\text{C}$ . Aluminum trichloride concentration, 8.1 mM/L; *n*-butylaldehyde concentration, 0-10.1 mM/L. The *n*-butylaldehyde used was pure commercial product, redistilled before use; b.p.,  $75.2^\circ\text{C}$ ,  $n_{D}^{20}$ , 1.3842.

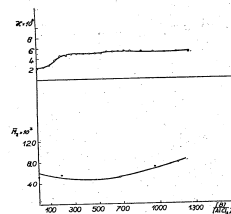


Fig. 2. Influence of vinyl chloride on electric conductivity and molecular weight of poly-aldehydes. Polymerization was carried out with a constant amount (22.3 mM.) of isobutene at temperatures between  $-70.0$  and  $70.6^\circ\text{C}$ . Aluminum chloride concentration, 7.3 mM/L. Pure vinyl chloride was used of monomer quality, i.e., more than 99.5% vinyl chloride concentration 0-8.25 mM/L.

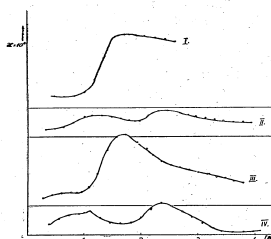


Fig. 3. Influence of aliphatic acids on electric conductivity of aluminum chloride dissolved in ethyl chloride. Curve I: acetic acid;  $\text{AlCl}_3$ , 0.40 mM/L; II: monochloroacetic acid;  $\text{AlCl}_3$ , 0.97 mM/L; III: dichloroacetic acid;  $\text{AlCl}_3$ , 10.30 mM/L; IV: trichloroacetic acid;  $\text{AlCl}_3$ , 9.83 mM/L.

## A Light Scattering Study of the Interaction of Sodium Desoxyribonucleate with Horse Serum Albumin

STAT

F. SOKOL, Institute for Virology, Czechoslovak Academy of Sciences, Bratislava, Czechoslovakia

Although noticeable progress has been achieved in the study of the properties and structure of some proteins and desoxyribonucleic acid, the question of the character and specificity of the linkages between the nucleic acids and proteins in native nucleoproteins remains essentially unsolved. One may attempt to solve this problem systematically by either of two methods which supplement each other: either by the study of these molecules under conditions which cause the native nucleoprotein to split into its components, or by resynthesis of the original nucleoprotein from its components. Both ways may be successful only if one is based on a knowledge of the biological, chemical, and physical properties of the nucleoprotein, its nucleic acid, and protein. Very little is known about the proteins and ribonucleic acids which make up native nucleoproteins. The properties of desoxyribonucleic acid, careful isolation of which yields a product of roughly reproducible properties, are known best from those of the components of nucleoproteins. Apparently, these facts have led several authors to use sodium desoxyribonucleate (SDN) and a protein with relatively well known properties, which may be prepared in a pure state in interaction experiments.<sup>1-4</sup>

In the experiments described here, the interaction of SDN from calf thymus and horse serum albumin (HSA) in acetate buffer solutions was studied by Zimm's light scattering extrapolation method<sup>5-8</sup> to show how the molecular weight, size, and shape of the soluble complexes formed from SDN and HSA is changed by varying the factors which influence the interaction.

### MATERIALS AND METHODS

**Horse Serum Albumin.** HSA purified by several recrystallizations from ammonium sulfate solutions has been used in all experiments. A single boundary was obtained upon electrophoresis of HSA in phosphate buffer solution at pH 7.70 (molarity of phosphate, 0.02; molarity of NaCl, 0.15). Ultracentrifugation diagrams showed that, in acetate buffer solutions at pH 5.25 and ionic strength 0.04, HSA sedimented with a single peak. The molecular weight of HSA, determined several times in different solvents by light scattering measurements, was  $6.9 \times 10^6$ .

**Sodium Desoxyribonucleate.** Two SDN samples were prepared from calf thymus according to the method of Gulland et al.<sup>9</sup> SDN II and SDN III in acetate buffer solution at pH 5.25 and ionic strength 0.04, yielded, upon ultracentrifugation, a single, sharp, asymmetric boundary. The values of the absorption coefficient<sup>10</sup>  $\epsilon(P)$  at 2600 Å for a solution of 1 cm. thickness of which were measured in acetate buffer solution at pH 5.70 and ionic strength 0.04, were 5800 for SDN II and 6250 for SDN III. The dry SDN II sample contained 13.25% N, as determined by the Kjeldahl method, and 45% P, as determined according to Fiske and Subbarow.<sup>11</sup> The corresponding values for SDN III were 12.81% N and 7.6% P. The protein content of the two SDN samples was 0.77%, as estimated by the biuret method.<sup>12</sup> The optical rotation for pentadecanoic acid<sup>13</sup> was negative.

**Determination of Concentration.** The concentrations of HSA and of SDN were determined by the Kjeldahl method. The concentration of the latter was checked by adsorption measurements and, in some experiments, by ultraviolet determinations. The differences in concentration of SDN given by these methods were within the range of experimental errors.

**Light Scattering Measurements.** The description of the light scattering apparatus, its calibration, and the correction factors used have been given previously.<sup>12,13</sup> In all experiments, the unpolarized radiation of the 546 m $\mu$  line of a mercury has been used. Careful dilution of the sample is the scattering standard. Solutions of HSA and SDN at highest concentration as well as the solvents were freed from dust and aggregates by centrifuging 1.5-2.5 hours at 50,000-75,000 rpm and transferred by a special pipet into the scattering cell containing a solution of HSA and the solvents were filtered, when necessary, several times through a sintered glass filter (G 5, Schott, Jena). The solution of the measured substance was diluted stepwise with fresh solvent in a volume ratio at 1:1. All measurements were carried out at  $19 \pm 1^\circ\text{C}$ . The solutions were stored at  $4^\circ\text{C}$ .

**Specific Refractive Increments.** The refractive index differences between solutions and solvents used in the interaction experiments were measured with a Zeiss Laboratoriumsinterferometer and checked with a dipping refractometer. The interferometric determinations were carried out with polychromatic white light which corresponds to a monochromatic light of 546 m $\mu$  wave length (communication of C. Zeiss Co., Jena). The values of the specific refractive increments were 0.186, 0.155, and 0.161 for SDN II, and SDN III, respectively. The observed values of the specific refractive increments for a mixture of HSA and SDN corresponded well to the equation:

$$(\Delta n/\Delta c)_AN = \frac{c_A(\Delta n/\Delta c)_A + c_N(\Delta n/\Delta c)_N}{c_A + c_N} \quad (1)$$

where index A denotes the HSA component, N the SDN component, and c their respective concentrations in g./ml. Deviations from this equation were observed only if the molecular weight of the complex formed was several times higher than the original molecular weight of SDN, i.e., if cross-linking occurred at complex formation. In cases for which equation 1 was valid, the specific refractive increment of the complex was calculated according to Geiduschek and Doty.<sup>14</sup>

**Measurement of pH.** The pH was measured with a Multiosc pH-meter equipped with saturated calomel and Beckman glass electrodes.

**Sedimentation.** For analytical work, a Phywe ultracentrifuge, and for other purposes, a LKB air-driven supercentrifuge have been used.

**Absorption Measurements.** Absorption in the ultraviolet region was measured with a Unicam spectrophotometer.

### EXPERIMENTAL

#### Molecular Weight, Size, and Shape of SDN Molecules

The scattering envelopes of SDN solutions at  $35-135^\circ$  were measured, and the data obtained were plotted according to Zimm. The plots for SDN were always convergent. They were interpreted according to Zimm<sup>6</sup> and Peterlin,<sup>14</sup> The results are shown in Table I. As can be seen, the molecular weight, size, and shape of SDN molecules do not change with the ionic strength and pH of the buffer in the range given in Table I. As experiment 7 was carried out 6 months after the preparation of the sample, the appreciable decrease of the molecular radius can be explained, in this case, by its alteration during storage. In all other experiments freshly prepared SDN was used. SDN was stable in all solvents used, no change in molecular weight or size having been noted until after several days.

STAT

To obtain information about the polydispersity of our samples, about 40% of the solute from a 0.1% solution were sedimented by centrifugation at 182,000 g, and the molecular weight of SDN remaining in the supernatant fluid was measured. The differences between these and the original values were within the range of experimental error. We would suppose, therefore, that the polydispersity of our samples was not high enough to cause the observed downward curvature of the  $P(\theta)^{-1} = f[\sin^2(\theta/2)]$  curve at high angles (when  $P(\theta)^{-1}$  is the particle scattering factor<sup>14</sup> and  $\theta$  is the angle between incident and scattered beams). This means that the mentioned curvature is due mainly to the rigidity of SDN molecules. The thickness was calculated from the contour length and the molecular weight on the basis of a cylindrical model and with 0.60 being taken for the specific volume of SDN.

#### Interaction of SDN with HSA

Solutions of SDN and HSA of the same degree of dilution (with respect to the most concentrated solutions of the components) were mixed in the desired proportions and stored overnight at 4°C. The scattering envelopes were measured the following day at 35–135°. The technique of preparing solutions containing HSA and SDN in the same amounts but in descending concentrations served as proof of the reproducibility of the formation of the complex. Although it has been shown by preliminary experiments that the properties of the complex formed are independent of the order of mixing of the components, HSA was always added to SDN. In some experiments (Table II, experiments 6a and 6b), the pH of the mixture was lowered by adding a required amount of 0.25 M acetic acid adjusted by 0.1 M NaOH to the ionic strength of the original solvent. Solutions in which precipitation occurred were discarded. All the mixtures of HSA and SDN were stable for several days except when the pH of the solution or the ratio of SDN to HSA (Table II, experiments 6c and 4, respectively) was too low. The data obtained were plotted according to Zimm and the weight-average molecular weight of macromolecules present in solution was determined.

After measurements of light scattering, the solutions were ultracentrifuged 90 minutes at 75,000 g. If no sediment was obtained, this fact, together with the value obtained for the average molecular weight, were considered to be proof that no crosslinking occurred during complex formation. In these cases, Zimm's plots of the complex itself have been constructed (Fig. 1) and the average number of HSA molecules bound by one molecule of SDN was calculated by the procedure given by Geiduschek and Doty.<sup>4</sup> The plots of the complex were always parallel. The results are shown in Table II.

If crosslinking occurred, the HSA and SDN contents of the obtained sediment and supernatant were determined by a combination of absorption measurements and nitrogen determination. In these cases, a weight ratio of SDN to HSA of about 1:1 higher was good evidence that the concentration of nonbound HSA in the original solution was negligible. This is based on the following facts: the main part of the solute (about 70–80%) sediments from the solution at conditions given above. The ratio of SDN to HSA in the sediment is the same as in the supernatant and in the original solution, no free SDN being detectable in the solution under the conditions of complex formation.<sup>4,5</sup> The UV absorption spectrum of the supernatant deviates from the principle of additivity of optical densities in the same manner as does the complex (see below). Thus, in these cases, the Zimm plots of mixtures of HSA and SDN are, in fact, plots of the complex (Fig. 2).

A determination of the parameter  $X$ , the end-to-end separation, the contour length, and the thickness of complex particles formed from one SDN and several HSA molecules was also attempted. Unfortunately, this was not possible because the experimental  $P(\theta)^{-1} = f(v)$  curve<sup>14</sup> [ $v = 3(\tan \gamma_0)/\sin^2(\theta/2)$ , where  $\tan \gamma_0$  is the limiting slope of the  $P(\theta)^{-1} = f[\sin^2(\theta/2)]$  curve] does not fit any theoretical curve, its lower portion being characteristic of a lower value of  $X$  than the upper, and thus only an average value of  $X$  can be determined. Thus, the root mean square radius of the molecule<sup>16</sup> is the only unambiguous quantity which can be derived from Zimm plots and which characterizes, to some extent, the size and shape of the complex particles.

It is evident from the data given in Table II that the interaction is strongly influenced by the pH and ionic strength of the solvent and by the ratio of the components. The total concentration of the components plays also a very important role even if their concentration ratio remains constant. At too high concentrations, precipitation of the complex may occur; at too low concentrations, there may be complex dissociation.<sup>3</sup> Thus, the molecular weight, size, and shape of the complex are constant only within that concentration range in which the light scattering data can be extrapolated. This range becomes steadily narrower as the pH, ionic strength, and the ratio of SDN to HSA decrease. All experiments have been carried out at concentrations of about  $7 \times 10^{-4}$ – $7 \times 10^{-3}$  g SDN/ml.

Ultraviolet absorption measurements of the mixtures of SDN and HSA and of the separate components in the same solvent have shown that the densities of the mixtures in each experiment are in agreement with the additivity principle at wave lengths in the 2350–3100 Å. range. The densities were somewhat higher for the mixture than for the total of the densities of SDN and HSA at below 2350 Å.

#### DISCUSSION

The properties of the SDN samples indicated that they are not denatured or degraded and that they contain a negligible amount of impurities. Upon ultracentrifugation of SDN solutions at 75,000 g, a very small amount of non-transparent sediment which contained a large proportion of protein was always obtained; therefore, the actual protein content of SDN after clarification of its solutions for light scattering measurements was much smaller than 0.7%. There is an appreciable difference between the obtained values of specific refractive increments of SDN and those given in literature.<sup>17,18</sup> This cannot be attributed to an inaccuracy in the measurement of the refractive index difference between solution and solvent: the obtained specific specific refractive increments of HSA and tobacco mosaic virus<sup>19</sup> are in good agreement with the generally accepted values. Therefore, the accuracy of the determination of the concentration, particularly with respect to the complete removal of the water from the samples, was checked. After being dried at 105°C. for several hours to a constant weight and dried at room temperature over P<sub>2</sub>O<sub>5</sub> for one month the samples have the same water content. SDN dried over P<sub>2</sub>O<sub>5</sub> did not show a further loss of weight upon drying at 105°C. Thus, we are sure that the values of the specific refractive increment are correct, at least for our samples, and have a maximum error of ± 5%. This is also confirmed by the values obtained for the root mean square molecular radius as they agree well with the observed molecular weights of SDN and are independent of the value of the specific refractive increment.

The results of the combined sedimentation and light scattering experiment, carried out to obtain some information about the polydispersity of SDN samples used, could also be so explained by the fact that the sedimentation rate of SDN molecules is nearly independent of the concentration involved, of the molecular weight in certain ranges of its value. Nevertheless,

it is very improbable that the molecular weight of SDN remaining in the supernatant would be the same as that of sedimented SDN if the molecular weight distribution is that given in literature.<sup>17</sup> We suppose, therefore, that the distribution of molecular weights of SDN molecules in our preparations is nearly uniform. This is also supported by the calculated values for the thickness, which are in good agreement with data obtained by X-ray diffraction<sup>20</sup> and electron microscopy<sup>17,19</sup> studies. The thickness is calculated from the contour length of the monodisperse sample and from the experimentally determined molecular weight; if the distribution of the molecular weight were too broad we could hardly expect such an agreement. We must also answer the question as to whether the molecular weight of SDN, when determined by extrapolation method of Zimm, is a weight-average or twice the number-average, as suggested by Benoit.<sup>21</sup> The observation, made by several authors,<sup>24,25</sup> that the molecular weight of SDN does not change by essentially decreasing its root mean square molecular radius is a strong evidence against the suggestion of Benoit. A further evidence against it can be derived from the following consideration. Let us suppose that the SDN molecule with a weight-average molecular weight distribution as, e.g., in our case. If the determined molecular weight were twice the number-average molecular weight, we would obtain, calculating as described above, a value for the thickness of the molecules which is much greater than that generally accepted. Therefore, we consider the experimental value for SDN to be a weight-average molecular weight.

It is to be seen from the data given in Tables I and II that the binding of HSA causes an appreciable increase in the root mean square molecular radius, provided that the interaction does not induce crosslinking and that the ratio of SDN to HSA is not too low (experiments 2, 3, and 7, less marked in exp. 6b). This was observed also by Geiduschek and Doty,<sup>4</sup> but they so interpreted the results that the size and shape of SDN molecules remained unchanged. However, a simple calculation shows that this is not the case, and that this increase cannot be explained by the contribution of the bound HSA to the molecular radius alone, unless a change in the shape and effective size of SDN molecules is postulated. The right interpretation is that there is stretching of the SDN molecules forming the complex which is probably caused by the excluded volume effect: the segments of SDN molecules in the neighborhood of bound HSA molecules cannot retain their original configurations, and therefore, the coiled SDN molecules become more extended.

If crosslinking occurred or the ratio of SDN to HSA was too low, the molecular radius either remained unchanged (experiments 3 and 4) or increased. The increase, however, taken plainly when the molecular weight of the complex is extremely high (experiment 6c), which indicates that crosslinking may cause shrinking of the SDN molecules forming the complex. It is interesting to note that the presence of HSA in the solution may induce slight shrinking of SDN molecules at low ionic strengths (exp. 5), although no formation of complex is observed.

The values of the second virial coefficient for the complex differ from those for the original SDN. The second virial coefficient can be written, in general, as a sum of two terms,

$$B = B' + (B''/T) \quad (2)$$

the first of which is related to the excluded volume and the second to the interaction energy. ( $T$  is the absolute temperature).  $B'$  is always positive;  $B''$  may be positive or negative. If stretching of the SDN molecules occurs by binding of HSA,  $B$  for the complex is always higher than for SDN and is positive in sign. This is attributable to an increase in the excluded volume of the molecules. Crosslinks are formed, or if the ratio of SDN to HSA is low, the values of  $B$  for the complex are much lower than those for SDN, and  $B''$  may be negative. In these cases, the interaction energy becomes negative, which means that forces of attraction are acting between the particles in solution.

It has been mentioned that it was not possible to determine an unambiguous value of the parameter  $X$  for the complex formed from one SDN and several HSA molecules. This is probably the result of an appreciable polydispersity of the complex particles and perhaps partially also an alteration of the shape as compared with original SDN molecules. The average value of  $X$  for the complex was, in all experiments, about twice as high as that for SDN. The calculated contour lengths of the complex particles are increased by approximately the same amount as  $X$ , while the thickness is unchanged or only slightly higher. If these calculations were correct, we would have an elongation of the SDN molecules forming the complex without their being completely stretched, which is untenable.

Let us now follow the influence of pH on interactions at an ionic strength of 0.04 and at a component weight ratio of approximately 1:1. No binding of HSA by SDN was observed at above pH 6.0, which is in agreement with the observations of several authors.<sup>2,3</sup> At a pH less than 6.0, the number of HSA molecules bound by individual SDN molecules increases with decreasing pH. This can be explained by stretching of the coiled SDN molecules as in increase in the excluded volume. At pH 5.5, crosslinking<sup>26</sup>: the SDN molecules forming the complex shrink, the concentration of non-bound HSA becomes negligible, and the second virial coefficient becomes negative, i.e., forces of attraction act between the particles in solution. The molecular weight of the complex increases until precipitation occurs at pH 5.1.

If we follow the influence of ionic strength at pH 5.3 and a weight ratio of components of about 1:1, we obtain qualitatively the same picture. No binding of HSA by SDN can be observed at ionic strength 0.20,<sup>2,3</sup> crosslinking begins at ionic strength 0.06, and precipitation occurs at 0.02 ionic strength. A decrease in the ratio of SDN to HSA has an effect on the interaction similar to that of decreasing pH or ionic strength.

The strong influence of pH and of ionic strength on the binding of HSA by SDN and the ease with which the complex dissociates at increased pH or ionic strength demonstrate that the interaction is electrostatic in character, even if the net charge of HSA at the conditions given above are negative. With decreasing pH, the number of positively charged groups on the surface of the HSA molecule increases. An increase in ionic strength acts in two different ways: on one hand, the increasing concentration of Na<sup>+</sup> ions in the solution prevents the formation of the complex, while, on the other hand, the adsorption of Cl<sup>-</sup> ions<sup>27</sup> and perhaps of CH<sub>3</sub>COO<sup>-</sup> ions by HSA increases the negative charge of the protein. This raises the question of which group of HSA and SDN are involved in the formation of salt-like linkage. Unpublished observations indicate that purine and pyrimidine bases of SDN do not participate in the binding of HSA: neither a shift nor a change in the intensity of their absorption bands has been observed. We presume, therefore, that HSA is attached to SDN by electrostatic forces between positively charged groups of protein and negatively charged phosphate groups of nucleate alone. This supposition is supported by the following data from the literature. The purine and pyrimidine bases are in the inside of SDN molecules which are not accessible for interaction with macromolecules; the phosphate groups, however, are on the outside surfaces of SDN, and there is no steric hindrance to the close ap-

STAT

STAT

STAT

69527 JOURNAL OF POLYMER SCIENCE Tables QA-SA 8 on 10 46P-65Ems Gal. 5 Sokol 5-13-58 Simons-3

COPY 78

proach of HSA molecules.<sup>20</sup> The formation of complexes of protein and SDN is strongly inhibited by the phosphate groups of the latter are blocked by re-dominium substances<sup>21</sup> and by basic dyes.<sup>22</sup> Polynucleotide-amino acid complexes, the formation of which involves —NH<sub>2</sub> groups of amino acids and phosphate groups of nucleotides, have been found in the alkaline digest of sibomellic acid from yeast.<sup>23</sup> X-ray diffraction studies suggest that the protein in nucleoprotein of fish sperm is attached to the desoxyribonucleic acid by electrostatic forces between the positive arginine groups and negative phosphate groups.<sup>24</sup>

A preliminary light scattering study of the interaction of sodium ribonucleate from yeast ( $M_w = 2.08 \times 10^6$ ) with HSA has shown that soluble complexes from these two substances form under the same conditions as with SDN and HSA. Thus, the ability to form soluble complexes with HSA is not connected with the specific chemical and physical properties of SDN.

In concluding, we must say that model interaction experiments of this kind yield information only about salt-like linkages between proteins and nucleic acids. As it is well known, native nucleoproteins, e.g., plant viruses, do not change in their biological, chemical, and physical properties over a considerable range of pH and ionic strength, nor do they dissociate upon dilution as does the complex described in this paper. In native nucleoproteins, therefore, the specific steric factors and, perhaps, the presence of covalent and hydrogen bonds between protein and nucleic acid, must be taken into account.

The author wishes to acknowledge helpful discussion with Professor A. Peterlin. F. Fekete assisted in making of some of the measurements.

### Synopsis

The properties of soluble complexes formed in acetate buffer solutions from sodium desoxyribonucleate and horse serum albumin have been studied by a light scattering method. It has been shown that the molecular weight, size, and shape of the complexes formed are influenced by pH, ionic strength, and the proportions and total concentration of the components. At ionic strength 0.04 and about a 1:1 weight ratio of the components, no binding of albumin by nucleate has been observed at pH higher than 6.0 with continuously decreasing pH, an increase in the size of the molecule to 100% individual protein, i.e., this causes stretching of the nucleate molecules and an increase in the excluded volume. At pH 5.5 crosslinking begins. This causes the nucleate molecules to shrink. The concentration of non-bound albumin becomes negligible, and forces of attraction act between the complex particles in solution. With further lowering of the pH, the molecular weight of the complex increases until, at pH 5.1, precipitation of the complex begins. At pH 4.5, the complex precipitates completely. Below the influence of ionic strength at pH 5.3 and the weight ratio of the components. The formation of the complex begins at an ionic strength below 0.20, and crosslinking and complex precipitation occur at ionic strengths of 0.06 and 0.02, respectively. The lowering of the nucleate to albumin ratio has an effect similar to that of increasing of pH or ionic strength. The effect of weight ratio of the components is shown only in a limited concentration range. At too high concentrations, complex precipitation occurs, and at too low concentrations, there is dissociation of the complex. Ultraviolet absorption measurements indicate that purine and pyrimidine bases of nucleate do not participate in the binding of albumin. It is assumed that albumin is attached to the nucleate by electrostatic forces between positively charged groups of protein and negatively charged phosphate groups of nucleate only.

### References

- J. P. Greenstein and M. L. Hoyer, *J. Biol. Chem.*, **182**, 457 (1950).
- E. Goldwasser and F. W. Putnam, *J. Phys. & Colloid Chem.*, **54**, 79 (1950).
- E. P. Geiduschek and P. Doty, *Biochim. et Biophys. Acta*, **9**, 609 (1952).
- G. Zubay and P. Doty, *Biochim. et Biophys. Acta*, **23**, 213 (1957).
- B. H. Zimm, *J. Chem. Phys.*, **16**, 1293 (1948).
- B. H. Zimm, *J. Chem. Phys.*, **16**, 1300 (1948).
- J. M. Gulland, D. O. Jordan, and C. J. Threlfall, *J. Chem. Soc.*, **1947**, 1129.
- G. H. Beaven, E. R. Holiday, and E. A. Johnson, *The Nucleic Acids, Chemistry and Biology*, Vol. I, edited by E. Chargaff and J. N. Davidson, Academic Press, N. Y., 1958, p. 517.
- G. H. Fluke and V. Sabadarov, *J. Biol. Chem.*, **66**, 375 (1925).
- M. Holden and N. W. Pirie, *Biochem. J.*, **60**, 46 (1955).
- W. Mejbaur, *Z. physiol. Chem., Hoppe-Seyler's* **258**, 117 (1939).
- F. Sokol, *Chem. Ber.*, **79**, 322 (1956).
- R. A. Alberty and H. Marvin, Jr., *J. Am. Chem. Soc.*, **75**, 5239 (1953).
- A. Peterlin, *J. Polymer Sci.*, **10**, 425 (1953).
- P. Doty and T. Edsall, *Advances in Protein Chem.*, **6**, 35 (1951).
- B. H. Zimm and W. H. Stockmayer, *J. Chem. Phys.*, **17**, 1301 (1949).
- M. E. Reichmann, S. A. Rice, C. A. Thomas, and P. Doty, *J. Am. Chem. Soc.*, **76**, 3047 (1954).
- T. G. Northrop, R. L. Nutter, and R. L. Sinaheimer, *J. Am. Chem. Soc.*, **75**, 5134 (1953).
- F. Sokol, *Chem. Ber.*, **111**, 126 (1978).
- D. Watson and P. Doty, *Nature*, **171**, 964 (1953).
- R. A. Watson and P. Doty, *Biochim. et Biophys. Acta*, **9**, 227 (1952).
- H. Kahler and E. J. Lloyd, Jr., *Biochim. et Biophys. Acta*, **10**, 355 (1953).
- H. Benoit, *J. Polymer Sci.*, **11**, 507 (1953).
- M. E. Reichmann, B. H. Buncs, and P. Doty, *J. Polymer Sci.*, **10**, 109 (1953).
- L. F. Cavalieri, M. Rosoff, and B. H. Rosenberg, *J. Am. Chem. Soc.*, **78**, 5239 (1956).
- R. A. Alberty and H. H. Marvin, Jr., *J. Am. Chem. Soc.*, **73**, 3220 (1951).
- P. Alexander, *Nature*, **169**, 226 (1952).
- L. F. Cavalieri, A. Angelini, and M. E. Balsi, *J. Am. Chem. Soc.*, **73**, 4902 (1951).
- J. L. Potter and R. D. Donnan, *J. Am. Chem. Soc.*, **75**, 3075 (1953).
- M. E. Reichmann, R. L. Spridge, W. E. Seeds, A. R. Stokes, H. R. Wilson, C. W. Hooper, M. H. F. Wilkins, R. C. Barclay, and L. D. Hamilton, *Nature*, **175**, 834 (1955).

69527 Poly. Sci. KB 78 Gal. 6 Sokol

Prod. No. P11

STAT

TABLE II  
Interaction of Sodium Desoxyribonucleate with Horse Serum Albumin  
Data from Light Scattering Measurements

No. of exp.	Substance	Buffer	pH	Ionic strength	$\frac{P_{\text{c}}}{P_{\text{a}}}$	$\frac{b_1}{(b_0)^2}$	$M_w \times 10^{-6}$	$B \times 10^4$	$m_w$	Note
1	Complex	Acetate	5.35	0.04	1.27	—	43.5	—	2.81	245 crosslinking
2	SDN II-HSA	CH <sub>3</sub> COO <sup>-</sup> , 0.04 M	5.40	0.06	1.20	0.835	11.8	161	421	
	SDN II-HSA	NaCl, 0.02 M			(0.0145)	(74)				
3	Complex	CH <sub>3</sub> COO <sup>-</sup> , 0.04 M	5.28	0.10	2.17	0.204	8.00	246	335	
	SDN II-HSA	NaCl, 0.06 M			(0.0033)	(19)				
4	Complex	Acetate	5.37	0.10	0.305	0.967	12.5	4.94	251	16 hr. after STAT <sup>a</sup>
	SDN II-HSA	CH <sub>3</sub> COO <sup>-</sup> , 0.04 M			(0.00374)	(79)				
	SDN II-HSA	NaCl, 0.06 M								
4	Complex	Acetate	5.37	0.10	0.305	2.22 <sup>b</sup>	16.7 <sup>c</sup>	-10.9	244	98 hr. after mixing <sup>d</sup> in crosslinking <sup>e</sup>
	SDN II-HSA	CH <sub>3</sub> COO <sup>-</sup> , 0.04 M			(0.00374)	(181)				
	SDN II-HSA	NaCl, 0.06 M								
5	SDN III,	Acetate	6.15	0.02	1.35	0	6.90	33.5	199	
	HSA present				(0.0131)					
6a	SDN III,	Acetate	6.15	0.04	1.10	0	6.66	154	259	
	HSA present				(0.0131)					
6b	Complex	Acetate	5.62	0.04	1.10	0.480	9.09	94.4	258	
	SDN III-HSA				(0.0131)					
6c	Complex	Acetate	5.17	0.04	1.10	—	80.0	-5.87	289	16 hr. after adjustment of pH <sup>f</sup> ; crosslinking
	SDN III-HSA				(0.0131)					
7	Complex	Acetate	5.57	0.08	0.863	0.244	8.33	101	265	
	SDN III-HSA				(0.0096)	(22)				

<sup>a</sup> Weight ratio of SDN to HSA.<sup>b</sup> Molar ratio of SDN to HSA.<sup>c</sup> Weight scattering coefficient, i.e., grams of HSA bound by one gram of SDN.<sup>d</sup> Molar binding coefficient, i.e., moles HSA bound by one mole SDN.<sup>e</sup> Presuming that no crosslinking occurred.

STAT

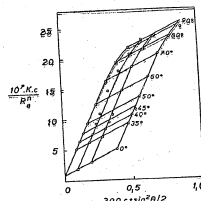


Fig. 1. Zimm plot for the sodium desoxyribonucleate-horse serum albumin complex formed in acetate buffer solution at pH 5.40, 0.06 ionic strength, and a nucleotide:albumin weight ratio of 1.30:1.

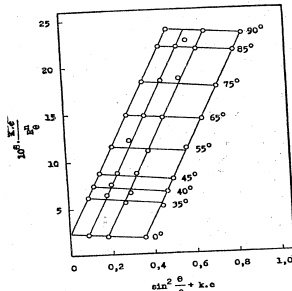


Fig. 2. Zimm plot for the sodium desoxyribonucleate-horse serum albumin complex formed in acetate buffer solution at pH 5.35, 0.04 ionic strength, and a nucleotide:albumin weight ratio of 1.27:1;  $k = 400$ .

ave: off?

#### Alkaline Polymerization of Caprolactam. IV. Equilibrium and Degradation with Alkaline Polymers of Caprolactam

JAR. KRÁLÍČEK and J. ŠEBENDA, Institute of Chemical Technology,  
Prague, Czechoslovakia

Polymers prepared by the alkaline polymerization of caprolactam have the undesirable property that their degree of polymerization is not stable and that even with very long heating it steadily falls.<sup>1,2</sup> This was attributed to the fact that the equilibrium of the statistical distribution into a statistical one and further to the continuously occurring degradation reactions caused by the strong basicity of the reaction medium. The opinion has thus been expressed<sup>3</sup> that no relation exists between the concentration of the catalyst used and the degree of polymerization attained.

These results were in disagreement with our findings. For this reason we carried out very carefully, a series of polymerizations of caprolactam using various alkaline catalysts. We were very careful to maintain not only complete cleanliness of equipment and purity of substances used but also completely to remove water from the reaction system. From earlier works it was known that alkaline polymerization is very sensitive to the presence of moisture.

We present here the results obtained through long heating of alkaline polymers of caprolactam. The catalyst used was its sodium salt prepared by the action of sodium. This method of preparation seemed to us to be suitable for a beginning even though we were aware of certain of its faults. The chief reason for using it was the fact that the other catalysts which we used such as alkali carbonates and alkali salts of easily decarboxylated organic acids, introduce further compounds into the reaction system which arise by their decomposition. Further, the speed of breakdown of these catalysts under the given conditions is for the most part smaller than the polymerization velocity. The latter property could distort the course of attaining the equilibrium degree of polymerization and the corresponding distribution. The results presented here thus concern only polymers prepared by the action of sodium.

#### Experimental

The 6-caprolactam, the technical product, was recrystallized three times from acetone and twice from benzene (freed from thiophene) and dried in a current of dry air 4–6 days at 1 mm. Hg.

The sodium for the preparation of the sodium salt of 6-caprolactam was melted in an inert atmosphere and then sucked at a temperature of 220–230°C. into thin-walled weighed tubes. These were then fused off and the resulting ampules thus contained a precisely known amount of metallic sodium with a very clean shining surface. The weight of the sodium ranged from 2–30 mg.

*Equipment and polymerization procedure.* To ensure complete removal of moisture from the reaction medium, the previously described equipment<sup>4</sup> was modified to the unit shown in Figure 1.

A suitable amount of 6-caprolactam was added through the wide tube 4 so that after adding a certain amount of sodium a solution of the sodium salt of 6-caprolactam of the desired composition was formed. After closing the arm 3 and 4, a constant current of dry nitrogen was introduced through the narrow tube 5 and the apparatus was evacuated for 70 to 100 sec. at 1 to 3 mm. Hg. Then the capillary 5 was sealed off at the constriction and by alternate evacuation and filling with dry nitrogen (oxygen content less than 0.01%) the equipment and inlets were filled with nitrogen to a gage pressure of about 0.2 atm. The ampule with sodium in the tube 4 was crushed by special means in an intense stream of nitrogen so that the possibility of moisture or oxygen leaking in was excluded. Then the 6-caprolactam in the reaction vessel was fused by the paraffin bath heated to 100–105°C. and by tipping the apparatus the sodium was transferred from tube 4 to the caprolactam; after melting (about 10 seconds) the sodium dissolved in 2–4 seconds. After fusing off tube 4 and sealing off tube 2, the equipment was placed in a thermostatic bath at 246.3°C. and the apparatus strongly agitated. After four minutes the reaction mixture became viscous and the agitated seat was turned. After ten minutes the tube 3 was sealed off and the remaining ampule was then completely submerged under the liquid level in the thermostat for the duration of the experiment.

*Extraction of low molecular weight fractions.* For viscosity, turbidimetric, and conductometric determinations the reaction product was freed of low molecular weight products and salts by extraction with ethyl alcohol. Shavings of the polymer of thickness 0.2 mm. were boiled out four times with 96% ethyl alcohol, dried 48 hours at 50°C. and 15 mm. Hg, and then dried to constant weight over  $P_2O_5$ .

*Measurement of intrinsic viscosity and determination of the degree of polymerization.* The viscosity measurements were carried out in a Ubbelohde viscometer with the capillary II at a temperature  $20 \pm 0.005^\circ\text{C}$ . *m*-Cresol was used as solvent and was vacuum distilled first with zinc dust and sulfuric acid and then with barium hydroxide. The solvent was dried for low molecular weight fractions, was dissolved in the *m*-cresol by shaking 2–3 days in a hot bath. The glass part of the viscometer was modified so that during filtration and during the actual measurement the solution was in contact with the atmosphere only through a drying tube containing potassium hydroxide since it is known<sup>5</sup> that moisture markedly influences the viscosity of cresol.

The viscosity of the solutions was measured at concentrations of 0.12–0.4 g./100 ml., and the intrinsic viscosity of the sample was determined by graphical extrapolation of the reduced viscosity to zero concentration. From a series of determinations of the intrinsic viscosity, the dependence of  $K$  on  $[\eta]$  was determined by extrapolation (Fig. 2), which permitted further determinations of intrinsic viscosities to be made from a single measurement. We found that the rise of  $K$  occurs in *m*-cresol at higher values of  $[\eta]$  than Rybníkář<sup>6</sup> cited in his process.

*Determination of the end groups.* In the determination of the end groups, we used the conductometric titration worked out for polyamides by Loepelmann;<sup>7</sup> the method was modified by using 0.05 N propyl alcohol solution of hydrogen chloride and sodium propyl alcoholate. The concentration of polyamide was about 2 g./100 ml.

Figure 4 shows the change with time of the concentration of basic groups in the polyamide obtained by polymerization with 0.01 mole Na/mole at 246.3°C.

*Shape of the distribution curves.* The distribution curves of the polymers were constructed on the basis of the available measurements according to the method worked out by Gorjilenko *et al.*<sup>8</sup> Measurements were carried out in a one-cell turbidimeter with a rotating diaphragm. Figure 5 shows the distribution curves of some polymers prepared at 246.3°C. with 0.0033 mole Na/mole.

STAT

STAT

STAT

### Discussion of Results

From the results obtained it is clear that after a very sharp fall during the first hour of heating, the viscosity of the polymer approaches a certain limiting value which does not further change even after several hundred hours. This final viscosity depends on the concentration of catalyst which is in disagreement with the work of Griehl<sup>1</sup> (Fig. 6).

The rate of attaining this final viscosity is greater the higher the concentration of catalyst. This is due partly to the higher viscosity of the medium and partly to the higher concentration of anions. Changes in the shape of the distribution curves are largest in the first phase of the reaction; over time the distribution changes somewhat even after attaining the final viscosity without appreciably influencing its value. The concentration of basic groups in the extracted polymer reaches a constant value much sooner than does the viscosity (after about 4 hours). The further relatively slow equilibrating of the final viscosity must be explained not by degradation reactions but by a change of the distribution of molecular weights since the number of particles remains constant. Certain results of the determination of the distribution curves indicate that during long heating a branching of the macromolecules also occurs to a small extent (unpublished results). These results do not show up viscometrically.

In the first phases of the polymerization, when the reaction mixture contains only a small amount of basic groups, we do not exclude the presence of macrocyclics of high molecular weight.

We are now working on a series of model experiments to determine an explanation of the findings.

The authors would like to express their gratitude to Professor O. Wichterle for his valuable advice in this work.

### References

- (1) Hanford, W. R., and Jones, H. J., *J. Polymer Sci.*, **3**, 167 (1948).
- (2) Rybníkář, F., *Základy výroby a technologie polymerů*, p. 7, 207 (1950).
- (3) Nishizuka, D., and Šebenda, J., *Chem. Listy*, **49**, 1293, 1298 (1955).
- (4) Wichterle, O., Kralíček, J., and Šebenda, J., *Chem. Listy*, in press.
- (5) Bates, H., and Möschel, A., *Makromol. Chem.*, **23**, 197 (1957).
- (6) Rybníkář, F., *J. Polymer Sci.*
- (7) Rybníkář, F., *Faserforsch. u. Textiltechn.*, **2**, 581 (1952).
- (8) Gortijnko, A., Griehl, W., and Sicker, H., *Faserforsch. u. Textiltechn.*, **8**, 105 (1953).

### Synopsis

The change in the intrinsic viscosity brought about by heating samples of alkali-polymerized caprolactam to 220–230°C, for extended periods has been investigated. The polymer samples were obtained by the catalytic action of the sodium salt of caprolactam. The experimental results show that the intrinsic viscosity of the polymer increases over the course of about 10 hours but remains constant thereafter. The intrinsic viscosity depends on the concentration of the catalyst and on the temperature. The viscosity drop at the beginning of the period of heating is due to the change of the originally very unstable broad molecular weight distribution to the equilibrium distribution. Only basic groups, but no carboxyl groups, are detected. The equilibrium distribution of basic groups remains constant, within the limits of experimental error, over the period required to reach the final value of the intrinsic viscosity.

### Zusammenfassung

Es wurden Viskositätsänderungen verfolgt, die durch lang andauerndes Erhitzen von alkalisch polymerisiertem Caprolactam auf 220–230°C hervorgerufen wurden. Die Polymerproben wurden durch die katalytische Wirkung von Natrimumcaprolactat hergestellt. Die Versuchsergebnisse zeigen, dass die Viskosität des Polymeren während der ersten 50 Stunden, aber nach dieser Zeit bleibt die unverändert. Der Gleichgewichtswert der Viskosität ist von der Temperatur abhängig. Das Maximum der Viskosität am Anfang des Erhitzens wird durch den Übergang der ursprünglich sehr unstablen breiten Molekulargewichtverteilung in die Gleichgewichtverteilung bedingt. Im Polymeren werden nur basische, aber keine Carboxylgruppen gefunden. Die Konzentration der basischen Gruppen bleibt in dem zum Erreichen des Endviskositätswertes notwendigen Zeitspannen im Bereich der Fehlergrenzen konstant.

### Discussion

**S. Schaf (Tulovo-Sekof):** Eine Abhängigkeit der Viskosität von der Konzentration der Katalysatoren wurde von den Autoren festgestellt. Unter Berücksichtigung der Tatsache, dass die Viskosität bei einem kleinen Katalysatorgehalt nicht ausreichend erhöht wird, kann man diese Abhängigkeit nicht erklären. Ich möchte Ihnen eine Theorie vorstellen, die die Abhängigkeit der Viskosität von der Konzentration der Katalysatoren erklären kann.

**J. Šebenda (Prag):** Aus den Abhängigkeiten ist ersichtlich, dass die Viskositätswerte bei einem kleinen Katalysatorgehalt die Reduktion ausmachen. Wir haben auch am Anfang unserer Mitteilung gesagt, dass wir die Reduktion nicht ausschließen und dass es sich nur um orientierende Werte handelt. Mit den neuen Katalysatoren wollen wir genauere Werte ermitteln.

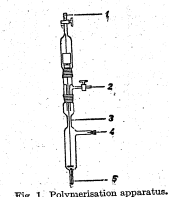


Fig. 1. Polymerisation apparatus.

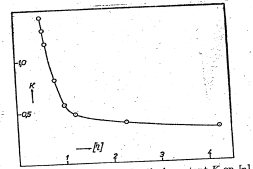
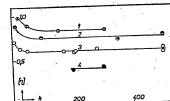
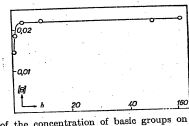
Fig. 2. Dependence of the Huggins' constant K on  $[\eta]$ .Fig. 3. Relationship between  $[\eta]$  and reaction time at various concentrations of sodium caprolactam. (1) 0.0333; (2) 0.005; (3) 0.01; (4) 0.02 mole Na/mole caprolactam.

Fig. 4. Dependence of the concentration of basic groups on the time of heating at 246.3°C.

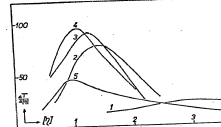
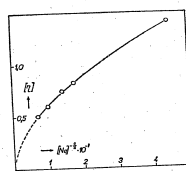


Fig. 5. Distribution curve of polymers prepared at 246.3°C with 0.0033 mole Na/mole caprolactam. (1) 1 hr.; (2) 22 hr.; (3) 50 hr.; (4) 120 hr.; (5) 500 hr.

Fig. 6. Relationship between the concentration of catalyst and  $[\eta]$ .

## Über Zusammenhänge zwischen dem Vernetzungsgrad und der Degradation von Naturkautschuk

A. TKÁČ und V. KELLÓ, Institut für physikalische Chemie der slowakischen Technischen Hochschule, Bratislava, Tschechoslowakei

Das quantitative Studium des Alterungsprozesses von Naturkautschuk mittels einer infrarotspektroskopischen Methode hat gezeigt, dass man den Vernetzungsgrad durch Werte ausdrücken kann, welche eng mit dem komplizierten Mechanismus der Reaktionen zusammenhängen, die im Kautschuk vor sich gehen, wenn er Energie aufnimmt. Die systematische Verfolgung der kinetischen Beziehungen des Anstieges von oxydierten Gruppen in Abhängigkeit von der Zeit hat zu dem Schluß geführt, dass Abbauprozesse immer mit dem Aufbau von Kohlenstoffkettenmolekülen parallel verlaufen, wobei das Verhältnis der Geschwindigkeiten dieser Reaktionen von den Reaktionsbedingungen abhängig ist. Diese Prozesse verlaufen nach einem Radikal-Ketten-Mechanismus. Dabei ändern sich die räumlichen Eigenschaften, wie wir gezeigt haben, im Anfangsstadium der Induktionsperiode der Oxidation, in die aufgenommene Energie ein Zerrennen der nativen Kautschukketten verursacht.<sup>3</sup> Die entstandenen Radikale verbinden sich entweder von neuem, was zum Wiederaufbau von Makromolekülen führt, oder die Radikale reagieren mit dem absorbierten Sauerstoff, was zum Abbau über Hydroperoxydgruppen führt.<sup>4</sup>

Wir haben gezeigt,<sup>4</sup> dass der Gesamt-Mechanismus durch kinetische Gleichungen ausgedrückt werden kann, die für degenerierte verzweigte Kettenreaktionen mit einer negativen Einwirkung der Ketten gelten, wie sie Semenoff theoretisch abgeleitet hat und die von seinen Mitarbeitern für niedrige Kohlenwasserstoffe angewandt wurden.<sup>5</sup> Für die Oxydationsgeschwindigkeit  $w = \frac{b}{k} (1 - e^{-k t}) (1 - \eta)$

$$w = \frac{b}{k} (1 - e^{-k t}) (1 - \eta)$$

wobei  $\eta$  die relative Konzentration der oxydierten Gruppen, in unserem Fall ausgedrückt durch die Extinktion ( $A$ ) des absorbierten Karbonylgegenfalls  $\Delta A / A_0$ ,  $A_0$  Absorptionsmaß bei 1720 resp. 3500 cm<sup>-1</sup>, bedeutet ( $\eta = \Delta A / A_0$ ),  $A$ —Zunahme der Extinktion im gegebenen Zeit  $\Delta t$ ,  $\eta = \Delta A / A_0$ ,  $A_0$ —Absorptionsmaß bei 1720 resp. 3500 cm<sup>-1</sup>, bedeutet ( $\eta = \Delta A / A_0$ ),  $A$ —Zunahme der Extinktion im gegebenen Zeit  $\Delta t$ , die Konstante  $k$  drückt die Geschwindigkeit der Verzweigung von Ketten (welche überwiegend zur Oxidation führt) aus. Die Konstante  $b$  charakterisiert die Geschwindigkeit der quadratischen Termination von Ketten, welche überwiegend zur Vernetzung führt. Der Grad der Vernetzung durch direkte C—C Bindungen ist also um so grösser, je grösser der Wert der Konstante  $b$  und je kleiner der Wert der Konstante  $k$  ist, das heisst, je grösser das Verhältnis  $b/k$  ist.

Es ist dennoch möglich auf Grund einer spektroskopischen Verfolgung der Oxidation, sich eine Vorstellung über die elementaren Stadien des Kettenmechanismus zu bilden. Da der technisch wichtige Vulkanisationsprozess mit der Vernetzung eng zusammenhängt, ist es möglich auf Grund einer kinetischen Analyse auch die Vulkanisations- und den Zusammenhang zwischen den Vulkanisationsbedingungen und darauffolgenden oxydativem Zersetzen verfolgen.

Von diesen Gesichtspunkten her haben wir eine Analyse der kinetischen Kurven der Abhängigkeit der Oxydationsgeschwindigkeit  $w$  (resp.  $\eta$  (A/A<sub>0</sub>)) von  $t$  (Abb. 1-15), die die Oxidation bei der thermischen Alterung und bei der Lichtalterung von Naturkautschuk darstellen, durchgeführt. Wir haben sowohl reinen extrahierten Kautschuk als auch Kautschuk mit verschiedenen Zusätzen, die die Vernetzung beeinflussen (in Vulkanisationsgemischen verwendete Zusätze), und Katalysatoren der Oxydation z.B. Kupfer von verschiedener Wertigkeit, untersucht.

Aus den in der Tabelle angeführten Werten folgt, dass die Termination und Oxydation mit der Temperatur wachsen ( $k, b$ ), aber der Gesamt-Vernetzungsgrad ( $b/k$ ) sinkt. Eine sehr wirksame Vernetzung ruft Licht und zwar vor allem bei niedrigen Temperaturen hervor. Eine Erhöhung der Temperatur steigert rapid die Oxydation auf Kosten der Termination. Ein Zusatz von Schwefel begünstigt die Termination, aber viel wirksamer sind Vulkanisationsgemische, deren Komponenten die Bildung von C—C Brücken präferieren. Besonders beträchtlich aufwächst das Verhältnis der Geschwindigkeitskonstanten ( $b/k$ ) bei der Anwesenheit von Beschleunigern wie Mercaptobenzothiazol, Phenyl- $\beta$ -thiuronamidsulfid, welche die Prozesse zur Verringerung der Netzbildung verabschieden (auch bei Abwesenheit von Schwefel). In dem Wert  $b/k$  widerspiegeln sich ausländend die wichtige Rolle der Naturoxidoxydante wie auch der reinen Kautschuk beigemischten Inhibitoren. Aus den angeführten Zahlen geht der grosse Einfluss von katalytischen Giften hervor, die die Verzweigung stark begünstigen und dadurch die Oxydation unterstützen. • Wir haben auch den grossen Einfluss von Spurenzusätzen in Form von Dämpfen beobachtet. Bei der Lichtalterung ist der Einfluss von Zusätzen meistens qualitativ gleich wie bei der thermischen Alterung, aber mit anderen Zahlenwerten. Bei einigen Antioxydanten und Inhibitoren sind gewisse Abweichungen bemerkbar. So Phenyl- $\beta$ -naphthylamin zum Unterschied von thermischer Alterung erniedrigt bei der Lichtalterung den  $b/k$  Wert. Die Zunahme der Geschwindigkeitskonstante  $k$  deutet an, dass Phenyl- $\beta$ -naphthylamin auch an den Prozessen der Initiation teilnimmt.

Die Zahlenwerte sind mit einem Fehler von über 10% belastet, welcher auf die aussergewöhnliche Empfindlichkeit der Infrarotspektroskopischen Methode für die Unreinheiten des Kautschukfilms zurückzuführen ist. Die Fehler, die durch die rechnerische Auswertung vergrössert werden, jedoch das Ergebnis nicht grundsätzlich.

Soweit im Kautschuk Stoffe enthalten sind, die selbst durch Bildung anderer räumliche Bindungen als C—C Bindungen (wie z.B. Schwefel) Ketten enden können, beeinflusst das den Endoxydationsgrad, der durch die maximale Höhe der Kurven der Abhängigkeit der oxydierten Gruppen von der Zeit charakterisiert wird. Eine derartige räumliche Bindung ist aber nicht mit einem Anwachsen des Wertes  $b/k$  verbunden. Da jede räumliche Bindung die maximale Höhe der kinetischen Kurve herabsetzt, ist es möglich durch Vergleich dieser Höhe mit dem Wert  $b/k$  sich ein Bild von dem Verhältnis zwischen direkten C—C Querbindungen und anderen Typen (C—S—C, C—S—S—C, C—O—C) (Abb. 16, 17) zu verschaulichen.

Die Menge der Radikale, die den Kettenprozess der Oxydation duldet, hängt von der Dauer der Energieaufnahme (Einwirkung der erhöhten Temperatur) ab, was man dadurch beweisen kann, dass der Kautschuk in Abwesenheit von Sauerstoff (in Stickstoff bei 3 atm) bei einer erhöhten Temperatur (130°C) hölt und darauf an der Luft oxydiert (Abb. 18, 19). Da die Radikale in der festen Phase eine lange Lebensdauer haben (womit z.B. auch die Klebrigkeit der Proben zusammenhängt), ist die Induktion-

periode der Nachfolgenden Oxydation um so kürzer, je länger die Probe in Abwesenheit von Sauerstoff auf einer erhöhten Temperatur gehalten wurde (Abb. 20). Gleichzeitig nimmt sie der Gesamt-Oxydationsgrad des Kautschuks, ausgedrückt sowohl durch die Menge der C=O Gruppen, als auch durch die Menge der O—H Gruppen, wesentlich (Abb. 21). Die Entstehung der Radikale ist anfangs sehr heftig, allmählich stellt sie sich aber ein Gleichgewicht ein, der  $b/k$  Wert sinkt und bleibt auch dann niedrig (Vergleich mit dem ursprünglichen  $b/k$  Wert beim Kautschuk ohne Bezeichnung, zwei Monate bei 0°C gehalten wird).

Sofora die Radikale durch geeignete Zusätze/Retardiere, Inhibitoren, Schwefel, Antioxydantien u.a. (verbraucht werden, wird dadurch die Vernetzung begünstigt. Wenn sich aber eine zu grosse Menge von Radikalen bildet lange Vulkanisationszeiten), drückt sich das in einer schnellen nachfolgenden Oxydation, die von einer Alterung des fertigen Erzeugnisses begleitet wird, aus.

Dieses angedeutete Bild, welches das Makrostadium des Prozesses charakterisiert, kann durch die Verteilung der mathematischen Analyse kinetischer Prozesse der Elementarstadien (insoweit es die experimentelle Möglichkeit erlauben) und durch das Überprüfen der erreichten Resultate mit anderen experimentellen Methoden präzisiert werden.

STAT

### EXTRAHIERTER NATURKAUTSCHUK

Temperatur, °C	Wärmebehandlung Probe ohne Beimischungen			Abb. No.
	b	k	b/k	
50	0,1-0,2	0,0018	84	1
100	0,5	0,0119	42	
120	2,9	0,0710	41	2
130	3,4	0,0945	36	
150	6,0	0,256	24	3

### Probe mit Beimischungen, Temperatur 130°C

Beimischungen	Wärmebehandlung Probe mit Beimischungen, Temperatur 130°C			Abb. No.
	b	k	b/k	
0,5% S	2,1	0,0262	80	
2% S	1,7	0,0254	67	4
4% S	1,7	0,0253	60	5
6% S	1,0	0,0250	40	
10% S	2,1	0,0273	77	6
15% S	1,8	0,0254	77	
2,5% S + 10% ZnO	3,2	0,0771	42	
2,5% S + 10% ZnO + 2% "Kaptax"	2,7	0,0360	530	
Vulk. Gemisch Sr	2,4	0,0156	154	7
2,5% S + 10% ZnO + 0,5% Stearinäure + 1% Kapta				
reguliert	0,4	0,0260	16	
0,1% Cu	6,0	0,150	40	
Cu <sup>+</sup>	1,0	0,100	10	8
Cu <sup>++</sup>	-0,0		gering	

### Lichtalterung Probe ohne Beimischungen

Temperatur, °C	Lichtalterung Probe ohne Beimischungen			Abb. No.
	b	k	b/k	
16	7,0	0,015	465	9
30	6,0	0,150	40	
80	8,2	0,340	24	

Beimischung	Probe mit Beimischungen, Temperatur 30°C			Abb. No.
	b	k	b/k	
2% Talk	3,0	0,0264	55	
2% Stearinäure	3,0	0,0264	61	
2% ZnO	3,4	0,0366	60	
2% CO	3,8	0,0567	67	
0,5% S	3,0	0,0273	110	10
4% S	4,3	0,0341	110	11
10% S	1,9	0,0261	79	
15% S	1,9	0,0260	73	12
2% Thiamur	4,6	0,0301	153	
2% Kapta	7,0	0,0416	168	
Vulk. Gemisch mit Schwefel				
2,5% S + 1% Kapta + 10% ZnO + 0,5% Stearinäure + 0,5% Benzidin + 0,5% Pyrogallol	5,4	0,0290	186	13
2,5% S + 1% Kapta + 10% ZnO + 0,5% Stearinäure + 1% Phenyl- $\beta$ -Naphthylamin	5,0	0,0360	130	14
ohne Schwefel				
10% ZnO + 2% Thiamur + 1% Kapta + 0,5% Stearinäure + 1% Phenyl- $\beta$ -Naphthylamin	8,2	0,0787	104	15
10% ZnO + 2% Thiamur + 1% Kapta + 0,5% Stearinäure + 0,5% Benzidin + 0,5% Pyrogallol	10,7	0,0759	141	

Naturkautschuk (Nicht Extrahiert)			
Nachfolgende Oxydation, Temperatur 130°C	b	k	b/k
4,1	0,031	130	
0,6	0,020	31	
2,7	0,038	29	

### Literatur

1. Tkáč, A., Kelló, V., und Hrvíčková, J., *Chem. Zvesti*, 8, 3 (1954); *Rubber Chem. and Technol.*, 28, 989 (1955).

2. Kelló, V., Tkáč, A., Hrvíčková, J., *Collection Czechoslov. Chem. Commun.*, 21, 281 (1956).

3. H. Farmer und Sutton, D. A., *J. Chem. Soc.*, 1943, 119.

4. Tkáč, A. und Kelló, V., *Collection Czechoslov. Chem. Commun.*, 21, 291 (1956).

5. Semenov, N. N., *Doklady Akad. Nauk S.S.R.S.R.*, 44, 4, 65 (1944).

6. Tschirikow, N. M., und Entelis, S. G., *Kinetika cerných reakcí okislení*, Akad. Nauk. S.S.R., Moskva 1950, 118.

STAT

### Synopsis

Oxidation reactions, as followed by infrared spectrometry, may serve as a measure for judging the relative extent of oxidative degradation and crosslinking of two independent parallel reactions subsequent upon the primary destruction. Such information can be derived from kinetic analysis of the absorption of energy in the presence of oxygen ( $\Delta H = \epsilon b(1 - e^{-bt})/(1 - \epsilon)$ ), as a result of the absorption of energy in the presence of oxygen ( $\Delta H = \epsilon b(1 - e^{-bt})/(1 - \epsilon)$ ). This reaction is proportional to the rate of chain branching (which leads predominantly to oxidation), and it is proportional to the rate of recombination of the radicals (leading to crosslinking). The total degree of crosslinking will increase with increasing values of  $b/k$ . This assumption has been confirmed by thermal and photochemical ageing of rubber, both in the absence of additives and in the presence of sulfur, of vulcanizing agents, and of copper as a catalyst of oxidation. At increased temperatures and pressures (130°C, 3 atm) in the absence of vulcanizing additives and in a nitrogen atmosphere, radicals of long life are formed; this leads to an increased rate of the subsequent oxidative degradation. The number of active centers formed, and hence the final extent of oxidation, is a function of the time of exposure to the increased temperature.

### Discussion

A. S. Kuzminskii (Moscow): The action of sulfur and oxygen on rubber should be treated as a linked process in which sulfur inhibits the addition of oxygen, and oxygen in turn activates the addition of sulfur.

Thanks to the addition of sulfur to rubber, we observed vulcanization (i.e., addition of sulfur to rubber) to take place at room temperature under the influence of oxygen. These facts should be kept in mind when studying the influence of sulfur and oxygen on rubbers.

STAT

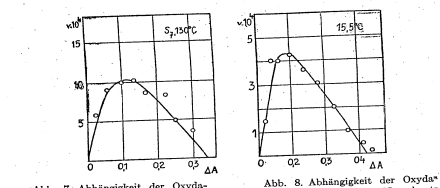
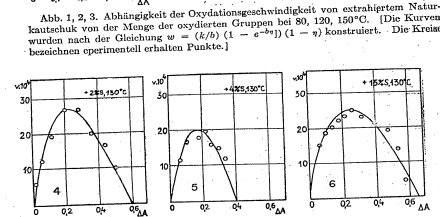
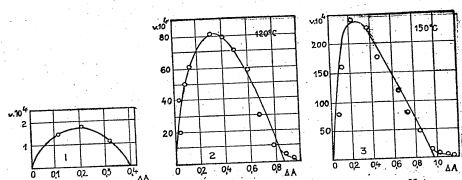


Abb. 8. Abhängigkeit der Oxidationsgeschwindigkeit von Naturkautschuk mit Zusatz von 0,1% CuCl von der oxidierten Gruppen bei 130°C. [Die Kurven wurden nach der Gleichung  $w = (k/b)(1 - e^{-bx}) (1 - \eta)$  konstruiert. Die Kreise bezeichnen experimentell erhalten Punkte.]

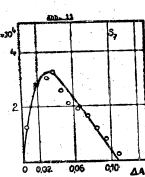
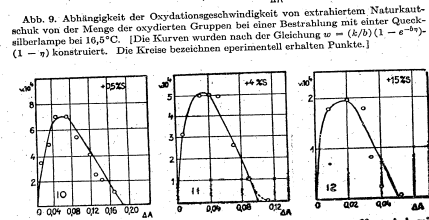
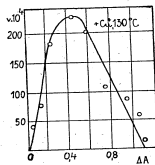


Abb. 14. Abhängigkeit der Oxidationsgeschwindigkeit des Vulkanisationsgemisches S<sub>8</sub> (Zusammensetzung: 100 g extr. Naturkautschuk, 10 g ZnO, 2 g Tetramethylthiuramdisulfid, 1,5 g Kaptax, 0,5 g Stearinäure, 1 g Phenyl-*p*-naphthylamin) von der Menge der oxidierten Gruppen bei einer Bestrahlung mit einer Quecksilberlampe bei 30°C. [Die Kurven wurden nach der Gleichung  $w = (k/b)(1 - e^{-bx}) (1 - \eta)$  konstruiert. Die Kreise bezeichnen experimentell erhalten Punkte.]

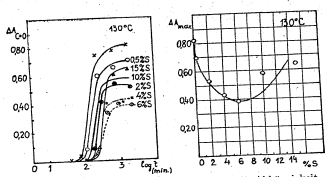
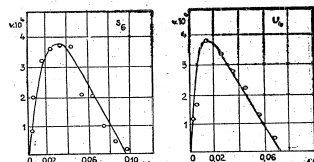


Abb. 17. Abhängigkeit der maximalen Höhe der kinetischen Kurven aus Abb. 16 von der Schwefelkonzentration.

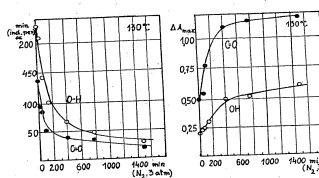
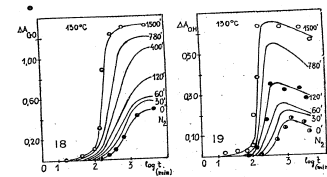


Abb. 21. Abhängigkeit des Gesamt-oxidationsgrades von der Dauer der vorangegangenen Erwärmung der Probe in Stickstoff.

## Über Phasentrennung bei kolloiden Lösungen makromolekularer Gemische

A. HUNYAR und E. WIESNER, Deutsche Akademie der Wissenschaften zu Berlin, Institut für Faserstoff-Forschung in Teltow-Seehof, Deutsche Demokratische Republik

Die Wärmestabilität von chlorhaltigen Carboketten ist nicht sehr gross. Dieser Nachteil kann durch Michaelow verbessert werden durch Zusätze, die die intermolekularen Bindungskräfte zwischen Chlor und Wasserstoffatome schwächen und die Hauptvalenzenkräfte zwischen Kohlenstoff und Chlor verstärken. Soche Verbesserungen in den Eigenschaften dieser Polymere sind möglich durch Mischpolymerisation, durch Prozesse, die hochpolymere Substanzen. Von diesem Verfahren erscheint die Zusammischung von anderen Hochpolymeren zu den chlorierten Polykernaten wegen der Einfachheit des Verfahrens als besonders interessant. In zahlreichen Fällen erfolgt die Verarbeitung dieser Gemische über den gelösten Zustand. Aus diesem Grunde erscheint es wichtig, die Eigenschaften der Mischungen von Hochpolymeren in einem gemeinsamen Lösungsmittel einer näheren Untersuchung zu unterwerfen. Es ist bekannt, dass solche Mischungen Hochpolymeren in einem gemeinsamen Lösungsmittel die Neigung zeigen, sich nach mehr oder weniger langer Zeit in zwei Phasen zu trennen. Die Untersuchung dieser Phasentrennung war daher von besonderem Interesse.

Doherty und Boyer-Kawenoki<sup>1</sup> haben solche Untersuchungen durchgeführt, wobei sie den Einfluss der Konzentration, der Temperatur, des Molekulargewichtes, des Lösungsmittels und der Polymerstruktur geprüft haben und untersucht, welche Faktoren zu einer Phasentrennung führen. Kuhn und Slocombe<sup>2</sup> haben die thermodynamischen Grundlagen der Phasentrennung in Polymergemischen untersucht. Sie haben festgestellt, dass—wenngleich in einem gemeinsamen Lösungsmittel zwei oder mehrere Polymere gelöst sind—eine Phasentrennung eintritt, wenn die freie Energie der Mischung der polymeren Lösungen positiv ist. Von Cates und White<sup>3</sup> wurden aus Mischungen von Hochpolymeren und zwar aus Polyacrylnitril und Seidenfibrin bzw. Acetylcellulose Fasern hergestellt und die Eigenschaften dieser Fasern geprüft. Ebenso haben Woytakij und Mitarbeiter<sup>4</sup> die physikalisch-chemischen Eigenschaften der Lösungen aus Polymergemischen und die daraus hergestellten Fertigprodukte geprüft.

Bei diesem Problem kann man zwei Übergänge unterscheiden. Einmal einen Übergang bei Gemischen von Hochpolymeren in einem gemeinsamen Lösungsmittel aus dem molekulardispersen Zustand in den kolloiddispersen Zustand und andererseits aus dem kolloiddispersen Zustand in einen Zustand, der getrennten Phasen.

Die Ursache für die Entstehung von kolloidaldispersen Lösungen ist, in einem Gemisch die Kräfte zwischen gleichen Makromolekülen größer als sind zwischen ungleichen, so dass innerhalb der Lösung kolloidaldisperse Phasen entstehen, die in sich eine grösere Konzentration der einen makromolekularen Komponente enthalten. Solche Lösungen kann man in makromolekulardisperse Lösungen überführen, beispielsweise durch Verdünnung mit dem gemeinsame Lösungsmittel. Unterhalb einer bestimmten Konzentration, bei einem gegebenem Mischungsverhältnis entstehen homogene klare Lösungen. Oberhalb dieser Konzentration sind diese Lösungen häufig leicht getrübt und zeigen den Turbiditätsfleck. Für die Verarbeitung zu Filmen, Fasern oder sonstigen Artikeln sind im allgemeinen verdünnte Lösungen weniger geeignet, insbesondere bei der Herstellung von Fasern, geht man von so hoher Konzentration aus, dass die Neigung zur Entstehung kolloider Lösungen beträchtlich ist.

kolloider Phasentrennung best.

Eine derartige Phasentrennung bedeutet aber eine wesentliche Einschränkung der Verarbeitbarkeit.

Es wurde für die Herstellung von Fasern ein Gemisch von nachchloriertem Polyvinylchlorid und von Nitrocellulose mit einem Endkochstoffsatz von 12,5% näher untersucht. Die Fasern, die aus diesem Gemisch hergestellt werden, sind kochteig. Sie schrumpfen beim Kochen mit Wasser um etwa 20%. Die Eigenschaften des Rohzutaths brauchbar, sie sind gut gekräuselt und gut farbbar. Da aber die Phasentrennung für die Verarbeitung ein wesentliches Hindernis bedeutet, musste die Frage aufgeworfen werden, ob es sich zu einer Phasentrennung kommt und wie man diese verhindern kann. Zunächst wurde von der Annahme ausgegangen, dass eine Verbesserung des Lösungsmittels eine verbesserte Homogenität der Gemische bewirken müsste. Es wurde daher versucht eine Lösungsmittelzusammensetzung und diese Lösungsmittel sind nach ihren theoretischen Gruppen geordnet in Tabelle I festgehalten. Es wurde festgestellt, dass es tatsächlich möglich ist, für gewisse Zusätze eine Phasentrennung zu verhindern.

	TABELLE I			
	PVC	NC	Misch.	Bemerkungen
Gruppe 1	Eisengussreester Butylketonat	⊕	⊕	+
	Aceton	⊕	⊕	+
Gruppe 2	Methyläthylketon	⊕	⊕	+
	Acetophenon	⊕	⊕	-
Gruppe 3	Cyclohexanon	⊕	⊕	+
	Dimethylformamid (Dioxan)	⊕	⊕	-
Gruppe 4	Trichloroäthylen	⊕	○	-
	Tetrachlorökohlenstoff	○	○	-
Gruppe 5	Acetylentetrachlor.	⊕	⊕	-
	Isononylalkohol	○	○	+
	Isobutylalkohol	○	○	-
	Cyclohexanol	○	○	-

Aus dieser Tabelle geht hervor, dass Zusätze an anderen Lösungsmitteln die beide Hochpolymeren zu lösen in der Lage sind, nicht unter allen Umständen das Phasentrennen verhindern können. In der Gruppe I sind Estere aufgeführt, in der Gruppe II Ketone, während in der Gruppe III Phenole, Pyridinium und Dioxan eingesetzt waren. Alle hier angegebenen Lösungsmittel zeigen, dass innerhalb einer Gruppe mit denselben funktionellen Gruppen solche existieren, die eine Entmischung verhindern und solche, die sie nicht verhindern. Die Gruppe III enthält (lediglich) keine gleichartigen funktionellen Gruppen.

In der Gruppe 4, bei den chlorierten Kohlenwasserstoffen ist ein Beispiel für ein Lösungsmittel für beide Hochpolymere, ein solches, das nur einer der beiden Hochpolymeren löst und ein solches, das für sich allein keine der Hochpolymeren zu lösen in der Lage ist. Alle drei Gruppen können eine Phasentrennung der Acetonlösungen der oben angegebenen polymeren Gemische verhindern. Alkohole sind im allgemeinen keine Lösungsmittel für Nitroarole und auch nicht für Polyvinylchlorid. Es wurde eine Reihe von Alkoholen untersucht und festgestellt, dass es auch hier Beispiele dafür gibt, dass einige Alkohole Phasentrennung verhindern können. Ein Zusammenhang zwischen Güte des Lösungsmittels und Verhindern der Phasentrennung ist nicht erkennbar. Es ist daher nicht anzunehmen, dass eine Verbesserung der Lösungseigenschaften von Aceton die Phasentrennung verhindert. Die Lösungen mit solchen die Phasentrennung verhindenden Zusätzen sind äußerlich ebenso als kolloide Lösungen anzusprechen, wie solche ohne Zusätze. Es wurde daher nach anderen Ursachen für die Verhindern der Phasentrennung gesucht und gefunden, dass nur solche Zusätze die Phasentrennung verhindern, deren Oberflächenspannung höher ist als die Oberflächenspannung des Acetons, oder aber die in Mischung mit Aceton eine höhere Oberflächenspannung zeigen als Aceton selbst. Die in der Tabelle I angeführten Verbindungen, die eine Phasentrennung verhindern können, haben ausnahmslos eine höhere Oberflächenspannung als Aceton. Weiterhin zeigte es sich, dass Athylenchlorid, Chlorform, Nitrobenzol, Pyridin und Tetraäthylammonium eine Phasentrennung verhindern können, während Diäthyläther, Metylethylalkohol und Butylacetat hierzu nicht in der Lage sind. Der Unterschied zwischen diesen Gruppen besteht in der Oberflächenspannung. Diese Fähigkeit eine Phasentrennung zu verhindern ist nicht abhängig von dem Vorhandensein irgendwelcher funktioneller Gruppen. Es besteht kein Zusammenhang zwischen Oberflächenspannung des Zusatzes und der minimalen Menge des Zusatzes, welche eine Phasentrennung verhindern kann. Zusätze verbessern die Stabilität der Lösungen so, dass während die normalen Lösungen sich bereits nach 30 bis 60 Minuten in Phasen trennen, die durch Zusätze stabilisierte Lösungen für mehrere Tage keine Phasentrennung zeigen. In der Tabelle II soll veranschaulicht werden, dass Zusätze die besonders

TABELLE I

	$\phi$ in dyn-cm <sup>-1</sup>	min. Menge %
Essigsäureäthylester	23,4	1
Pyridin	35,0	0,1
Acetophenone	40,0	8
Aceton	21,7	—

$\sigma$  = Oberflächenspannung  
min. Menge = Minimale Menge, die eine Phasentrennung verhindert.

hohe Oberflächenspannung zeigen, nicht unbedingt geringere Mengen zur Verhindernung der Phasentrennung erforderlich. Würde Pyridin schon bei sehr kleinen Zusätzen eine Phasentrennung verhindern, kann bei Acetonen mit noch höherer Oberflächenspannung als Pyridin erst bei wesentlich höheren Zusätzen eine Phasentrennung verhindert werden. Die angegebenen prozentualen Mengen beziehen sich auf die Menge des einzulösenden Acetons. Es kann daraus die Folgerung gezogen werden, dass die Phasentrennung verhindert werden kann, wenn die Oberflächenspannung einen Betrag erreicht, bei der die Arbeit, die bei der Vereinigung von kolloidalen Teilen zu einer geschlossenen Phase geleistet wird, geringer ist als die Oberflächenenergie der kolloiden Bereiche. In der Abbildung 1 ist der Zusammenhang zwischen Mischungsverhältnis und Polyvinylchlorid in Abhängigkeit von der Konzentration in der Lösung dargestellt in der Form, das das Gebiet oberhalb der ausgezogenen Kurve den Bereich eines stabilen kolloidalen Lösung darstellt, während unterhalb der Kurve eine Phasentrennung erfolgt.

Aus dem Vergleich der beiden Kurven ist es deutlich zu erkennen, dass besonders bei höheren Konzentrationen bereits geringere Pyridinzusätze von beispielsweise 0,1% einen deutlichen Unterschied in der Neigung zur Phasenbildung bewirkt.

Zusammenfassend kann man also sagen, dass die Entmischung von kolloidalen Makromolekülen in einem gemeinsamen Lösungsmittel nicht durch die Güte des Lösungsmittels erklärt werden kann. Offensichtlich ist die Oberflächenspannung der kolloiden Bereiche bei der Frage der Entmischung von ungemischbaren Bedeutung. Es besteht kein Zusammenhang zwischen minimaler Menge der Zusätze, die eine Entmischung verhindern, und der Oberflächenspannung der Zusätze zum gemeinsamen Lösungsmittel.

## Literatur

- (1) W. W. Michailow, L. G. Tokarjowa, and W. S. Klimenkov, *Textilnaya promyshlennost*, 16, 26 (1956).  
 (2) A. Dobry and F. Boyer-Kawenoki, *J. Polymer Sci.*, 2, 90 (1947).  
 (3) R. J. Kern and R. J. Slocombe, *J. Polymer Sci.*, 15, 183 (1955).  
 (4) D. M. Cates and H. J. White, *J. Polymer Sci.*, 20, 155, 181 (1956); 21, 125 (1956).  
 (5) S. S. Weissbach, I. E. Kalinina, and N. V. Al'pin, *Vysokomol. Soedin.*, 1, 100 (1959).

Shinn, and W. J. Alexe

## Zusammenfassung

## Discussion

**M. Laczkowski (Lodz):** Je voudrais ajouter un petit détail concernant la communication de M. Hunyar. Nous avons observé aussi l'influence de la tension superficielle sur le comportement de deux polymères dans un solvant. Nous avons sommes occupés de mélanges de caseine et xanthate de calcium. On pourrait obtenir des mélanges bien stables de ces deux polymères, mais encore microhétérogènes seulement et utilisant un émulsifiant qui changera la tension superficielle, et simultanément en utilisant des ultra-s. Les résultats seront bientôt publiés.

**A. Hafayl (Leuven-Seen)**: Der Unterschied zwischen Schutzkolloiden und Lösungsmittelzusätzen ist, dass Schutzkolloide sich offenbar in höherer Konzentration um Zwischenflächen befinden, während die Lösungsmittel vollkommen mischbar sind. Gemessen wurde bisher nur die Oberflächenspannung der Lösungsmittelgemische nicht aber die des Ionenkerns.

## Polymerhomologe Ringamide in Polycaprolactam\*

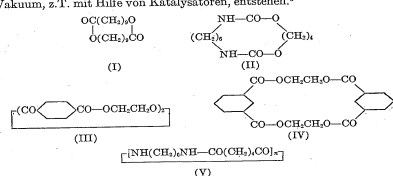
\* III. Mitteilung über cyclische Peptide; II. Mitt. M. Rothe u. F.-W. Kunitz, Ann., 609, 88 (1957).

M. ROTHE, © Institut für Organische Chemie, Universität Halle, Halle.  
Deutsche Demokratische Republik

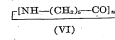
## EINLEITUNG

Bei der Gewinnung von Polyamiden, Polyurethanen und Polyester sind in einigen Fällen auch geringe Mengen an niedermolekularen ringförmigen vielfachgliedrigen Kondensationsprodukten isoliert worden, die aus den gleichen Bausteinen aufgebaut sind wie die Polymeren. Auf Grund ihrer Reaktionsfähigkeit und Gruppeneigenschaften können diese thermisch labilen und leicht abbaubare Einkettenspezies sich allerdings meist nur, soweit infolge besonderer physikalischer Eigenschaften, wie leichter Sublimierbarkeit oder bemerkenswerter Löslichkeit, z.B. in <sup>18</sup>Iodwasser oder organischen Lösungsmitteln, aufgefunden werden.

Dieses erste Beispiel dieser Art ist wohl von W. H. Carothers<sup>5</sup> beschrieben worden, der die Bildung des 22-gliedrigen cyclischen dimeren Lactons der  $\alpha$ -Hydroxydecanösäure (I), während der Polyesterherstellung beobachtet. O. Bayer<sup>6</sup> konnte 1941 bei der Polyurethanbildung aus Hexamethylen-1,6-disocyanat und Butandiol-1,4, die 16-gliedrige Chlorbenzoyl- $\epsilon$ -caproyl-eicyanat Verbindung II in knapp 1-proc. Ausbeute isolieren. Aus Terylen-Film lassen sich geringe Mengen eines cyclischen Trimeres (III) mit 10 Ringatomen mittels Trichloräthylen extrahieren, während bei der Polymerisation von Isophoronen ein cyclisches Tetramer (IV) entsteht. In den beiden Fällen liegen hohe Ausbeuten bis zu 10-% Substitution<sup>7</sup> vor. Kurzlich wurde eine dreigliedrige Ringanime (V, n = 1, 2, 3 oder 4) auch als Nebenprodukte von Polyhexamethylen-adipinamid erhalten.<sup>8</sup> Nicht erwähnt werden sollen hier die zahlreichen makrocyclischen Ester usw., die durch Depolymerisation der Hochpolymeren bei sehr hohen Temperaturen im Vakuum, z.T. mit Katalysatoren, entstehen.<sup>6</sup>



Bei der Caprolactampolymerisation sind bis zum Jahre 1953 durch kurze Mittelstrecken von P. Schuck<sup>3</sup> und K. Hoshino<sup>4</sup> sowie eine Arbeit von P. H. Müller<sup>5</sup> insgesamt drei dem Monomer geähnelte Substanzen bekannt geworden, die sich zusammen mit dem "monomeren" Caprolactam mit heißem Wasser aus den Polymeren extrahieren lassen. Dabei handelt es sich um ein cyclisches Triamid der  $\alpha$ -Aminocapronsäure ( $VI, n = 2$ ), das durch sein grosse Sublimationsvermögen oberhalb  $200^\circ\text{C}$  sehr leicht erkannt werden kann, und zwei weitere durch gewisse Unterschiede in Kristallform und Löslichkeit weitaus schwieriger zu charakterisierende Ringamide. Ihre Konstitution konnte von uns<sup>6</sup> vor einigen Jahren durch kryoskopische Molekulargewichtsbestimmungen in verschiedenen Lösungsmitteln endgültig als höhere Polymerhomologe, und zwar als cyclisches Triamid ( $VI, n = 3$ ) und Tetramid ( $VI, n = 4$ ), festgestellt und später durch eine endgültige Synthese<sup>7</sup> (s. unten) bestätigt werden.

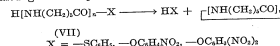


Dadurch wird auch eine kürzlich erschienene Arbeit von Fukumoto<sup>12</sup> widerlegt, der die polymerhomologen Ringe unter Bezugnahme auf eine frühere Arbeit von Hermans' irrtümlich als Isomere ansprach. Sein "9-Dimeres" Schmp. 231-7°, und "Trimeres" Schmp. 234-6°, sind in Wirklichkeit also das Tri- und Tetramer, allerdings in noch unreiner Form; sein "9-Dimeres" tatsächlich das—einzig—Dimer. Dadurch werden natürlich auch die theoretischen Angaben des Japanischen Autors bezüglich der Art dieser angeblichen Isomeren und der Erfassung der Stockmayer'schen Gleichung<sup>13</sup> für das Mengenverhältnis der Ringe gegenständlos.

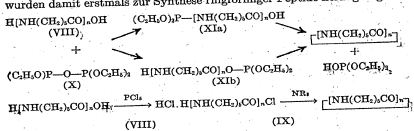
Wegen ihrer sehr ähnlichen physikalischen und chemischen Eigenschaften darf jedoch bisher die Einheitlichkeit dieser Produkte, d.h. die Abwesenheit auch geringer Mengen an niederen und höheren Ringen, nicht nachweisbar und anderseits auch keine Aussagen darüber möglich, ob nicht ausserdem noch viel grössere Prinzipiell wichtig ist. Dieses Problem haben wir systematisch bearbeitet, nicht zuletzt auch wegen der besonderen Bedeutung dieser niedermolekularen Substanzen für den Polymerisationsmechanismus des Caprolactams, für die Kennzeichnung von Polymerisationsen durch Verteilungskurven der Molekulargewichte usw. Schliesslich weiß man bisher überhaupt nur sehr wenig über grosse Ringe mit Amidgruppen, so dass deren Studium auch von allgemein-chemischem Interesse

SYNTHESEN EINHEITLICHER RINGAMIDE

Zur vollständigen Erfassung aller Ringligomeren des Polyaminoests, wie sie heute durch Verzweigungschromatographische Verfahren ausführlich erscheint, benötigen wir zunächst authentische Präparate unterschiedlicher polymerer homologer Ringamide der Amineinheiten mit Vergleichssubstanzen. Sie würden auf übersichtliche Weise nach den Methoden der Reptitidsynthese erhältbar sein. Prinzipiell wäre dabei wie bisher zunächst schrittweise mehrere Amineinheiten-Moleküle bis heraus zum Hexameren (VIII,  $\text{C}_{12}\text{H}_{22}\text{N}_6$ ) und der Gemischtanhydride-Methode<sup>14</sup> kettenförmig miteinander verknüpft. Wie die spätere chromatographische Untersuchung ergab, wurden sie auf diesem Wege in völlig reinem Zustand, also frei von den niedrigeren Gliedern erhalten, die als Ausgangsprodukte dienten, im Gegensatz zu den Gewinnungsmethoden früherer Autoren. Der Ringschluss gelang dann nach Überführung der linearen Amide in energetischer Ester (VII), und zwar haben wir Thioester,  $\alpha$ -Nitrophenylester und 2,4-Dinitrophenylester verwendet, worüber in der vorangegangenen Mittelteil<sup>12</sup> dieser Reihe ausführlich berichtet wurde. Sie reagieren bei Anwendung des Zielgerüsts Verdünnungsprinzips unter innermolekulare Aminolyse und Abspaltung von Thiophenol bzw. Nitrophenol in guten Ausbeuten.



Ausserdem haben wir neuerdings<sup>15</sup> die linearen Aminocapronsäure-*Hep-*-Pep-*tide* auch in ihre Säurechloride (IX) sowie mit Tetraethylpyrophosphat<sup>16</sup> (X) in ihre Phosphorsäure-Derivate (XI) übergeführt und diese zur Cyclisierung benutzt. Solche Derivate—Peptid-chloride und -phosphite—wurden darum erstmals zur Synthese ringförmiger Peptide herangezogen.



Zur Gewinnung der sehr aktiven Peptidchlorid-hydrochloride bedienten, wir uns der bekannten Methode von E. Fischer durch Umsetzung der linearen Oligopeptide mit Phosphortrichlorid, aber in Tetrachlorkohlenstoff als Reaktionsmedium.<sup>13</sup> Sie cyclisierten auf Zusatz von überschüssigem tertiärem Amin in absol. Dimethylformamid als Lösungsmittel bereits, unter sehr scharfen Bedingungen. Die Phosphothitophitid hat den Vorteil gegenüber der Verteil, dass man ausgehend von den unsubstuierten linearen Peptiden unter intermediärer Bildung energieärmerer Phosphorverbindungen (XIIa Phosphitanide oder aber XIIb Phosphorsäureamide) in einer einzigen Operation die Cyclisierungsergebnisse erhält. Als Lösungsmittel diente hierbei Diäthylphthalat. Die Konzentrationen betragen bei allen Ringschlussreaktionen zweckmäßig  $10^{-2}$ – $10^{-3}$  M. Laut

## CHROMATOGRAPHISCHE ANALYSE VON POLYCARBOLACTAM-EXTRAKTEN

Die erstmalige Gewinnung wirklich reiner Ringamide und die Kenntnis ihrer Eigenschaften lieferte nunmehr die Grundlage für eine exakte Analyse.

für den qualitativen Nachweis der Ringoligomeren. In den qualitativen Extraktions wurde zusammen mit W. Hinsz ein neues präparativ chromatographischen Verfahren mit Hilfe eines Tetrahydrofuranlösungen mittelgemischt ausgearbeitet. Einige von H. Zahn und E. Rexroth<sup>19</sup> beschriebene Methode mit Pyridin-Wasser, das hierbei unmittelbar aufsinnlich für unsere Zwecke war, verhinderte, dass hierbei ummischbar aufeinanderfolgende Glieder der polyheterocyclischen Reihen sich nicht voneinander trennen ließen, während die höheren Ringe deshalb vollständig voneinander getrennt wurden. Nach unserem Verfahren lassen sich demgegenüber sämtliche Ringamide bis mindestens zum Octameren bzw. Nonameren auf Grund sehr verschiedener  $R_f$ -Werte einwandfrei voneinander unterscheiden. Dies ist aus Abbildung I ersichtlich.

Auf der linken Seite des Doppelstranges ist das Papiergeflecht eines von Caprolactam besetzten Methanolextraktes des Polymeren aufgetragen. Auf der rechten Seite befinden sich in guter Übereinstimmung die mittel- und langketten synthetischen, also authentischen Verbindungen vom Diimid bis zum Pentamid. Natürlich lassen sich auch die langsamer laufenden höheren Ringamide den inzwischen synthetisierten Verbindungen eindeutig zuordnen. Andererseits ordnet sich auch das "monomere" Caprolactam folgerichtig in die Reihe ein, da es etwas weiter wandert als das Diimide. Die Entwicklung des Papierchromatogrammes erfordert die Anwendung der Chlormethode,<sup>12</sup> die bekanntlich auf alle Säureamide angewandt. Man chloriert die Papierstreifen und behandelt mit geschmolzenem Chloramid mit o-Tolidin, das dabei zu blauer chlorkooperiertem Chloramid oxidiert wird. Natürlich werden nach dieser Trennung auch die linearen Oligomeren sichtbar gemacht. Diese Trennmethode hat jedoch den Vorteil, dass diese nicht abwandern, sondern praktisch am Startpunkt liegen bleiben und somit nicht sterben können. Die Trennung gelingt durch einen Kühlschrank-Zusatz zum Lösungsmittel. Wir verwenden meist ein Gemisch von Tetrahydrofuran, Petroläther (Kp. 100–120°C) und Wasser; mit gleichem Erfolg lässt sich aber beiwelsherweise auch Cyclohexan anstelle des Petroläthers benutzen. Nähere Einzelheiten werden demnächst an anderer Stelle veröffentlicht.

anderer Weise verhüten.

Auf diese Weise gelang es, in Extraktions von technischen Perlon (Nylon-6) (Polymerisationstemperatur 254°) 5 neue hochgliedrige Ringe nachzuweisen, und zwar in technischen Heißwasser-Extrakten sämtliche Oligomeren bis heraus zum Hexameren, während vorher—wie erwähnt—darin nur das Dimere, das Trimeres und das Tetramere aufgefunden waren. In Methanolextrakten konnten wir außerdem noch cyclisches Heptameres und Octameres nachweisen. Ein weiterer, auf dem Papierchromatogramm unmittelbar darüber liegender Fleck durfte wahrscheinlich das ringförmige Nonamer des Caprolactams darstellen, ein Ring mit 63 Gliedern! Außerdem finden sich Anhaltspunkte für die Existenz noch größerer Ringe in Polymerisat.

Schliesslich haben wir auch bei der sogen. "Schnellpolymerisation" des Caprolactams durch Erhitzen mit katalytischen Mengen an metallischem Natrium auf 270° unter streng wasserfreien Bedingungen das Auftreten aller erwähnten Ringoligomeren festgestellt.

reten oder erwähnen.

Genauere quantitative Bestimmungen mit Hilfe des neuen Lösungsmittelkombinates sind im Gange. Jedenfalls zeigen die Papierchromatogramme bereits jetzt, dass der Oligomerengehalt des Polymeren durch steigender Gliedzahll von Dimeren bis zum Octameren abnimmt, wobei sich Tri-, Tetra- und Pentameres allerdings sehr wohl voneinander unterscheiden. Dies ist mit kinetischen Nachraten des Bildungsmechanismus gut in Einklang zu bringen (s. unten). Dieses Ergebnis ist in Übereinstimmung mit unseren früheren Angaben<sup>1</sup> und über die Zusammensetzung technischer Heisswasserextrakte verglichen mit kürzlich vorgenommenen Bestimmungen von H. Zahn<sup>2</sup> des Methanolextraktes des Polymeren untersuchte.

Im Gegensatz dazu stehen Angaben von Heikens<sup>3</sup>, nach denen cyclisches Trimeres den Hauptbestandteil aller Ringe, nämlich 40–50% ausmachen sollte. Sie lassen sich auf Grund unserer Befunde leicht widerlegen, erklären, dass die Existenz der höheren Ringe im Polymeren noch nicht bekannt war, ihr Gehalt jedoch bei der angewendeten Bestimmungsmethode irrtümlich mit zum Tetramer gerechnet wurde. Bei dieser Bestimmungsmethode wie nämlich der nach Absolutbildung des Di- und Trimeren verbleibenden Rückstand als "Tetramers" bezeichnet, während etwa 1/3 davon aus den höheren Oligomeren bestehen.

während erwartet.<sup>24</sup>  
 Für die Zeichen angenommenen sehr stark bevorzugte Bildung der Ringe mit vier oder Acht Kohlen an Almidongruppen, die er durch die nur hier mögliche Anwesenheit eines Wasserstoffbrückens-Brinns, also vollständige innermolekulare Wasserstoffbrücken-Bindungen, somit eine wichtige Stütze. Auch ergeben sich ähnlich deutlich, entfällt sonst eine einzige Hinweise. Man findet nämlich auf den Papierchromatogrammen dafür keine Hinweise. Eindeutig sind die deutlich weniger Hexaals Pentamere in den Polymerisationsprodukten enthalten, sie etwa gleich Mengen an Hexa- und Heptameren sowie an Octa- und Nonameren. Eine endgültige Klärung dieser Frage kann jedoch erst eine exakte quantitative Analyse bringen, da unbedeutend die Hydrolyseschwindigkeiten für die genannte Theorie sprechen.<sup>24</sup>

## PRÄPARATIVE AUFARBEITUNG VON POLYAMIDEXTRAKTEN

Bei der präparativen Auf trennung des Ringoligomergemisches führte unsere papierchromatographische Methode zu einer wesentlich erhöhten Genauigkeit bei der Prüfung des Erfolgs der Trennungoperationen und der Reinheitskontrolle der verschiedenen Fraktionen. Diese waren bisher nur durch Bestimmung des Schmelzpunkts und der Kristallform möglich, die sich z.T. kaum voneinander unterscheiden und deshalb nicht mehr als erste Anhaltspunkte geben können. So kristallisiert z.B. sowohl das Tetra- wie das Pentamit in rechteckigen Blättchen; die Schmelzpunkte liegen bei  $257^{\circ}$  bzw.  $254^{\circ}$ . Nunmehr wurde eine verbesserte Isolierung der gut kristallisierten Ringoligome in präparativer Massstab und papierchromatographisch reinen Zustand ermöglicht.

Die Aufarbeitung erfolgte im Prinzip nach der früher von uns angegebene[n] Methoden<sup>6</sup> durch fraktionierte Kurzwegdestillation in Hochvakuum und fraktionierte Kristallisation, die damals zum ersten Mal zu einer systematischen Auf trennung geführt hatte. Wir fanden nun, dass nach Entfernung des leichtesten flüchtigen Di- und Triamids aus dem an schwerelosen Kristallstand bei 290° Temperatur und 10<sup>-4</sup> Torr cyclisches Tetrameres quantitativ abdestilliert werden kann, während der Rückstand in grossen quadratischen Blättern lieferte. Darüber wurde bereits kurz in Mitteilungen von uns sowie unabhängig von H. Zahn berichtet.<sup>22</sup>

Eine weitere neue Möglichkeit zur Isolierung der reinen Ringamide besteht nunmehr in der Übertragung unserer papYROgraphischen Methoden in den präparativen Massstab. Die Trennung ist hier sehr viel einfacher und gewissamer und gestattete außerdem eine Reingewinnung auch des hochgliedrigen cyclischen Hexamides und Heptamidis, grossen Ringen mit 4 bzw. 5 Ringatomen. Natürlich haben wir auch das ringförmige Pentamid sowie die niedrigeren Oligomeren leicht auf diese Weise isolieren können.

## POLYMERISATION DER RINGOLIGOMEREN

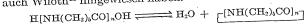
Das Auftreten dieser wichtigen Ringe ist keineswegs durch thermische Zersetzung während der Polymerisation zu erklären, vielmehr müssen sie mit dem Lactam-Polymer-Gleichgewicht einbezogen werden. Wir haben nämlich gefunden, dass unter den Bedingungen der Lactam-Polymerisation, d.h. bei Temperaturen oberhalb 200° und unter Zusatz von Wasser, sich alle Ringe in kettenförmige Oligomere und Polymere überführen und dass diese Polymerisation wie die des Caprolactams zu einem Gleichgewicht führt. In Gleichgewichtszustand liegen neben dem Polyamid alle zu erwartenden linearen und cyclischen Oligomeren und Makrocyclen vor. Nachgewiesen haben wir dabei in jedem Fall papierchromatographisch  $\alpha$ -Aminocapronsäure und lineares Di- bis Tetramide (suk. Butanol/Ameisensäure/Wasser als Lösungsmittel<sup>11</sup>, Ninhydrin als Entwickler) sowie Caprolactam und cyclisches Di- bis Octanamid. Die Polymerisation erfolgt allerdings viel langsamer als die der linearen Oligomeren mit ihren reaktionsfähigen Endgruppen. Sie lässt sich wie beim Caprolactam durch Zusätze von Aminocapronsäure oder Benzoesäure stark beschleunigen. Das gleiche gilt für die Depolymerisation zu Caprolactam mit Hilfe von Natriumhydroxyd unter verminderndem Druck und wasserfreien Bedingungen entsprechend dem entgegengesetzten Vorgang der Schmelzpolymerisation.

Dagegen besitzen die Ringamine beim Erhitzen unter strengem Feuchtigkeitsausschluss hohe Stabilität und gehen erst nach mehreren Stunden bei Schmelztemperatur — beim D meren bei  $350^{\circ}\text{C}$  — in eine Zersetzung in Polyamid und Caprolactam über. Ursachen hierfür ist unter dem Einfluss des Alkaligehalts der Amine ein Angriff auf das Dimeren stattfindet. Der besonders hohe Stabilitätsgrad des Dimeren ist auch schon aus der Tatsache ersichtlich, daß Ginderlaub sehr die Beständigkeit anstrebt.

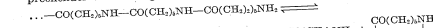
BILDUNGSMECHANISMUS DER RINGAMIDE

Für die Entstehung der Ringoligomeren bei der Caprolactam-Polymerisation müssen damit die gleichen Mechanismen gelten wie für die Bildung der linearen Polyamide.

Nach dem Polykondensationsmechanismus<sup>2</sup> sollten die cyclischen Oligamide in Gleichgewichtsreaktionen durch Wasserabspaltung und Ringeschluss aus den linearen Amiden gleichen Polymerisationsgrades gebildet werden, also entsprechend der wechselseitigen Umwandlung von Caprolactam und Aminocapronsäure, worauf zuerst Schlack und Kunz, später auch Wiloth<sup>3</sup> hingewiesen haben.



Ein weiterer Weg besteht in einer cyclisierenden Abspaltung von Aminocapronsäureresten vom Kettenende eines hochmolekularen Polyamids her, beispielsweise also unter Abspaltung des cyclischen Dimeren und entsprechender Verkürzung der Kette.



NH<sub>2</sub>(CH<sub>2</sub>)<sub>6</sub>CO<sub>2</sub>H

Für den Fall der Abspaltung von "monomerem" Caprolactam hat erstmalig A. Matthes<sup>36</sup> diese Reaktionsmöglichkeit erwähnt ("Einrollungstheorie"), für die Bildung der höheren Ringe haben wir diese Bildungsweise bereits vor zwei Jahren diskutiert.<sup>37</sup> Sie entspricht der zuerst von Flory<sup>38</sup> vorgeschlagenen und von Hermans<sup>39</sup> nachgewiesenen "Polyaddition" von Caprolactam an vorhandene Ketten bei der Lactampolymerisation und stellt chemisch gesehen eine Umanidierung unter Einwirkung von Endgruppen dar.

In der angeführten Gleichung ist die Abspaltung von Aminoacide der Kette her fortgelöst, also gemäß der Angabe Wiloth's,<sup>20</sup> dass der Lactamauflauf an lineare Amide an der Aminogruppe erfolgen soll. Jedoch ist prinzipiell auch eine entsprechende Reaktion vom Carboxyleende her in Betracht zu ziehen, da eine analoge Umsetzung beim Erhitzen von Poly-peptiden  $\alpha$ -Aminosäuren, die an den  $\text{NH}_2$ -Gruppe blockiert waren, unter Abspaltung von Diketopiperazinen von Schramm<sup>21</sup> nachgewiesen

Ein ebenfalls denkbare endgruppenkatalysierter reversibler Amidaus tausch zwischen zwei benachbarten Ketten, also eine Annäherung von Amidgruppen untereinander, der ebenfalls zu einer Ringbildung in zwei aufeinanderfolgenden Schritten führen könnte, soll nach Wiloth<sup>13</sup> praktisch bedeutungslos sein. Überraschend und bisher einzig dastehend bei Polymerisationen von reinen aliphatischen Verbindungen bleibt das Auftreten der grössten Ringe mit 35, 42, 49, 55 und 63 Ringatomen, wenn auch in geringen Mengen. Nach H. Krebs<sup>14</sup> lässt sich durch die Bildung auch sehr weiter Ringe einleichtend erklären, wenn man annimmt, dass diese sich aus zwei parallel liegenden Kettenketten bilden, wie sie auch in Polyamid schmelzen infolge der möglichen Wasserstoffbrücke-Bindung vorliegen.

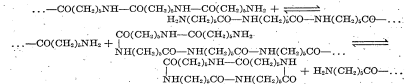
STAT

STAT

STAT  
STAT

können. Dadurch kann es zu einer bevorzugten Entstehung solcher grossen Ringe kommen, die ausgängend von verknüpften Fadenmolekülen viel weniger wahrscheinlich ist. Es wird also die Zahl der rotationsfähigen Stellen in den Ketten verringert, ähnlich—wenn auch in geringerem Ausmass—wie beim "Prinzip der starren Gruppen"<sup>19)</sup> (Benzolkerne), das zur Bildung von beträchtlichen Mengen z.B. des cyclischen Dimers bei der Polymerisation des Isophthalisäureglykolesters führt. Auch H. A. Stuart hebt die vorhandene Parallelisierung in Schmelzen von Fadenmolekülen mit polaren Gruppen und Tendenz zur Wasserstoffbrückenbildung hervor.<sup>24)</sup>

Danach lässt sich die Bildung der Ringoligomeren am einfachsten durch zwei aufeinanderfolgende Umanidierungsreaktionen erklären, entsprechend folgender Gleichung:



Diese Bildungsweise erklärt auch sehr gut den nur wenig unterschiedlichen Gehalt des Polymeraten an Tri-, Tetra- und Pentanameren, sowie andererseits an Hexa- und Heptanameren, während auf Grund statistischer Betrachtungen der Anteil der Ringe mit steigender Gliederzahl viel stärker abnehmen sollte.

Zur Entstehung der Ringoligomeren siehe auch die Vorträge von P. H. Hermans sowie S. Smith auf dem Internationalen Symposium über makromolekulare Chemie 1957.

Herrn Professor Dr. W. Langenbeck gilt mein Dank für sein förmliches Interesse an dieser Arbeit. Dem Thüringischen Kunstabwerk Schwarz, besonders Herrn Dr. H. Sauer, danke ich für die Überlassung von Caprolactam-Polymeraten.

#### Literaturverzeichnis

- (1) W. H. Carothers u. F. J. van Natta, *J. Am. Chem. Soc.*, **55**, 4714 (1933).
- (2) O. Bayer, *Ann.*, **549**, 286 (1941).
- (3) S. D. Ross, E. R. Colburn, W. A. Leach, und W. B. Robinson, *J. Polymer Sci.*, **13**, 409 (1954).
- (4) H. E. Berry, *J. Polymer Sci.*, **15**, 391 (1955).
- (5) H. Zahn, P. Mire, und F. Schmidt, *Chem. Ber.*, **90**, 1411 (1957); C. J. Brown, A. Hill, und P. V. Youde, *Nature (London)*, **177**, 128 (1956).
- (6) W. H. Carothers u. F. J. van Natta, *J. Am. Chem. Soc.*, **52**, 314 (1930); W. H. Carothers, *ibid.*, **53**, 400 (1931); W. H. Carothers u. G. L. Dorough, *ibid.*, **52**, 3292 (1930); J. W. Hill u. W. H. Carothers, *ibid.*, **55**, 5039 (1933); J. W. Spanagel u. W. H. Carothers, *ibid.*, **57**, 929 (1935); **58**, 654 (1936).
- (7) P. Schlack und L. Koenig in *Chemie, Fasern, Filmen und Folien*, herausgeg. von P. Schlack, Verlag Enke (Stuttgart), 1955, S. 609 ff.
- (8) K. Hoshina, *Bull. Chem. Soc. Japan*, **19**, 171 (1944); **21**, 63 (1949).
- (9) P. H. Hermans, *Rec. trav. chim.*, **72**, 708 (1953).
- (10) J. Rothe und M. Rothe, *Chem. Ber.*, **88**, 284 (1955).
- (11) M. Rothe u. F.-W. Künzli, *Angew. Chem.*, **68**, 414 (1956); *Ann.*, **609**, 88 (1957), vgl. darüber die Publikationen von M. Rothe und F. W. Künzli aus dem Nachnamen von G. W. Kenner und J. M. Turner, *Chemistry & Industry*, 1955, 692; und von R. Schweizer, B. Iselin, W. Rittel, und P. Sieber, *Helv. chim. Acta*, **39**, 872 (1956); sowie R. Schweizer und P. Sieber, *Angew. Chem.*, **68**, 518 (1956); *Helv. chim. Acta*, **40**, 629 (1957). Siehe auch H. Zahn, *ibid.*, **40**, 129 (1957).
- (12) O. Fukumoto, *Bull. Chem. Soc. Japan*, **29**, 169 (1956); vgl. O. Fukumoto, *J. Polymer Sci.*, **22**, 263 (1956).
- (13) H. Jacobson und W. H. Steudelmayer, *J. Chem. Phys.*, **18**, 1609 (1950).
- (14) T. H. Wheland und H. Bernhard, *Ann.*, **672**, 193 (1951); R. A. Boissons, *Helv. chim. Acta*, **34**, 374 (1951); J. R. Vaughan, Jr., und R. L. Ostro, *J. Am. Chem. Soc.*, **74**, 676 (1952).
- (15) M. Rothe, *Über die Synthese der cyclischen Oligomeren des Caprolactams*, Leipzig 1956, 1956, 1956, Bericht der Chem. Gesellschaft (DDR) 1956, H. Brüning, Dipl. Arbeit, Universität Halle.
- (16) G. W. Anderson, J. Blodinger, und A. D. Weilacher, *J. Am. Chem. Soc.*, **74**, 5309 (1952).
- (17) S. Levine, *J. Am. Chem. Soc.*, **76**, 1383 (1954).
- (18) H. Zahn und E. Rexroth, *Chem. anal.*, **48**, 181 (1955).
- (19) H. Zahn und H. Wolf, *Melliand Textilber.*, **32**, 317 (1951); H. N. Rydon und P. W. G. Smith, *Nature (London)*, **170**, 909 (1952); F. Reinold und W. Hoppe, *Naturwiss.*, **40**, 125 (1952); *Chem. Ber.*, **87**, 1196 (1954).
- (20) H. Zahn, *Gross-Ringe in Polymeren*, Freiburg i.Br., 8.3.1957, Makromolekulare Colloquium; vgl. *Angew. Chem.*, **69**, 270 (1957); *Angew. Chem.*, **68**, 617 (1956).
- (21) D. Heikens, *Rec. trav. chim.*, **75**, 1199 (1956).
- (22) Vgl. die Arbeit von H. Zahn, *ibid.*, **75**, 1209 (1956).
- (23) P. Schlack, *Persönliche Mitteilung*.
- (24) P. Schlack, *Z. physik. Chem.*, **197**, 127 (1957).
- (25) P. Schlack, *Z. physik. Chem.*, **Neue Folge**, **5**, 66 (1955).
- (26) A. Matthes, *Makromol. Chem.*, **5**, 197 (1950).
- (27) I. Rothe, Dissertation, Universität Halle, 1955.
- (28) I. Rothe, *Rec. trav. chim.*, **74**, 137 (1955).
- (29) P. H. Hermans, *J. Am. Chem. Soc.*, **75**, 493 (1953).
- (30) F. Wiloth, *Z. physik. Chem.*, **New Folge**, **11**, 78 (1957).
- (31) G. Schramm und I. Leubke, *Makromol. Chem.*, **13**, 117 (1954).
- (32) G. Koenig, *Z. Macromol. Res.*, im Druck.
- (33) G. W. Baker, *J. Am. Chem. Soc. (London)*, **1951**, 200, 209, 1114, 1118; **1952**, 1443, 1457, 1452, 2991, 3163.
- (34) H. A. Stuart, *Physik der Hochpolymeren*, Band III, S. 16, Springer-Verlag, Berlin-Göttingen-Heidelberg 1955.

#### Zusammenfassung

Bei der Caprolactam-Polymerisation entstehen ungefähr 3% an niedermolekularen cyclischen Oligomeren des Caprolactams, über deren systematische Bearbeitung zusammenfassend berichtet wird. Wegen ihrer sehr ähnlichen Eigenschaften und schwierigen Identifizierbarkeit (keine Endgruppen) wurden verschiedene Methoden der Polymerisationsanalyse angewendet, um Vergleichszusätze herzustellen. Diese wurden schrittweise mehrere Aminosäureproteine-Rate nach den Methoden der Peptidsynthese zu chromatographisch einheitlichen linearen Oligomeren miteinander verknüpft und nach Überführung in geäderte Formen und Anwendung des Ziegelfestigungsverfahrens auf Wasser synthetisiert. Das Ringoligomer entsteht dabei durch innermolekulare Aminocyclisierung verschiedener Peptidester sowie neuartig mit Hilfe von Trimethylphosphat und durch Kondensation der Peptid-Chloride bei Gegenwart von tert. Amin. Zur Herstellung der Polypropylene wurde eine spezielle Methode angewandt, die aus einem thermisch stabilen Thermoplasten an einem photogrammatischen Verfahren ausgerichtet, dass eine Trennung aller polymersomeren Ringamide bis mindestens heraus zum Nonameren gestattet. Mittels seines Hilfs gelang der Nachweis von 5 neuen Ringoligomeren, nämlich des cyclischen Peptids bis Nonamer (G3 Ringoligomer) des Caprolactams, das durch Polymerisation von Caprolactam in Gegenwart von Wasser oder auch mit metallischen Natrium unter Feuchtigkeitseinschluss, gewonnen waren. Der Gehalt des Polymeraten an Ringen sinkt mit steigender Gliederzahl von Dimeren bis zum Nonameren. Die präparative Auftrennung des Ringoligomerenmixtures erfolgt nach einem photogrammatischen Verfahren, das aus einem Peptidester in passivierter reiner Form gelang durch fraktionierte Kurzwedgestillation im Hochvakuum und fraktionierte Kristallisation; eine neue Methode zur Isolierung auch der höheren Ringe besteht in der präparativen Papierchromatographie. Die Menge der erhaltenen Gewebe der einzelnen Peptidoligoformen ist sehr groß. Die Menge des Oligoesters, also Volumenprozent, folgt ausgenutzt aus der Analyse der Abwesenheit von Endgruppen und den überunterschreitenden physikalischen Eigenschaften (Flüchtigkeit, Molekulargewichtsbestimmung, Röntgen-Spektren, Polymerisationsrate) und symmetrischer Modellbestimmung. Alle Ringoligomere besitzen bei identischer Struktur bei Einführung eines Wasserstoffatoms eine erstaunliche Polymerisationsfähigkeit unter Festeigensätzen. Auf Wasserbasis tritt erstaunliche Polymerisation ein unter Bildung aller möglichen linearen und cyclischen Monomeren, Oligomeren und Polymeren. Als mögliche Bildungsmechanismen werden Kondensationsgleichgewicht, eine reversible Alspaltung vom Ketionen eines Polyamids her sowie Umanidierungen zwischen zwei parallelen Ketten diskutiert.

#### Discussion

V. V. Korshak (Moskow): Wie grosse Ringe könnte man unter Anwendung der beschriebenen synthetischen Methode erhalten? M. Rothe (Halle): Die Schätzungen bei der Synthese sehr grosser Ringamide mit höherer Molmasse entsprechen liegen bereits in der Gewinnung einheitlicher linearer Ausgangsmaterialien entsprechender Kettenlänge. Hierbei ist nämlich die Abtrennung der niedermolekularen Ausgangs- und Nebenprodukte der Peptidsynthese nicht mehr möglich bzw. noch schwerer, so dass Gemische entstehen.

Ausserdem sollte aus kinetischen Gründen die Ringschlusswahrscheinlichkeit mit steigender Kettenlänge abnehmen.

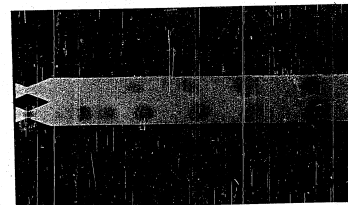


Abb. 1. Papierchromatographische Analyse der Ringoligomeren des Caprolactams. Papier: Schleicher-Schüll 2043 b; 13 Std. Durchlauf-Chromatogramm. Lösungsmittel: 186 Vol.-Teile Tetrahydrofuran; 14 Vol.-Teile Petroläther (Kp. 100–120°C); 10 Vol.-Teile Wasser. Entwicklung: 7 Min. Cl<sub>2</sub>; 5 Min. Luft; 10 Sec. NH<sub>3</sub> Toluol/Wasser. Bioglycerin von unten nach oben: rechts: cycl. Diamid bis Pentamid; links: cycl. Diamid bis Nonamid, am Start lineare Oligomere.

STAT

STAT

## Über raman- und ultrarotspektroskopische Untersuchungen an Hochpolymeren

A. SIMON, M. MÜCKLICH, D. KUNATH, und G. HEINTZ, Institut für  
anorganische und anorganisch-technologische Chemie, Technische Hochschule,  
Dresden, Deutsche Demokratische Republik

Bekanntlich werden bei der Wechselwirkung von Licht (elektromagnetischer Strahlung) mit Substanz Molekül-Schwingungen und -Rotations angezeigt, die bei absorzierender Materie in der Infrarot-Spektroskopie (IR) bzw. bei streuender Materie im Raman-Effekt (RE) die gleichen Molekülbewegungen durch Absorptionsbanden bzw. verschobene Linien zur Beobachtung bringen. Für das Auftreten einer Ultrarotsorption ist entscheidend, dass sich bei der entsprechenden Molekülbewegung das polareitmoment, beim Zustandekommen der Rotation um die Polarisationsrichtung  $\alpha$  oder der Kernwinkel  $\omega$ , also  $d\alpha/d\omega$  ändert. Aus diesem Grunde zeigen z.B. die elektroneutrale zweiatomigen Gase kein Infrarot-, wohl aber ein Raman-Spektrum. Diese Verschiedenheit des Anregungsmechanismus ist eine der Hauptursachen dafür, dass sich beide Methoden wesentlich ergänzen. Bei den folgenden Untersuchungen war es deshalb unser Nebenabsicht, die gegenseitige Ergänzung der zwei Verfahren herzuheben. Wie die spektroskopische Literatur über Hochpolymeren Ausweit, dominiert hier die IR-Methode, was seinen Grund darin hat, dass die experimentellen Schwierigkeiten beim RE der Hochpolymeren meist erheblich sind, während die IR-Methode vor allen bei amorphen Hochpolymeren viel geringere präparative Voraarbeit (Lösungen, Film, KBr-Pille), erfordert und vollautomatisch arbeitet. Die größte Schwierigkeit bei der Raman-Untersuchung hochpolymrer Substanzen beruht auf der durch spezifische technische Verunreinigungen hervorgerufenen starken Untergrundschwärzung. Unsere Untersuchungen zeigten, dass letztere bei sehr sorgfältiger Präparation der Proben bzw. entsprechender Vührung der Polymerisation weitgehend unterdrückt werden kann. Ein weiterer Vorteil in der anorganischen Chemie besteht in Untersuchungen im wässrigen Medium, wo man zwischen Wasserbanden, die bei Hochpolymeren infolge Assoziation häufig noch eine Verbreiterung erfahren, so dass Einzelheiten verloren gehen und z.B. die C=H-Valenz-Frequenzen nicht mehr beobachtet werden können. Hinzu kommt, dass man in der IR-Spektroskopie für verschiedene Wellenlängenbereiche verschiedene Prismen und Gefäßmaterialien einsetzen muss, während der RE mit Glasprißmen und Kuvette, das ganze Spektrum und auch den Teil unter  $400 \text{ cm}^{-1}$  mit einer Aufnahme liefert, wobei letzterer beim IR einen grösseren Aufwand (Cäsiumhalogenidprismen bzw. Gitter oder besonders empfindliche Empfänger) erfordert, ganz abgesehen davon, dass bei der Auswertung oft zahlreiche Oberund Kombinationstöne, die im RE kaum beobachtet werden, stören. Dass symmetrische Schwingungen im IR verloren gehen, muss nicht als Verboten infolge gänzlicher Abschirmung einer Momentänderung gewertet werden, wie man z.B. am Phosphorytriamid zeigen kann. Für dieses Molekül mit der Symmetrie  $C_3$  gibt es keinen Atomerstickstoff. Trotzdem werden im vorliegenden Falle, weil die Momentänderungen sich bis auf einen kleinen Betrag in IR und RE unterscheiden, die symmetrischen Valenzschwingungen  $P-N-P$  im IR nicht beobachtet, während sie als totalsymmetrische P-N-Schwingungen im RE eine sehr starke Linie erzeugen.

Für die Entwicklung neuer hochmolekularer synthetischer Stoffe mit speziellen Eigenschaften ist die Kenntnis des molekularen Aufbaus von ausschlaggebender Bedeutung. Wir haben, um die Eignung der bisher als kaum anwendbar bezeichneten Methode des RE zu demonstrieren, Polyvinylacetat, Polyacrylsäure und deren wässrige Lösung sowie Polyacrylsäureäthylester mit beiden spektroskopischen Methoden untersucht und das Raman-Spektrum des Polystyrols zu Vergleichszwecken nochmals aufgenommen.

Obgleich es sich bei den vorstehend genannten Substanzen um durch radikalische Polymerisation entstandene Hochmoleküle handelt, bei denen die Gesamtzahl der zu erwartenden Schwingungen  $N \cdot 6$  ( $N$  = Anzahl der Atome des Moleküls) beträgt, resultieren sehr einfache, den Monomeren ähnliche Spektren. Wie haben die fortgeschreitende Polymerisation einen Einflussstrahl ausgeübt? Durch Stehen am Tageslicht über 1/4 Jahre spektroskopisch verfolgt; das Spektrum des Polymeren trat allmählich ohne Übergang neben dem des Monomeren auf und löste dieses schliesslich ab. Da an sich überraschende Tatsache, dass der Polymerisationsgrad auf die Spektren ohne Einfluss ist, war nach den bei den Paraffinen erhaltenen spektroskopischen Ergebnissen zu erwarten. Mit steigender Kettenlänge werden deren Spektren immer ähnlicher und schliesslich identisch. Das weiterhin bei Polymerisation in Lösung unter Druck oder im UV-Licht oder mit Katalysator wechselnder Menge oder bei verschiedenen Temperaturen zwischen 20 und 100° oder auch bei den Lösungen von Polyvinylacetat bzw. Polystyrol in verschiedenen Lösungsmitteln stets identische Spektren entstanden und auch die Lösungsmittel keine Veränderungen erfuhrten, lässt Zweierei Schlüsse zu: (1) Es können beim Polyvinylacetat und Polystyrol praktisch keine zwischenmolekularen Kräfte vorhanden sein. (2) Das Aufbaumuster muss trotz der so verschiedenen Vorhandenheit bei radikalischer Polymerisation stets das Gleiche sein (polymerhomologe Moleküle).

Die Ansicht, dass die Monomeren bei wechselnder Polymerisationsstemperatur bzw. beim Arbeiten mit und ohne Katalysator Produkte ergeben, die strukturell verschieden sind, lässt sich durch die Spektren nicht bestätigen. Wir belegen das an ca. 50 verschiedenen Ansätzen. Einschränkend muss dazu gesagt werden, dass die Empfindlichkeit des RE zwischen 1 und 5% liegt.

Ganz allgemein kann man feststellen, dass das Spektrum z.B. des Vinylacetats sich aus den Frequenzen der Vinylund der Acetatgruppe zusammensetzt:

Frequenzen der Vinylgruppe $\text{cm}^{-1}$	Frequenzen der Acetatgruppe $\text{cm}^{-1}$
1205 1372 oder 1388 1647	463 637 849 1432
3048 3156	1758 2941 2998 3023
wahrscheinlich auch 879 952 u. 3094	

In den folgenden, Figuren 2 und 3, wird für das monomere und polymere Vinylacetat und das monomere Styrol eine Zuordnung der einzelnen Linien. Analoge zu ähnlichen oder sonst irgendwie geeigneten Verbindungen—insbesondere den Paraffinen nach Brown, Sheppard und Simpson—mitgetestet. Die unzureichende Breitbildung für diese Zuordnung werden wir später Stellung nehmen.

Die Abbildung Figur 4, enthält die Spektren von monomeres und polymerem Vinylacetat und Styrol untereinander abgebildet. Durchweg zeigen die Spektren der Polymeren gegenüber den Monomeren Linienverbreiterungen. Die für die vinylische Doppelbindung charakteristische

Frequenz bei  $1647 \text{ cm}^{-1}$  im Vinylacetat,  $1630 \text{ cm}^{-1}$  im Styrol,  $1636 \text{ cm}^{-1}$  in der Acrylsäure (und  $1648 \text{ cm}^{-1}$  in Acrylsäureäthylester) ist bei allen monomeren die stärkste Linie, wie Figur 5 ausweist. Sie verliert in dem polymeren Vinylacetat und Styrol stark an Intensität, um bei der Polyacrylsäure<sup>1</sup> und deren Äthylester völlig zu verschwinden. In Übereinstimmung mit der Feststellung, dass in der Polyacrylsäure spektroskopisch keine Doppelbindungen mehr beobachtet werden konnten, stehen die Versuche, den Gehalt an Doppelbindungen durch Titration zu bestimmen. Wir fanden nach der Brommethode, die wir an der monomeren Acrylsäure testeten, bei einer 50%igen wässrigen Polyacrylsäure 0,14% und bei einer 100%igen im Block polymerisierten 0,24% Doppelbindungen. Nach der Dialyse zeigten diese Produkte titrimetrisch keine Doppelbindungen mehr und waren gegen das Baeyer'sche Permanganat reagieren beständig.

In Übereinstimmung mit dem Rückgang der oben erwähnten C=C-Doppelbindungs frequenz ist auch die Intensität der CH-Deformations- und Valenzfrequenzen der Vinylgruppe in den Polymeren entsprechend vermindernt. In allen Fällen geht die Polymerisation auf Aufhebung der Doppelbindung der Vinylgruppe vor sich, und man muss erwarten, dass Ketten entstehen, die den Paraffinen entsprechen. In der Figur 5 sind die Kettenfrequenzen des festen n-Paraffins<sup>2</sup> und  $\alpha$ -Olefins<sup>3</sup> den Frequenzen des monomeren und polymeren Vinylacetats, Styrols und der Acrylsäure und ihres Äthylesters gegenübergestellt. Man sieht, dass in den Polymeren im Gebiet der CH-Deformationsfrequenz um  $1400 \text{ cm}^{-1}$  und der CH-Valenzfrequenzen zwischen 2660 und  $3200 \text{ cm}^{-1}$  die Veränderungen auftreten, die zu erwarten sind, wenn die Vinylgruppe durch Aufhebung der Doppelbindung in die aliphatische Kette  $-\text{CH}_2-\text{CH}_2-$  übergeht. Die Frequenzen der Gruppierung  $\text{CH}_2=\text{CH}-$  verschwinden, während die symmetrische und asymmetrische Valenzfrequenz der  $\text{CH}_2$ -Gruppe neu in Erscheinung treten. Weiterhin beobachtet man im Gebiet der  $-\text{C}=\text{C}-$  Valenzfrequenzen neue Linien, die einer paraffinischen Struktur zugeordnet werden können. Bemerkenswert ist noch die Deformationsfrequenz bei  $1298 \text{ cm}^{-1}$ , die entsprechend der Tatsache, dass sie sowohl den CH-Gruppen der Olefine wie auch der Paraffine angehört, ebenfalls umso jenseitig in den Olefinen durchschnittlich mit einer Intensität 10 und in den Paraffinen mit der Intensität 100 auftritt. Entsprechend geht die Intensität beim Vinylacetat/Polyvinylacetat von 8 auf  $1\frac{1}{2}$ , beim Styrol/Polystyrol von 2 auf  $1\frac{1}{2}$  zurück, bei der Acrylsäure/Polyacrylsäure zu verschwinden, so dass die in den Polymeren aufgetretene Linie  $1298 \text{ cm}^{-1}$  wegen ihrer geringen Intensität bevorzugt einer CH-Gruppe zugeordnet werden muss.

Besser als beim Vinyl- und Polyvinylacetat lassen sich im Spektrum bei der Polymerisation auftretenden Veränderungen bei der Acrylsäure und Polyacrylsäure überschauen, da hier im Monomeren  $\text{CH}_2$ -Gruppierungen fehlen.

Die bereits festgestellte Tatsache, dass die Doppelbindungs frequenz beim Polyvinylacetat und Polystyrol bei weitgehender Polymerisation noch sichtbar bleibt (auch beim Polyvinylchlorid stellen Bier und Krämer<sup>4</sup> im IR noch Doppelbindungen fest) ist meistens mit einem Gehalt an eingeschlossenen Monomeren erklärt worden; diese Doppelbindungen könnten aber auch einen echten Bestandteil der Polymeren darstellen. Um hier eine Entscheidung herbeizuführen, haben wir versucht, Polyvinylacetat durch Umfüllen von Monomeren zu befreien.

Nun haben monomeres und polymeres Vinylacetat zwei verschiedene C=O-Frequenzen (a)  $1758 \text{ cm}^{-1}$  und (b)  $1738 \text{ cm}^{-1}$  wie die Figur 7 ausweist. Es handelt sich hier um das Photogramm eines im Verlauf von 1½ Jahren bei Zimmertemperatur polymerisierten Vinyacetats, das vom flüssigen an den plastischen Zustand überging. Die entsprechenden Spektren wurden in Abständen von einigen Monaten aufgenommen. Im ersten Photogramm, welches das Spektrum des Monomeren darstellt, sind neben den stärksten Linien neben der  $\text{C}=\text{O}$ -Bande bei  $1758 \text{ cm}^{-1}$  und der  $\text{C}=\text{C}$ -Gruppe ebenfalls  $\text{C}=\text{O}$ -Frequenzen bei  $1755 \text{ cm}^{-1}$  (hier  $1761 \text{ cm}^{-1}$ ) und  $1738 \text{ cm}^{-1}$  zu erkennen. Das zweite Photogramm zeigt den Rückgang der  $\text{C}=\text{C}$ -Doppelbindungs frequenz bei einsetzender Polymerisation und neben der  $\text{C}=\text{O}$ -Frequenz  $1758 \text{ cm}^{-1}$  (hier  $1761 \text{ cm}^{-1}$ ) das Auftreten der  $\text{C}=\text{O}$ -Frequenz des polymeren Vinylacetats gleich stark und die monomere  $\text{C}=\text{O}$ -Frequenz um  $1750 \text{ cm}^{-1}$  ist nicht mehr beobachtbar. Wegen aufstrebender Untergrundschwärzung, die durch allmählich einsetzende Blasenbildung verursacht wurde, gründsätzlich die durch allmählich einsetzende Blasenbildung verursachte Untergrundschwärzung, die durch allmählich einsetzende Blasenbildung verursacht wurde, konnte der weitere Verlauf der Polymerisation nicht mehr verfolgt werden. Praktisch nichts verfolgt werden. Wir zeigen deshalb im vierten Photogramm, dass die  $\text{C}=\text{O}$ -Frequenz des polymeren Vinylacetats fast gleich stark und die monomere  $\text{C}=\text{O}$ -Frequenz um  $1750 \text{ cm}^{-1}$  ist nicht mehr beobachtbar. Wegen aufstrebender Untergrundschwärzung, die durch allmählich einsetzende Blasenbildung verursacht wurde, gründsätzlich die durch allmählich einsetzende Blasenbildung verursachte Untergrundschwärzung, die durch allmählich einsetzende Blasenbildung verursacht wurde, konnte der weitere Verlauf der Polymerisation nicht mehr verfolgt werden. Praktisch nichts verfolgt werden. Wir zeigen deshalb im vierten Photogramm, dass die  $\text{C}=\text{O}$ -Frequenz des polymeren Vinylacetats fast gleich stark und die monomere  $\text{C}=\text{O}$ -Frequenz um  $1750 \text{ cm}^{-1}$  ist nicht mehr beobachtbar. Wegen aufstrebender Untergrundschwärzung, die durch allmählich einsetzende Blasenbildung verursacht wurde, gründsätzlich die durch allmählich einsetzende Blasenbildung verursachte Untergrundschwärzung, die durch allmählich einsetzende Blasenbildung verursacht wurde, konnte der weitere Verlauf der Polymerisation nicht mehr verfolgt werden. Praktisch nichts verfolgt werden. Wir zeigen deshalb im vierten Photogramm, dass die  $\text{C}=\text{O}$ -Frequenz des polymeren Vinylacetats fast gleich stark und die monomere  $\text{C}=\text{O}$ -Frequenz um  $1750 \text{ cm}^{-1}$  ist nicht mehr beobachtbar. Wegen aufstrebender Untergrundschwärzung, die durch allmählich einsetzende Blasenbildung verursacht wurde, gründsätzlich die durch allmählich einsetzende Blasenbildung verursachte Untergrundschwärzung, die durch allmählich einsetzende Blasenbildung verursacht wurde, konnte der weitere Verlauf der Polymerisation nicht mehr verfolgt werden. Praktisch nichts verfolgt werden. Wir zeigen deshalb im vierten Photogramm, dass die  $\text{C}=\text{O}$ -Frequenz des polymeren Vinylacetats fast gleich stark und die monomere  $\text{C}=\text{O}$ -Frequenz um  $1750 \text{ cm}^{-1}$  ist nicht mehr beobachtbar. Wegen aufstrebender Untergrundschwärzung, die durch allmählich einsetzende Blasenbildung verursacht wurde, gründsätzlich die durch allmählich einsetzende Blasenbildung verursachte Untergrundschwärzung, die durch allmählich einsetzende Blasenbildung verursacht wurde, konnte der weitere Verlauf der Polymerisation nicht mehr verfolgt werden. Praktisch nichts verfolgt werden. Wir zeigen deshalb im vierten Photogramm, dass die  $\text{C}=\text{O}$ -Frequenz des polymeren Vinylacetats fast gleich stark und die monomere  $\text{C}=\text{O}$ -Frequenz um  $1750 \text{ cm}^{-1}$  ist nicht mehr beobachtbar. Wegen aufstrebender Untergrundschwärzung, die durch allmählich einsetzende Blasenbildung verursacht wurde, gründsätzlich die durch allmählich einsetzende Blasenbildung verursachte Untergrundschwärzung, die durch allmählich einsetzende Blasenbildung verursacht wurde, konnte der weitere Verlauf der Polymerisation nicht mehr verfolgt werden. Praktisch nichts verfolgt werden. Wir zeigen deshalb im vierten Photogramm, dass die  $\text{C}=\text{O}$ -Frequenz des polymeren Vinylacetats fast gleich stark und die monomere  $\text{C}=\text{O}$ -Frequenz um  $1750 \text{ cm}^{-1}$  ist nicht mehr beobachtbar. Wegen aufstrebender Untergrundschwärzung, die durch allmählich einsetzende Blasenbildung verursacht wurde, gründsätzlich die durch allmählich einsetzende Blasenbildung verursachte Untergrundschwärzung, die durch allmählich einsetzende Blasenbildung verursacht wurde, konnte der weitere Verlauf der Polymerisation nicht mehr verfolgt werden. Praktisch nichts verfolgt werden. Wir zeigen deshalb im vierten Photogramm, dass die  $\text{C}=\text{O}$ -Frequenz des polymeren Vinylacetats fast gleich stark und die monomere  $\text{C}=\text{O}$ -Frequenz um  $1750 \text{ cm}^{-1}$  ist nicht mehr beobachtbar. Wegen aufstrebender Untergrundschwärzung, die durch allmählich einsetzende Blasenbildung verursacht wurde, gründsätzlich die durch allmählich einsetzende Blasenbildung verursachte Untergrundschwärzung, die durch allmählich einsetzende Blasenbildung verursacht wurde, konnte der weitere Verlauf der Polymerisation nicht mehr verfolgt werden. Praktisch nichts verfolgt werden. Wir zeigen deshalb im vierten Photogramm, dass die  $\text{C}=\text{O}$ -Frequenz des polymeren Vinylacetats fast gleich stark und die monomere  $\text{C}=\text{O}$ -Frequenz um  $1750 \text{ cm}^{-1}$  ist nicht mehr beobachtbar. Wegen aufstrebender Untergrundschwärzung, die durch allmählich einsetzende Blasenbildung verursacht wurde, gründsätzlich die durch allmählich einsetzende Blasenbildung verursachte Untergrundschwärzung, die durch allmählich einsetzende Blasenbildung verursacht wurde, konnte der weitere Verlauf der Polymerisation nicht mehr verfolgt werden. Praktisch nichts verfolgt werden. Wir zeigen deshalb im vierten Photogramm, dass die  $\text{C}=\text{O}$ -Frequenz des polymeren Vinylacetats fast gleich stark und die monomere  $\text{C}=\text{O}$ -Frequenz um  $1750 \text{ cm}^{-1}$  ist nicht mehr beobachtbar. Wegen aufstrebender Untergrundschwärzung, die durch allmählich einsetzende Blasenbildung verursacht wurde, gründsätzlich die durch allmählich einsetzende Blasenbildung verursachte Untergrundschwärzung, die durch allmählich einsetzende Blasenbildung verursacht wurde, konnte der weitere Verlauf der Polymerisation nicht mehr verfolgt werden. Praktisch nichts verfolgt werden. Wir zeigen deshalb im vierten Photogramm, dass die  $\text{C}=\text{O}$ -Frequenz des polymeren Vinylacetats fast gleich stark und die monomere  $\text{C}=\text{O}$ -Frequenz um  $1750 \text{ cm}^{-1}$  ist nicht mehr beobachtbar. Wegen aufstrebender Untergrundschwärzung, die durch allmählich einsetzende Blasenbildung verursacht wurde, gründsätzlich die durch allmählich einsetzende Blasenbildung verursachte Untergrundschwärzung, die durch allmählich einsetzende Blasenbildung verursacht wurde, konnte der weitere Verlauf der Polymerisation nicht mehr verfolgt werden. Praktisch nichts verfolgt werden. Wir zeigen deshalb im vierten Photogramm, dass die  $\text{C}=\text{O}$ -Frequenz des polymeren Vinylacetats fast gleich stark und die monomere  $\text{C}=\text{O}$ -Frequenz um  $1750 \text{ cm}^{-1}$  ist nicht mehr beobachtbar. Wegen aufstrebender Untergrundschwärzung, die durch allmählich einsetzende Blasenbildung verursacht wurde, gründsätzlich die durch allmählich einsetzende Blasenbildung verursachte Untergrundschwärzung, die durch allmählich einsetzende Blasenbildung verursacht wurde, konnte der weitere Verlauf der Polymerisation nicht mehr verfolgt werden. Praktisch nichts verfolgt werden. Wir zeigen deshalb im vierten Photogramm, dass die  $\text{C}=\text{O}$ -Frequenz des polymeren Vinylacetats fast gleich stark und die monomere  $\text{C}=\text{O}$ -Frequenz um  $1750 \text{ cm}^{-1}$  ist nicht mehr beobachtbar. Wegen aufstrebender Untergrundschwärzung, die durch allmählich einsetzende Blasenbildung verursacht wurde, gründsätzlich die durch allmählich einsetzende Blasenbildung verursachte Untergrundschwärzung, die durch allmählich einsetzende Blasenbildung verursacht wurde, konnte der weitere Verlauf der Polymerisation nicht mehr verfolgt werden. Praktisch nichts verfolgt werden. Wir zeigen deshalb im vierten Photogramm, dass die  $\text{C}=\text{O}$ -Frequenz des polymeren Vinylacetats fast gleich stark und die monomere  $\text{C}=\text{O}$ -Frequenz um  $1750 \text{ cm}^{-1}$  ist nicht mehr beobachtbar. Wegen aufstrebender Untergrundschwärzung, die durch allmählich einsetzende Blasenbildung verursacht wurde, gründsätzlich die durch allmählich einsetzende Blasenbildung verursachte Untergrundschwärzung, die durch allmählich einsetzende Blasenbildung verursacht wurde, konnte der weitere Verlauf der Polymerisation nicht mehr verfolgt werden. Praktisch nichts verfolgt werden. Wir zeigen deshalb im vierten Photogramm, dass die  $\text{C}=\text{O}$ -Frequenz des polymeren Vinylacetats fast gleich stark und die monomere  $\text{C}=\text{O}$ -Frequenz um  $1750 \text{ cm}^{-1}$  ist nicht mehr beobachtbar. Wegen aufstrebender Untergrundschwärzung, die durch allmählich einsetzende Blasenbildung verursacht wurde, gründsätzlich die durch allmählich einsetzende Blasenbildung verursachte Untergrundschwärzung, die durch allmählich einsetzende Blasenbildung verursacht wurde, konnte der weitere Verlauf der Polymerisation nicht mehr verfolgt werden. Praktisch nichts verfolgt werden. Wir zeigen deshalb im vierten Photogramm, dass die  $\text{C}=\text{O}$ -Frequenz des polymeren Vinylacetats fast gleich stark und die monomere  $\text{C}=\text{O}$ -Frequenz um  $1750 \text{ cm}^{-1}$  ist nicht mehr beobachtbar. Wegen aufstrebender Untergrundschwärzung, die durch allmählich einsetzende Blasenbildung verursacht wurde, gründsätzlich die durch allmählich einsetzende Blasenbildung verursachte Untergrundschwärzung, die durch allmählich einsetzende Blasenbildung verursacht wurde, konnte der weitere Verlauf der Polymerisation nicht mehr verfolgt werden. Praktisch nichts verfolgt werden. Wir zeigen deshalb im vierten Photogramm, dass die  $\text{C}=\text{O}$ -Frequenz des polymeren Vinylacetats fast gleich stark und die monomere  $\text{C}=\text{O}$ -Frequenz um  $1750 \text{ cm}^{-1}$  ist nicht mehr beobachtbar. Wegen aufstrebender Untergrundschwärzung, die durch allmählich einsetzende Blasenbildung verursacht wurde, gründsätzlich die durch allmählich einsetzende Blasenbildung verursachte Untergrundschwärzung, die durch allmählich einsetzende Blasenbildung verursacht wurde, konnte der weitere Verlauf der Polymerisation nicht mehr verfolgt werden. Praktisch nichts verfolgt werden. Wir zeigen deshalb im vierten Photogramm, dass die  $\text{C}=\text{O}$ -Frequenz des polymeren Vinylacetats fast gleich stark und die monomere  $\text{C}=\text{O}$ -Frequenz um  $1750 \text{ cm}^{-1}$  ist nicht mehr beobachtbar. Wegen aufstrebender Untergrundschwärzung, die durch allmählich einsetzende Blasenbildung verursacht wurde, gründsätzlich die durch allmählich einsetzende Blasenbildung verursachte Untergrundschwärzung, die durch allmählich einsetzende Blasenbildung verursacht wurde, konnte der weitere Verlauf der Polymerisation nicht mehr verfolgt werden. Praktisch nichts verfolgt werden. Wir zeigen deshalb im vierten Photogramm, dass die  $\text{C}=\text{O}$ -Frequenz des polymeren Vinylacetats fast gleich stark und die monomere  $\text{C}=\text{O}$ -Frequenz um  $1750 \text{ cm}^{-1}$  ist nicht mehr beobachtbar. Wegen aufstrebender Untergrundschwärzung, die durch allmählich einsetzende Blasenbildung verursacht wurde, gründsätzlich die durch allmählich einsetzende Blasenbildung verursachte Untergrundschwärzung, die durch allmählich einsetzende Blasenbildung verursacht wurde, konnte der weitere Verlauf der Polymerisation nicht mehr verfolgt werden. Praktisch nichts verfolgt werden. Wir zeigen deshalb im vierten Photogramm, dass die  $\text{C}=\text{O}$ -Frequenz des polymeren Vinylacetats fast gleich stark und die monomere  $\text{C}=\text{O}$ -Frequenz um  $1750 \text{ cm}^{-1}$  ist nicht mehr beobachtbar. Wegen aufstrebender Untergrundschwärzung, die durch allmählich einsetzende Blasenbildung verursacht wurde, gründsätzlich die durch allmählich einsetzende Blasenbildung verursachte Untergrundschwärzung, die durch allmählich einsetzende Blasenbildung verursacht wurde, konnte der weitere Verlauf der Polymerisation nicht mehr verfolgt werden. Praktisch nichts verfolgt werden. Wir zeigen deshalb im vierten Photogramm, dass die  $\text{C}=\text{O}$ -Frequenz des polymeren Vinylacetats fast gleich stark und die monomere  $\text{C}=\text{O}$ -Frequenz um  $1750 \text{ cm}^{-1}$  ist nicht mehr beobachtbar. Wegen aufstrebender Untergrundschwärzung, die durch allmählich einsetzende Blasenbildung verursacht wurde, gründsätzlich die durch allmählich einsetzende Blasenbildung verursachte Untergrundschwärzung, die durch allmählich einsetzende Blasenbildung verursacht wurde, konnte der weitere Verlauf der Polymerisation nicht mehr verfolgt werden. Praktisch nichts verfolgt werden. Wir zeigen deshalb im vierten Photogramm, dass die  $\text{C}=\text{O}$ -Frequenz des polymeren Vinylacetats fast gleich stark und die monomere  $\text{C}=\text{O}$ -Frequenz um  $1750 \text{ cm}^{-1}$  ist nicht mehr beobachtbar. Wegen aufstrebender Untergrundschwärzung, die durch allmählich einsetzende Blasenbildung verursacht wurde, gründsätzlich die durch allmählich einsetzende Blasenbildung verursachte Untergrundschwärzung, die durch allmählich einsetzende Blasenbildung verursacht wurde, konnte der weitere Verlauf der Polymerisation nicht mehr verfolgt werden. Praktisch nichts verfolgt werden. Wir zeigen deshalb im vierten Photogramm, dass die  $\text{C}=\text{O}$ -Frequenz des polymeren Vinylacetats fast gleich stark und die monomere  $\text{C}=\text{O}$ -Frequenz um  $1750 \text{ cm}^{-1}$  ist nicht mehr beobachtbar. Wegen aufstrebender Untergrundschwärzung, die durch allmählich einsetzende Blasenbildung verursacht wurde, gründsätzlich die durch allmählich einsetzende Blasenbildung verursachte Untergrundschwärzung, die durch allmählich einsetzende Blasenbildung verursacht wurde, konnte der weitere Verlauf der Polymerisation nicht mehr verfolgt werden. Praktisch nichts verfolgt werden. Wir zeigen deshalb im vierten Photogramm, dass die  $\text{C}=\text{O}$ -Frequenz des polymeren Vinylacetats fast gleich stark und die monomere  $\text{C}=\text{O}$ -Frequenz um  $1750 \text{ cm}^{-1}$  ist nicht mehr beobachtbar. Wegen aufstrebender Untergrundschwärzung, die durch allmählich einsetzende Blasenbildung verursacht wurde, gründsätzlich die durch allmählich einsetzende Blasenbildung verursachte Untergrundschwärzung, die durch allmählich einsetzende Blasenbildung verursacht wurde, konnte der weitere Verlauf der Polymerisation nicht mehr verfolgt werden. Praktisch nichts verfolgt werden. Wir zeigen deshalb im vierten Photogramm, dass die  $\text{C}=\text{O}$ -Frequenz des polymeren Vinylacetats fast gleich stark und die monomere  $\text{C}=\text{O}$ -Frequenz um  $1750 \text{ cm}^{-1}$  ist nicht mehr beobachtbar. Wegen aufstrebender Untergrundschwärzung, die durch allmählich einsetzende Blasenbildung verursacht wurde, gründsätzlich die durch allmählich einsetzende Blasenbildung verursachte Untergrundschwärzung, die durch allmählich einsetzende Blasenbildung verursacht wurde, konnte der weitere Verlauf der Polymerisation nicht mehr verfolgt werden. Praktisch nichts verfolgt werden. Wir zeigen deshalb im vierten Photogramm, dass die  $\text{C}=\text{O}$ -Frequenz des polymeren Vinylacetats fast gleich stark und die monomere  $\text{C}=\text{O}$ -Frequenz um  $1750 \text{ cm}^{-1}$  ist nicht mehr beobachtbar. Wegen aufstrebender Untergrundschwärzung, die durch allmählich einsetzende Blasenbildung verursacht wurde, gründsätzlich die durch allmählich einsetzende Blasenbildung verursachte Untergrundschwärzung, die durch allmählich einsetzende Blasenbildung verursacht wurde, konnte der weitere Verlauf der Polymerisation nicht mehr verfolgt werden. Praktisch nichts verfolgt werden. Wir zeigen deshalb im vierten Photogramm, dass die  $\text{C}=\text{O}$ -Frequenz des polymeren Vinylacetats fast gleich stark und die monomere  $\text{C}=\text{O}$ -Frequenz um  $1750 \text{ cm}^{-1}$  ist nicht mehr beobachtbar. Wegen aufstrebender Untergrundschwärzung, die durch allmählich einsetzende Blasenbildung verursacht wurde, gründsätzlich die durch allmählich einsetzende Blasenbildung verursachte Untergrundschwärzung, die durch allmählich einsetzende Blasenbildung verursacht wurde, konnte der weitere Verlauf der Polymerisation nicht mehr verfolgt werden. Praktisch nichts verfolgt werden. Wir zeigen deshalb im vierten Photogramm, dass die  $\text{C}=\text{O}$ -Frequenz des polymeren Vinylacetats fast gleich stark und die monomere  $\text{C}=\text{O}$ -Frequenz um  $1750 \text{ cm}^{-1}$  ist nicht mehr beobachtbar. Wegen aufstrebender Untergrundschwärzung, die durch allmählich einsetzende Blasenbildung verursacht wurde, gründsätzlich die durch allmählich einsetzende Blasenbildung verursachte Untergrundschwärzung, die durch allmählich einsetzende Blasenbildung verursacht wurde, konnte der weitere Verlauf der Polymerisation nicht mehr verfolgt werden. Praktisch nichts verfolgt werden. Wir zeigen deshalb im vierten Photogramm, dass die  $\text{C}=\text{O}$ -Frequenz des polymeren Vinylacetats fast gleich stark und die monomere  $\text{C}=\text{O}$ -Frequenz um  $1750 \text{ cm}^{-1}$  ist nicht mehr beobachtbar. Wegen aufstrebender Untergrundschwärzung, die durch allmählich einsetzende Blasenbildung verursacht wurde, gründsätzlich die durch allmählich einsetzende Blasenbildung verursachte Untergrundschwärzung, die durch allmählich einsetzende Blasenbildung verursacht wurde, konnte der weitere Verlauf der Polymerisation nicht mehr verfolgt werden. Praktisch nichts verfolgt werden. Wir zeigen deshalb im vierten Photogramm, dass die  $\text{C}=\text{O}$ -Frequenz des polymeren Vinylacetats fast gleich stark und die monomere  $\text{C}=\text{O}$ -Frequenz um  $1750 \text{ cm}^{-1}$  ist nicht mehr beobachtbar. Wegen aufstrebender Untergrundschwärzung, die durch allmählich einsetzende Blasenbildung verursacht wurde, gründsätzlich die durch allmählich einsetzende Blasenbildung verursachte Untergrundschwärzung, die durch allmählich einsetzende Blasenbildung verursacht wurde, konnte der weitere Verlauf der Polymerisation nicht mehr verfolgt werden. Praktisch nichts verfolgt werden. Wir zeigen deshalb im vierten Photogramm, dass die  $\text{C}=\text{O}$ -Frequenz des polymeren Vinylacetats fast gleich stark und die monomere  $\text{C}=\text{O}$ -Frequenz um  $1750 \text{ cm}^{-1}$  ist nicht mehr beobachtbar. Wegen aufstrebender Untergrundschwärzung, die durch allmählich einsetzende Blasenbildung verursacht wurde, gründsätzlich die durch allmählich einsetzende Blasenbildung verursachte Untergrundschwärzung, die durch allmählich einsetzende Blasenbildung verursacht wurde, konnte der weitere Verlauf der Polymerisation nicht mehr verfolgt werden. Praktisch nichts verfolgt werden. Wir zeigen deshalb im vierten Photogramm, dass die  $\text{C}=\text{O}$ -Frequenz des polymeren Vinylacetats fast gleich stark und die monomere  $\text{C}=\text{O}$ -Frequenz um  $1750 \text{ cm}^{-1}$  ist nicht mehr beobachtbar. Wegen aufstrebender Untergrundschwärzung, die durch allmählich einsetzende Blasenbildung verursacht wurde, gründsätzlich die durch allmählich einsetzende Blasenbildung verursachte Untergrundschwärzung, die durch allmählich einsetzende Blasenbildung verursacht wurde, konnte der weitere Verlauf der Polymerisation nicht mehr verfolgt werden. Praktisch nichts verfolgt werden. Wir zeigen deshalb im vierten Photogramm, dass die  $\text{C}=\text{O}$ -Frequenz des polymeren Vinylacetats fast gleich stark und die monomere  $\text{C}=\text{O}$ -Frequenz um  $1750 \text{ cm}^{-1}$  ist nicht mehr beobachtbar. Wegen aufstrebender Untergrundschwärzung, die durch allmählich einsetzende Blasenbildung verursacht wurde, gründsätzlich die durch allmählich einsetzende Blasenbildung verursachte Untergrundschwärzung, die durch allmählich einsetzende Blasenbildung verursacht wurde, konnte der weitere Verlauf der Polymerisation nicht mehr verfolgt werden. Praktisch nichts verfolgt werden. Wir zeigen deshalb im vierten Photogramm, dass die  $\text{C}=\text{O}$ -Frequenz des polymeren Vinylacetats fast gleich stark und die monomere  $\text{C}=\text{O}$ -Frequenz um  $1750 \text{ cm}^{-1}$  ist nicht mehr beobachtbar. Wegen aufstrebender Untergrundschwärzung, die durch allmählich einsetzende Blasenbildung verursacht wurde, gründsätzlich die durch allmählich einsetzende Blasenbildung verursachte Untergrundschwärzung, die durch allmählich einsetzende Blasenbildung verursacht wurde, konnte der weitere Verlauf der Polymerisation nicht mehr verfolgt werden. Praktisch nichts verfolgt werden. Wir zeigen deshalb im vierten Photogramm, dass die  $\text{C}=\text{O}$ -Frequenz des polymeren Vinylacetats fast gleich stark und die monomere  $\text{C}=\text{O}$ -Frequenz um  $1750 \text{ cm}^{-1}$  ist nicht mehr beobachtbar. Wegen aufstrebender Untergrundschwärzung, die durch allmählich einsetzende Blasenbildung verursacht wurde, gründsätzlich die durch allmählich einsetzende Blasenbildung verursachte Untergrundschwärzung, die durch allmählich einsetzende Blasenbildung verursacht wurde, konnte der weitere Verlauf der Polymerisation nicht mehr verfolgt werden. Praktisch nichts verfolgt werden. Wir zeigen deshalb im vierten Photogramm, dass die  $\text{C}=\text{O}$ -Frequenz des polymeren Vinylacetats fast gleich stark und die monomere  $\text{C}=\text{O}$ -Frequenz um  $1750 \text{ cm}^{-1}$  ist nicht mehr beobachtbar. Wegen aufstrebender Untergrundschwärzung, die durch allmählich einsetzende Blasenbildung verursacht wurde, gründsätzlich die durch allmählich einsetzende Blasenbildung verursachte Untergrundschwärzung, die durch allmählich einsetzende Blasenbildung verursacht wurde, konnte der weitere Verlauf der Polymerisation nicht mehr verfolgt werden. Praktisch nichts verfolgt werden. Wir zeigen deshalb im vierten Photogramm, dass die  $\text{C}=\text{O}$ -Frequenz des polymer

STAT

Die Ergebnisse können wie folgt zusammengefasst werden:

Trotz wiederholter Umfällungen und Fraktionierungen, durch die die C=C-Frequenzen des Monomeren völlig verschwunden sind, bleiben C=C-Doppelbindungs frequenzen bestehen. Sie sind also möglicherweise nicht auf einem Gehalt an Monomeren zurückzuführen, sondern ein echter Bestandteil des polymeren Vinylacetats und Styrols. Eine endgültige Entscheidung über das Alter erst getroffen werden, wenn die Ultrathermuntersuchungen für die O=O-Bindung mit einem sehr leistungsfähigen Gerät durchgeführt sind. Unsere Ergebnisse zeigen jedoch, dass die in den Polymeren vorhandenen Doppelbindungen endständig sein müssen, da sonst eine Verschiebung der C=C-Frequenzen zu erwarten ist, da sonst eine Verschiebung der

Wenn die Untersuchungen beim Polyvinylacetat (sie liegen ebenso beim

Polystyrol) ergaben, dass keinerlei zwischenmolekulare Kräfte entstehen beim skopisch zu beobachten und zumindest beim Polystyrol auch nicht entstanden waren, so liess sich voraussehen, dass bei der Acrylsäure-Wasserstoffbrücke und zwischenmolekularen Kräften auftreten würden. Wir haben deshalb die Acryl- und Polyacrylsäure mit dieser Fragestellung untersucht. Acrylsäure bildet im konzentrierten Zustand bevorzugt Doppelnetzwerk, wie wir das von anderen Carbonsäuren auch annehmen können (siehe Figur 12). Diese wasserfreie Form schreibt eine Frequenz  $C=O$ -Streckung von  $1660\text{ cm}^{-1}$  vor. Bei solcher einer solcher von  $1725\text{ cm}^{-1}$  entspricht dem Gleichgewicht erscheinende Linie. Beim Spektren, dagegen müsste ihr Intensitätsverhältnis temperaturabhängig sein. Wie auch finden;  $1660\text{ cm}^{-1}$  nimmt mit steigender Temperatur ab und  $1725\text{ cm}^{-1}$  nimmt es auf. Man findet nun in der wasserfreien Säure noch eine Frequenz bei  $1690\text{ cm}^{-1}$ , die allerdings sehr schwach ist, aber beim Verdünnen mit Wasser an Intensität zunimmt. Die Zuordnung dieser Frequenz  $1690\text{ cm}^{-1}$  ist noch nicht gesichert. Cabannes<sup>11</sup> findet ähnliche Ergebnisse bei der Essigsäure und schreibt dort die entsprechende Linie einer Form B zu, die im Gleichgewicht mit dem ringförmigen Struktur steht, jedoch bei Wasserzusatz besonders beginnigt sie soll (s. Figur 12). Wir sind aber der Auffassung, dass bei

Wasser aus dem Bild 3 und die Frequenzverschiebung der  $\text{C=O}$ -Gruppe, dass bei Wasseraustritt aus dem Bild 3 und die Frequenzverschiebung der  $\text{C=O}$ -Gruppe, dass bei Wasseraustritt auf  $1690 \text{ cm}^{-1}$  durch die Aufhebung der Bindung des binuklearen Ringes (weitgehende Aufhebung der Resonanz) hervorgerufen wird. Diese Form steht im Gleichgewicht mit dem Monomeren, wodurch die Auftreten der Frequenz  $1725 \text{ cm}^{-1}$  verständlich wird. Das nächste Bild - Bild 13 - zeigt ebenfalls eine Strichzeichnung die Vorgänge beim Verdünnen von Acrylsäure mit Wasser. Dass wir es hier durchweg mit Assoziationen konstanter Zähligkeit zu tun haben, zeigt die konstante Lage der Linien bei Änderungen des Wassergehalts. Die Linie  $1660 \text{ cm}^{-1}$  geht mit der Verdünnung zurück und verschwindet bei 10% Acrylsäure. Die  $1690 \text{ cm}^{-1}$  ist in der wasserfreien Säure ganz schwach, nimmt aber bei Verdünnung sehr zu. Die  $1725 \text{ cm}^{-1}$  bleibt relativ konstant. Mit größerer Verdünnung werden die Spektren diffuser und schwächer Linien entgegen der Beobachtung. Wenn also bereits in den monomeren Acrylsäure eine starke Wechselwirkung mit dem Lösungsmittel und zwischen den einzelnen Molekülen feststellbar ist, so müssten auch bei der Polyacrylsäure dergartige Effekte auftreten. Die Häufschwierigkeiten ergaben sich hier bei der Präparation von Proben, vor allem derjenigen von wasserfreier Polyacrylsäure. Schließlich gelang es, aus wasserfreier Acrylsäure mit einem Redoxsystem bestehend aus  $\text{Oxymethyl-}\text{P}-\text{tolylsulfat}$  und  $\text{Azobisisobutyronitril}$  unter Zusatz von  $\text{CaCO}_3$  und Bestrahlung mit UV ( $\text{HgQ}_900$ ) glasklare homogene Stücke von Polyacrylsäure zu erhalten, die ein, wenn auch schwaches Raman-Spektrum ergaben. Die wässrigen Lösungen ließen sich bedient leichter zu glasklaren Proben polymerisieren. Die nächsten Figuren 14a und b, zeigen die Messwerte der Frequenzen von Acryl- u. Polyacrylsäure und deren wässrigen Lösungen. Wie zu erwarten, war nur von der 60%igen Lösung ein eingeräumtes vollständiges Raman-spektrum zu erhalten, bei den übrigen hatten die Spektren einen zu starken Untergrund. Interessanterweise erkennt man im Gebiet der  $\text{C=O}$ -Valenzschwingung.

Wie Figur 15 ausweist, beobachtet man im Spektrum der 100%igen Polycarbätsäure im Gebiet der  $C=O$ -Wasserstoffquersymmetrie eine Aufspaltung gegenüber den wässrigen Lösungen. Interessant ist zunächst die obere Frequenz bei  $1741\text{ cm}^{-1}$ . Sie stellt offenbar die Schwingung der nicht-assoziierten  $C=O$ -Gruppe dar und ruht von Carbonylgruppen, die nicht dimerisiert sind, her. Ihre Lage ist wesentlich höher, als die entsprechende Frequenz in der monomeren Säure. Das ist nicht verwunderlich, da jetzt die Konjugation zur Doppelbindung aufgehoben ist. Beim mono- und auch beim Acrylatesäuremethylester haben wir dasselbe beobachtet. Auch beim Methacrylatesäuremethylester findet K. N. Roy<sup>1)</sup> den analogen Effekt. Dieses hohe  $C=O$ -Frequenz ist bisher bei Polycarbätsäuren in der Literatur nicht beschrieben worden. Sie ist nach unseren Messungen nur in absolut wässriger Flüssigkeit zu vernehmen.

Wasserstoffzustand zu beobachten.

Im IR, Figure 16, sieht man in diesem Frequenzgebiet eine breite C=O-Bande, die jedoch selbst bei Trocknung mit  $\text{P}_2\text{O}_5$  nicht aufspaltet. Erst bei Herstellung aus absolut wasserfreier Polyacrylsäure kann man auch im IR eine Bandenversplung erreichen. Die Herstellung einer solchen wasserfreien Polyacrylsäure geschah durch Polymerisation wasserfreier Acrylsäure in wasserfreiem  $\text{CCl}_4$ . Pulev wurde darüber informiert, daß man mit KBF<sub>3</sub> (3 mg Polymer/300 mg KBF<sub>3</sub>) geprägt spektroskopiert. Im Raman-Spektrum findet man außer der scharfen, aber schwachen 1741  $\text{cm}^{-1}$  eine sehr breite 1600  $\text{cm}^{-1}$ . In Analogie zu den Ergebnissen, die von der monomeren Säure gewonnen wurden, ist zu erwarten, daß diese Frequenz eine Dimerisierung der COOH-Gruppen ist. Die Verbreiterung dieser Linie im Polymeren führen wir auf Ringspannungen zurück, die gegenüber dem Monomeren durch die langen Ketten im Polymeren entstehen. Bei weitem Wassergerüst (80% Polyacrylsäure und 20% Wasser) verbleiben die beiden C=O-Frequenzen 1741  $\text{cm}^{-1}$  und 1600  $\text{cm}^{-1}$ , und es erscheint eine Bandenversplung zwischen 1670 und 1740  $\text{cm}^{-1}$ ; bei weiterem Wasserzusatz ist diese verschwunden. Wir sind überzeugt, daß die Bandenspaltung und ihre Diskussion bei der Polyacrylsäure auf Grund des IR-Spektrums nicht hätten führen können, wenn wir nicht die erstaunlichen Anomalien des Raman-Spektrums zur Verfügung gehabt hätten. Mit Bezug auf die Aufführung auf Seite 1 kommt man voraussehen, daß die C=O-Frequenzen, die den polaren Charakters im IR sehr stark und im RE schwächer und ungestört im RE-C=C-Doppelbindung wesentlich stärker und die polare C=O-Bindung schwächer kommen würden, wie dies das Beispiel des Vinylchlorids, Figure 17, zeigt.

Die spezielleren Untersuchungen im vorliegenden Fall zeigen deutlich, wie sich beide Methoden ergänzen und im Falle der C=O-Frequenz der Acrylsäure der RE weit überlegen ist, weil er Molekülstrukturen auch in Form von scharfen, gut getrennten Linien registriert. Wie man aus der IR-Aufnahme, Figure 18, sieht, ist die C=O-Bande in diesem Bereich sehr komplex. So fällt die Frequenz bei 1600  $\text{cm}^{-1}$  im IR völlig aus. Die Frequenz 1600  $\text{cm}^{-1}$  ist höchstens andeutet, während die 1728  $\text{cm}^{-1}$  mehrere Nebenbanden hat. Das darüber aufgezeichnete Ramanpektrum zeigt eine völlig klare Darstellung der drei Frequenzen 1660, 1690 und 1728  $\text{cm}^{-1}$ . Erst durch Anwendung beider Methoden war hier eine vernünftige Lösung herbeizuführen.

Nach unseren Ergebnissen können wir über die Struktur der Polyacryläräure folgendes aussagen:

Bei Zimmertemperatur ist Polyacrylsäure im konzentrierten Zustand weitgehend dimersiert. In diesem Falle könnte man von einer Verbindung zur durch H-Brücke sprechen, (siehe Figur 10), die jedoch bei höherer Temperatur weitgehend gelöst wird. Dieses Gleichgewicht ist sicher stark temperaturabhängig, wie wir es auch bei der monomeren Säure finden. Mithin beobachtet man an Erwärmungskurven tatsächlich ein schwaches, postuliertes unvernetztes Produkt, wie es von Jenekel und Braune<sup>1</sup> postuliert wurde. Auch die Schwerlöslichkeit von konz. Polyacrylsäure in Wasser bei niedriger Temperatur lässt sich mit dem gleichen Effekt erklären. W. Koen<sup>14</sup> glaubt, für das Unlöslichwerden der Polymerisat-Divinylverbindungen verantwortlich machen zu können, die sich bei der Herstellung der Acrylsäure gebildet haben sollen. Es ist bekannt, dass diese Verbindungen in Wasser von Divinylverbindungen genugig, um weitgehend unlöslich zu保持する。 Diese könnten unterhalb der spektroskopischen Erfassbarkeit liegen und die Beobachtung entgehen. Koen<sup>14</sup> macht dann noch wahrscheinlich, dass eine Beobachtung wahlweise der Polymerisation stattfinden kann. Diese Annahme ist mit spektroskopischen Mitteln zu widerlegen. Wir haben weder bei den monomeren Säure noch bei der Polyacrylsäure Linien oder Banden gefunden, die auf Akydrid hindeuteten. Für Acrylsäureanhydrid sind zwischen 1400 und 1800  $\text{cm}^{-1}$  als starke Linien zu erwarten 1634 (S, 1724 = S(4B), 1779 + 10 (4B). Vor allem müsste die Linie 1779  $\text{cm}^{-1}$  im Spektrum erscheinen, die wir in keinem Falle nachweisen konnten.

Weiterhin haben wir beobachtet, dass es nur dann möglich ist, die für die Dimerisierung charakteristische Bandenaufspaltung festzustellen, wenn reine weisse Acrylsäure polymerisiert wird. Nachträgliche Wasserzersetzung durch Trocken mit  $\text{P}_2\text{O}_5$  ergibt keine Aufspaltung. Wir machen deshalb mit allen Vorbehalt die Annahme, dass die H-Brückenbindungen während der Polymerisation nicht oder nur in beschränktem Umfang gelöst werden. Die Polymerisation würde sich dann wie in Figure 20 darstellen, auswirken.

Die bereits oben beschriebene Konjugation der C=C- $\rightarrow$ C=O-Bindung bei der Acyläsure bedingt eine Depression der C=O-Frequenz. Beim Übergang von mono- zu polymeren Acrylsäureestern wäre also (wegen Aufhebung der Konjugation zur C=O-Doppelbindung) ein Anstieg für die C=O-Frequenz zu erwarten, der auch experimentell mit etwa  $10\text{ cm}^{-1}$  gefunden wird. Durch die Polymerisation entstehen intermolekulare H-Brücken vorhanden sein können, wiederum, da solche eine starke Depression der C=O-Frequenz bedingen würden. Dass die Aufhebung der Konjugation nicht etwa die zu erwartende Depression durch H-Brücken übercompensieren kann, lässt sich durch das Verhalten der Methacrylatesester belegen. Hier ist eine solche H-Brücke nicht möglich. (S. Figur 17). Bei der Polymerisation (Aufhebung der Konjugation) müsste nun eine Exaltation der C=O-Frequenz in viel stärkerem Maße als bei den Acyläsureestern zu beobachten sein. Es tritt aber in beiden Fällen die gleiche Erhöhung ( $10\text{ cm}^{-1}$ ) ein, ein Zeichen dafür, dass in beiden Fällen keine überkompensierende H-Brücke vorliegen kann.

### Literature

- Literatur

  1. Dissertation M. Meischk, Dresden, 1956.
  2. Bresen Sheppard u. Simpson, *Trans. Roy. Soc. London*, **A247**, 35 (1954). Sheppard u. Simpson, *Quart. Rev. London*, **6**, 1 (1950); **7**, 19 (1953).
  3. Dipl.-Arb. G. Heintz, Dresden, 1957.
  4. T. Simanetti u. S. Misrahusin, *J. Chem. Phys.*, **17**, 1102 (1949).
  5. G. Gouba u. L. Thal, *Befreiheit zu Angew. Chem.*, **56**, 1948 (1940). Die Roman-Spektren von Oldenbourg.
  6. C. Bier u. Krämer, *Kunststoffe*, **46**, 498 (1956).
  7. Dipl.-Arb. D. Kunath, Dresden 1955.
  8. W. Schäfer, E. Böhm u. A. Klemm, *Makromol. Chem.*, **12**, 10 (1954).
  9. S. Flory, *J. Polym. Sci.*, **235**, 1293 (1957).
  10. M. J. Calanus u. S. Fénioux, *Compt. rend.*, **235**, 240 (1952).
  11. M. J. Calanus u. S. Fénioux, *Compt. rend.*, **235**, 1292 (1952).
  12. N. K. Roy, *J. Polym. Sci.*, **27**, 167 (1958).
  13. N. K. Roy, *J. Polym. Sci. Part B: Polym. Chem.*, **A15**, 405 (1940).
  14. W. Kern, *Kunststoffe*, **28**, 327 (1938).
  15. O. Leuchs, *Kunststoffe*, **45**, 323 (1955).

## Zusammenfassung

Zusammenfassung  
Es werden Untersuchungen über Anwendung von chemischen und optischen Methoden (Infrarot- und Raman-Spektroskopie) an monomeren Acryl- und Methacryl-äuren im festen Zustand und in der Lösung durchgeführt. Die unter dem Einfluss des Lichtes im festen Zustand sams fortsetzende Polymerisation einer Vinyl-acrylate-Probe wird über 1/4 Jahr lang spektroskopisch verfolgt. Es ergeben sich zwei Spektren, das des Monomeren und das des Polymeren, die sich in der Hauptgruppe deutlich unterscheiden; dass die Frequenzen der Vinyl-acrylate-Probe im Spektrum des Polymeren in den langwelligeren Parallelbereich verschieben treten. Eine verschiedene Verwendung der einzelnen Gruppen wird mitgeteilt. Das Vorhandensein einer schwachen C=C-Frequenz im Spektrum des polymerisierten Acrylates zeigt an, dass in diesem noch ein geringer Rest an Doppelbindungen vorhanden ist. Die Probe nach der Polymerisation dieses Acrylates kann durch Umstellen des umfangreichen Spektrums auf die einzelnen Monomeren bestimmt werden. Die polymeare Vinylic-acetate durch wiederholtes Lösen und fraktioniertes Fällen gezeigt und ein spektroskopiert. Trotz Verschwindens der C=O-Frequenz des Monomeren und leichter der C=C-Doppelbindung im Spektrum des Polymeren noch schwach erhalten bleibt, die Möglichkeit besteht, dies noch zu einem weiteren Monomer herzuholen. Diese Frequenz ihre Lage nicht ändert, lässt darauf schließen, dass es sich um endständige Doppelbindungen handelt. Vielseitige Variation der Bedingungen in der Polymerisation des Vinylic-acetates im Block unter Druck, in Druck und Lösung, sowie in Lösung in Lösung ergeben, dass viele neue Spektren entstehen, so dass das Aufheben der Polymerisationsbedingungen eine gleichzeitige abtrennung eines Teils Einsatz wechselnder Mengen an Katalysator kann von einem Einbau derselben in das Moleköl im Spektrum nichts bewirkt. Die Aufnahmen von Polyvinyl-acetate zeigen, dass die Doppelbindung, die das Spektrum der Polymeren bzw. des Lösungsmittels verändert wird, wahrscheinlich ein Vinylic-acetate-Monomer für die Volumen-zwischenmolekularen Kräften in diesen Lösungen erkennen. Im Gegenteil hierzu sind in der Acryl- und Polycrylicsäure, von der Raman- und Infrarotspektraten Aufgenommen, die die Unterscheidung zwischen saurer Wasserstoffbrücke und Polycrylicsäure als auch deren wässrige Lösungen herausgestellt, die zur Zeit der Arbeit noch unbekannte Strukturen diskutiert. Die Ergebnisse zeigen, dass auch bei der polymeren Säure eine Assoziation der Carboxyle zu beobachtet ist, die der von niedermolekularen Carbon-säuren entspricht, was sehr scheint. Die Unterscheidung der wasserfreien Polycrylicsäure, physische Form, Wasserstoffbrücke, die die Säure, sofern sie vertritt, entsprechend entspricht, wurde aus den spektroskopischen Daten, die durch Titration ergeben, dass Polycrylicsäure nach der Dialyse keine Doppelbindungen mehr kennt, nicht bestätigt werden. Für die Unterscheidung Wasserstoffbrücke in den Polycrylicsäuren kennt nicht bestätigt werden. Für die Unterscheidung der Wechselwirkungen zwischen Acryl- und Methacrylsäure wird die bei den Methacrylates vorhandene a-ständige Methylengruppe verantwortlich gemacht.

### **Discussion**

**M. V. Volkstein** (Leningrad): Professor Simon's Raman-Spektren, sind außerordentlich, aber ich glaube nicht, dass die Methoden der Raman-Spektroskopie in dem Gebiet der Hochpolymeren zur Zeit der Ultratronspektroskopie konkurriren können. Für die Raman-Spektroskopie ist es nötig spezielle Proben herzustellen, und sie ist auch nicht zur Untersuchung von technischen Polymeren geeignet, solang keine neue Methodik ausgearbeitet wird.

Die zweite interessante Frage, die Vibrationswellen der Polymeren, ist in folgendem: waren um das Spektrum des Polymerenkettenmodells der grösste Zahl der Freiheitsgrade im Kettensegment  $\text{CH}_2$  thermodynamisch einfach? In der Mitte Zahl von Vöhringen et al. (1961) und Lichtenhan (1961) wurde die Anzahl der Frequenzen und Intensitäten der Ramanstrahlung von der Kettenlänge berechnet und es wurde gezeigt, dass diese Anzahl im Bereich von 800-1200 cm<sup>-1</sup> linear mit der Kettenlänge wächst, aber, wie aus der Berechnung folgt, bestand nur die Annahme, dass die Kettenlängen unendlich wären. Auf diese Art wurden die ansehnlichen Intensitäten, die am Rand dieses Intervalls liegen. Auf diese Art wurden die Erscheinungen am Modell diskutiert.

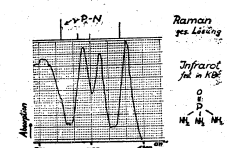


Fig. 1. Raman- und Infrarot-Spektrum des Phosphoroxytriamids.

STAT

STAT

Raman-Spektrum des Vinylacetats und Zuordnung	
	Int.
497	400
435	000
463	2
637	3 v b
707	1/2
849	2
879	2 ab
952	1/4
977	2
1139	2 b
1216	1 vb
1293	2
1372	3
1388	3
1388	3
1432	1/2 v ab
1622	00
1647	10
1758	4
2941	8
2998	3
3023	1/4
3048	2
3094	1
3126	2

Raman-Spektrum des Polyvinylacetats und Zuordnung

$\nu_{\text{cm}^{-1}}$	Int.	Zuordnung Kohl- rausch (204)	Brown, Sheppard u. Simpson <sup>29</sup>
368 403	0 b 0 b		
462	000		$\delta(\text{C}_\text{O})$
606	00		?
632	2		$\text{Kette c'}$
659 709 819	0 v $1\frac{1}{2}$ 0		
847	0		Kette c ?
882 909 942 974	1/2, b 000 000 00		
1024 1068 1083 1174	00 00 1/2, b 000		
1256	000		
1295	1/2		Kette e
1354 1379	1 b 1 b		$\nu(\text{C}=\text{C})$
1430	3		$\nu(\text{CH})$
1647	1		Kette f
1738	3 vt		Kette g
2176 2570 2870 2913	000 1 1 000		$\nu(\text{CH}_3)$ Pendel
2939	4		$\nu(\text{C}=\text{O})$
2970	1 000		Kette h
2988	1/2		$\nu(\text{CH})$
3022	1/2		Kette i
3091	000		$\nu(\text{CH}_3)$ Kipp o. Drill
			$\nu(\text{CH}_3)$ alleinst. $\nu(\text{CH}_3)$ sym.
			$\nu(\text{CH}_3)$ asynd. und $\nu(\text{CH}_3)$ Spreiz
			$\nu(\text{CH}_3)$ sym.
			$\nu(\text{CH}_3)$ asynd.
			$\nu(\text{CH}_3)$ sym.
			$\nu(\text{CH}_3)$ asynd.

Figure 2.

Figure 5

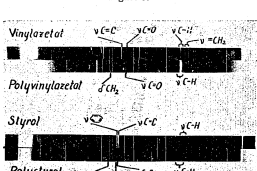


Fig. 4. Raman-Aufnahmen von mono- und polymerem Vinylacetat und mono- und mehrwertigen Stärken.

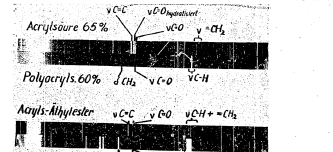


Fig. 6. Raman-Aufnahmen von mono- und polymerer Acrylsäure und mono- und polymerem Acrylsäureäthylester.

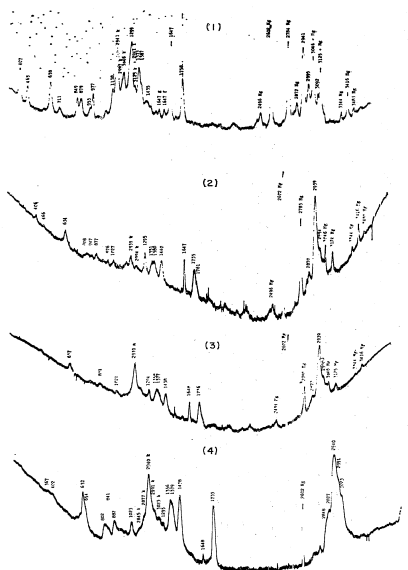


Fig. 7 Photometer-Aufnahmen von polymerisierendem Vinylacetat.

STAT

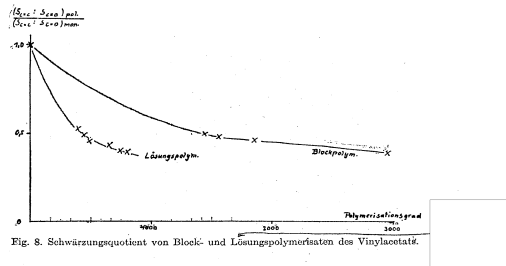


Fig. 8. Schwärzungsquotient von Block- und Lösungspolymerisaten des Vinylacetats.

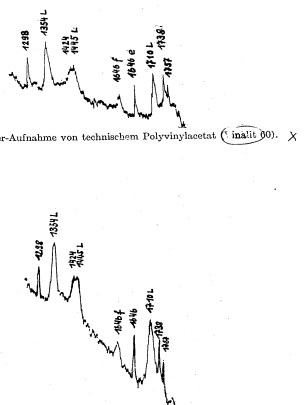


Fig. 10. Photometer-Aufnahme von technischem Polyvinylacetat (Vinalit 60) umgefällt.



Fig. 11. Photometer-Aufnahme von technischem Polyvinylacetat (Vinalit 60) nochmals umgefällt und fraktioniert.

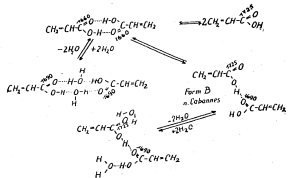


Fig. 12. Strukturen von Acrylsäure in wässriger Lösung.

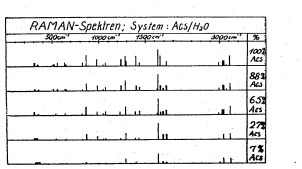


Fig. 13. Raman-Frequenzen beim Verdünnen von Acrylsäure mit Wasser.

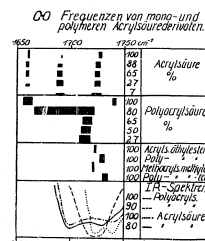


Fig. 15. C=O-Frequenzen von mono- und polymeren Acrylsäurederivaten

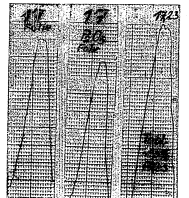


Fig. 16. Aufspaltung der C=O-Bande der 100% igen Polymethacrylsäure im Infrarot.

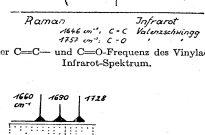


Fig. 17. Intensität der C=C- und C=O-Frequenz des Vinylacetats im Raman- und Infrarot-Spektrum.

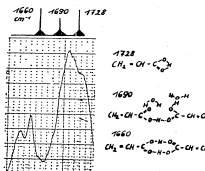


Fig. 18. Trennung der C=O-Frequenzen der Acrylsäure im Raman- und Infrarotspektrum.

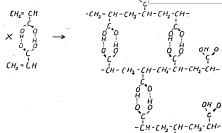


Fig. 19. Dimerisierte Polyacrylsäure

# Über den mechanochemischen Abbau von Zellstoff durch Schwingmahlung

STAT

H. GROHN, *Organisch-Chemisches Institut der Pädagogischen Hochschule Potsdam, Deutsche Demokratische Republik*

## 1. STAND DER FORSCHUNG

Der von P. Waentig<sup>1</sup> zuerst 1921 nachgewiesene, von H. Staudinger<sup>2</sup> und Mitarbeitern bestätigte Maßhabitus von Zellulosefasern wurde von K. Hess, H. Kiesig und J. Gundermann<sup>3</sup> sowie von K. Hess, E. Steurer und F. Fromm<sup>4</sup> und K. Hess und E. Steurer<sup>5</sup> unter Verwendung einer Schwingmühle näher untersucht.

K. Hess u. Mitarbeiter fanden, dass die Schwingmahlung von Zellulose und anderen Hochpolymeren neben vorwiegend mechanischen Wirkungen, die zu Gitterdeformationen führen, mechanochemische Bindungssprengungen hervorruft, die als besonderer, rein mechanisch bewirkter Molekülabbau selbstständig neben thermischen und chemischen Abbaureaktionen stehen. Auf Grund ihrer Untersuchungen über den Verformungsgrad und Verformungsmechanismus, konnen Hess und Mitarbeiter schließen,

und Verformungsmechanismus kamen Hess und Mitarbeiter zu der Auffassung, dass die Gitterdeformation durch Mahlen molekulärphysikalisch als eine Art "kalten Schmelzens" aufgefasst werden kann. Die Gitterdeformation durch Schwingmahlung wurde nicht nur bei hochmolekularen Stoffen, sondern auch bei einigen niedermolekularen Substanzen, z.B. Rohrzucker, gefunden.

Dagegen wurde die Molekülspaltung durch Schwingungsmahlung nur bei homogenmolekularen Stoffen, nicht jedoch bei Rohrzucker oder Maleinsäure, beobachtet. Hieraus und aus der Auffindung einer Vermahlbarkeitsgrenze schlossen Steurer und Hess, dass für den mechanoochimischen Molekülabbau die zwischenmolekularen Kräfte eine gewisse Mindestgrösse besitzen müssen, damit eine Beanspruchung des Moleküls durch Stoss zum Valentzbruch führt. Unterhalb dieser Grösse vermögen die Moleküle sich gegenseitig zu verschieben und dem Stoss auszuweichen. Die Vermahlbarkeitsgrenze ermittelten Hess und Mitarbeiter durch Langmahlversuche in einer Schwingungs- „Vibration“ allem Anschein nach unter Verwendung von Porzellankugeln. Hess hielt es zwar für möglich, dass bei Verwendung stärkerer Stoßintensitäten der Kugeln ein weitgehender Abbau möglich sei. Da er jedoch gefunden zu haben glaubte, dass die Dichte des Kugelmaterials (z.B. Porzellan oder Stahl) nur von untergeordnetem Einfluss auf die Geschwindigkeit und den Grad des Mahlbaus sei und da er trotz seiner richtigen Anerkennung, dass die Stoßwucht und damit die Abbaugeschwindigkeit bei kleineren Amplituden geringer wird, keine Versuche über den Einfluss der Schwingungsamplitude anstelle, widmeten sowohl Hess als auch spätere Forscher den mechanischen Faktoren keinerlei Aufmerksamkeit.

Aufmerksamkeit.  
Die weiteren Untersuchungen über den Mahlabbau von Zellulose durch E. Steurer,<sup>1</sup> E. Steurer und F. Katheder,<sup>2</sup> P. H. Hermans und A. Weidinger,<sup>3</sup> sowie H. Pötschke,<sup>4</sup> W. K. Stone,<sup>5</sup> J. W. Rowen und W. D. Appel<sup>6</sup> betrafen die Gitterstörung und die Veränderung des Kristallinitätsgrades des Zellulose I unter verhältnismäßig kurzer Schwingmahldauer. In den letzten Jahren haben N. K. Baumhöfen<sup>7,8</sup> und A. Berlin<sup>9</sup> wertvolle Untersuchungen über die Bedingungen und den Mechanismus des mechanischen Abbaus hochmolekularer Stoffe vorgenommen, die bestätigen, dass der Abbau von kohlenstoffkettenförmigen Polymeren vorzugsweise nach dem Radikalmechanismus, der von heterokekettigen Polymeren nach dem Ioneneinheitmechanismus, verlaufen kann. Wird der mechanische Abbau in Aavexensheit von chemisch reaktionsfähigen Stoffen, z.B. Luft oder Wasser, durchgeführt, so können neben dem mechanischen Cracken auch durch mechanische Einwirkung aktivierte chemische Reaktionen z.B. Oxidation oder Hydrolyse, stattfinden. Nachdem die Geschwindigkeit und Grad des Schwingmahlabbaus von der Schwingzeit, der Art des Mahlgutes, steigende Erhöhung des Kugelpulpaers und steigende Gewicht der einzelnen Kugeln erheblich beeinflusst wird, erhöht und die Vermahlbarkeitsgrenze herabgesetzt werden kann, wurde der mechanochemie Abbau der Zellulose, ebenso einer eingeschränkt, Untersuchungen unterzogen.

## 2. UNTERSUCHUNGSGEGERNISS

### 3.1 Abbaugeschwindigkeit und Abbaugrad

Trocken zerfaserte technischer Stoffzulstoffs mit einem Wassergehalt von 2% wurde in Schwingmühlen unter verschiedenen mechanischen Bedingungen mit 13 mm-Stahlkugeln bis zu 900 Stunden gemahlen. Dabei stieg der Wassergehalt des Zulstoffs während der Schwingmahlung in den ersten 24 Stunden auf etwa 3% an und blieb dann nahezu konstant. Der Abbau wurde durch Messung der Viskositätszahlen in Cuenlösung nach M. Marx<sup>13</sup> verfolgt.

Wie Diagramm 1 zeigt, sind Abbaugeschwindigkeit und Abbaugrad von den mechanischen Bedingungen der Schwingmahlung abhängig. Die Reihe Z 24 wurde unter sonst gleichen Bedingungen bei geringerer Stossgeschwindigkeit der Mahlkügelchen (Wahl, 13 mm Durchmesser) durchgeführt als die Reihe Z 23-22. Während Hess mit Porzellankugeln bei einer Mahlzeit von etwa 2000 Stunden einen DP-Wert von ca 30 erreichte, da er auf eine untere Grenze der Vermahlbarkeit bei unendlichen Mahldauern von  $DP = 27$  schloss, konnte mit Stahlkugeln nach 900 Stunden ein DP-Grenzwert von 11 erreicht werden.

Um in erster Annäherung einen Einblick in die Kinetik des mechanoochimischen Abbaus von Zellstoff zu erhalten, wurde der von Matthes<sup>15</sup> eingeführte Begriff des Spaltungsgrades  $S = 1/DP$  über Auswertung der viskosimetrisch ermittelten DP-Werte benutzt. Trägt man die Spaltungsgrade  $S$  in Abhängigkeit von der Molarhäufigkeit  $t$  bis zur Vermöglichkeitsgrenze in ein doppelt logarithmisches Koordinatensystem ein, so erhält man in rechte guter Annäherung für jede Molarreihe eine Gerade (Diagramm)

2), für die man die entsprechende Gleichung ermitteln kann. Wenn auch zur quantitativen Erfassung der Mahlreaktion ein Ausgangsprodukt nahezu einheitlicher Kettenlänge genommen und die Molekulargewichtsmöglichkeit osmometrisch—in kurzen Zeitabständen bestimmt werden müssten, so erlauben diese Befunde doch die Aussage, dass der mechanogenetische Abbau des Zellstoffs bei der Schwingmahlung gesetzmässig erfolgt,

## 2.2. Einfluss des Mahlgases

Vergleichsversuche an 48 Stunden unter sonst gleichen Bedingungen in Luft, Sauerstoff, Stickstoff und Wasserstoff als Mahlgas schwingmahlene Zellstoffproben zeigten die gleiche Abnahme der Viskositätszahl. Oxydative Einflüsse dürften somit bei dem mechanischen Abbau kaum eine Rolle spielen. Dem entspricht die Feststellung, dass der Karboxylgruppengehalt der Mahlprodukte nach der Reversible-Methylenblau-Methode von O. H. Weber<sup>14</sup> im Verlauf einer Zeostündigen Schwingmahlung in Luft von 0.07% nur auf 0.14% ansteigt (Diagramm 3).

Auch wenn man berücksichtigt, dass in diesem Stadium des Mahlabaus bereits etwa 1/3 der Zellulose wasserlöslich geworden ist und durch die Webersche Methode nicht erfasst wird, bleibt die auch von F.H. Forzati und Mitarbeitern<sup>9</sup> nach nur 8-Stündiger Schwingmahlung von Baumwolle aus dem Karboxylgruppengehalt der Mahlprodukte gezogene Schlussfolgerung gültig, dass der Mahlabbau im wesentlichen mechanischer Natur ist.

## 2.3. Reduktionsvermögen der Mahlprodukte

Durch Bestimmung der Cu-Zahlen nach W. A. Richardson, R. S. Higginbotham und P. D. Eason<sup>15</sup> wurde das Reduktionsvermögen  $R_{Cu}$  der Mahlprodukte ermittelt, bei dem Auswertung berücksichtigt ist, dass sich die Cu-Zahlen (1932) und 5 Jahre später (2005) in einem Misserhaltungsstadium, das zur Überoxidation geführt lässt. Daraus erklärt es sich, dass die auf der Basis der Cu-Zahl für Mahlprodukte nach der Formel  $DP = (2 \times 2055)/R_{Cu}$  aus den gefundenen Cu-Zahlen für die Mahlprodukte errechneten DP-Werte merklich niedriger liegen als die viskosimetrisch ermittelten. So ergibt sich z.B. der DP-Grenzwert nach einer Mahldauer von 900 Stunden aus der Cu-Zahl zu etwa 7, statt 11 aus der Viskositätszahl. Wenn man die  $R_{Cu}$ -Werte graphisch gegen den Spülungsgrad  $S_{10^2}$  aufträgt, so kann man trotz der methodisch bedingten Streuung auf lineare Abhängigkeit schließen und daraus folgern, dass der mechanoochemische Abbau von Zellulose unter den gewählten Bedingungen der Schwingmahlung im Sinne von N. K. Bamboim<sup>16</sup> und A. A. Berlin<sup>17</sup> als eine mechanisch aktivierte Hydrolyse angesehen werden kann. Der Wassergehalt der Zellulose betrug zwar zu Beginn der Schwingmahlung nur 2%, stieg jedoch infolge der bekannten, z.B. von Forzati u. a.<sup>9</sup> beobachteten Hygrokopizität schwingmahlener Zellulose während der mechanischen Behandlung auf etwa 5% an, so dass eine durch mechanische Einwirkung aktivierte Hydrolyse gewährleistet sein durfte. L. F. McBurney<sup>18</sup> wandte gegen die Annahme von K. H. Meyer<sup>19</sup> dass der mechanoochemische Abbau wasserlöslicher Zellulose als Hydrolyse verläuft, ein, dass die Abbaugeschwindigkeit nach Befunden von K. Hess unabhängig von der Temperatur ist, während alle hydrolytischen Reaktionen ziemlich hohe Temperaturabhängigkeit aufweisen. Beträumt man jedoch mit N. K. Bamboim<sup>16</sup> die Hydrolyse unter Schwingmahlung als eine mechanisch aktivierte thermische Reaktion, dann entfällt dieser Einwand. Ob in Anwesenheit von Wasser der Kettenabbruch im Bilden eines Makromoleküls als selbstständiger Primärakt von sich geht, denn als Sekundärreaktion die Umsetzung mit den Ionen des Wassers folgt, oder ob eine molekulare Wechselwirkung des Wassers mit den glykosidischen Bindungen den mechanischen Kettenabbruch erleichtert, so dass die heterolytische Bindungssplittung unmittelbar mit der Anlagerung der Ionen des Wassers verbunden ist, lässt sich dabei nicht entscheiden.

## 2.4. Wasserlöslichkeit und Rekristallisierbarkeit der Mahlprodukte

Die Löslichkeit der Mahlprodukte in kaltem Wasser steigt mit fallendem DP erst langsam, dann schnell bis auf 90% (Diagramm 5), ein Zeichen dafür, dass die Bindungsspaltung nicht von den Kettenenden her erfolgt. Cu-Zahlen und Wasserlöslichkeit stehen in linearer Abhängigkeit (Diagramm 6).

Damit dürfte die von Hess, Steurer und Fromm<sup>4</sup> beobachtete und an den Langmahlprodukten dieser Versuchsreihe erneut bestätigte Tatsache im Zusammenhang stehen, dass die am stärksten mechanisch abgebauten Zellstoffproben nach der Behandlung mit siedendem Wasser die Interferenzen der Hydratzellulose am deutlichsten zeigen. Nur ein geringer Teil der Zellulose, der ursprünglich den höchsten Kristallinitätsgrad besaß, widerstehst dem mechanischen Abbau und wird bei der Behandlung mit Wasser unter Herauslösen aller aus den weniger orientierten Anteilen entstanden niedermolekularen Abbauprodukte rekristallisiert.

Diese Mitteilung beruht in ihrer ersten Hälfte auf Teilergebnissen der Diplom-Arbeit von Fred Schmitz.

## Literatur

- (1) P. Wenzig, *Textil-Forsch.*, **3**, 154 (1921); *Kolloid-Z.*, **41**, 152 (1927).
- (2) H. Staudinger, E. Dreher, *Ber.*, **69**, 1001 (1936).
- (3) K. Hess, H. Kiesig u. J. Gundermann, *Z. physik. Chem.*, **B49**, 64 (1941).
- (4) K. Hess, E. Steurer u. H. Fromm, *Kolloid-Z.*, **98**, 148-159 (1942).
- (5) K. Hess u. E. Steurer, *Z. physik. Chem.*, **193**, 234, 248 (1944).
- (6) E. Steurer, *Z. Naturforsch.*, **2B**, 273 (1947).
- (7) K. Hess u. E. Kochendorfer, *Kolloid-Z.*, **114**, 78 (1949).
- (8) P. H. Hermans u. A. Weidinger, *J. Am. Chem. Soc.*, **68**, 2547 (1946).
- (9) F. H. Forzati, W. R. Stone, J. R. Rowen u. W. D. Appel, *J. Research Natl. Bur. Standards*, **45**, 109 (1950).
- (10) K. H. Meyer, Bericht über Autorenfeier der Dissertation *Der mechanische Abbau hochmolekularer Zellulose*, Moskau 1935 (russ.); Wiss. Arbeiten des Moskauer Technologischen Instituts für Leichtindustrie Kaptonitisch, **7**, 53 (1935) (russ.); Chemische Umwandlungen von Polymeren unter der Einwirkung mechanischer Kräfte, in Thesen der Vorträge der IX. Konferenz zu allgemeinen Fragen der Chemie und Physik hochmolekularer Verbindungen, Akad. d. Wiss. UdSSR, Abt. Chem. Wiss., Moskau 1956, S. 105-106 (russ.).
- (11) A. A. Berlin, *Ber.*, **110**, 401 (1956).
- (12) H. Groh, bisher unveröffentlichte Untersuchungen.
- (13) M. Marx, *Makromol. Chem.*, **16**, 157 (1955).
- (14) O. H. Weber, *J. prakt. Chem.*, **141**, 157 (1931); *Papier*, **9**, 16 (1955).
- (15) J. M. Matthes, *Kolloid-Z.*, **98**, 310 (1942).
- (16) W. A. Richardson, R. S. Higginbotham u. F. D. Farrow, *J. Textile Inst., Trans.*, **27**, 131 (1936).
- (17) L. F. McBurney, in E. Ott, H. M. Spudia u. M. W. Griffin, *Cellulose and Cellulose Derivatives*, Vol. I, Interscience, New York-London, 1955, S. 915.
- (18) K. H. Meyer, *Natural and Synthetic High Polymers*, Interscience, New York-London, 1959, S. 398.

## Zusammenfassung

1. Geschwindigkeit und Grad des mechanoochemischen Abbaus von wasserlöslichen Zellstoffen sind von den mechanischen Bedingungen der Schwingmahlung abhängig. Nach 48 Stunden wurde ein DP-Wert von 11 (Viskositätszahl) bzw. 7 (Gesamtvermögen) erreicht. 2. Das lineare Ansteigen der Cu-Zahlen mit dem viskosimetrisch ermittelten Spaltungsgrad berechtigt zu dem Schluss, dass der mechanoochemische Abbau von wasserhaltigem Zellstoff im wesentlichen als mechanisch aktivierte Hydrolyse verläuft. 3. Die Wasserlöslichkeit der Mahlprodukte steigt mit fallendem DP kontinuierlich an und erreicht nach 48 Stunden ein Maximum, was die Bindungsspaltung nicht von den Kettenenden her, sondern vorwiegend zwischen mittleren Kettengliedern. 4. Die bisher unbekannte geringe Wasserlöslichkeit mechanisch abgebauter Zellulose erklärt ihre gute Rekristallisierbarkeit. Nur der wasserlösliche Anteil, der vor dem Abbau den höchsten Kristallinitätsgrad besaß, wird nach dem Herauslösen aller aus den weniger orientierten Anteilen entstandenen niedermolekularen Abbauprodukte rekristallisiert.

## The Problem of Polymer Coacervation

ANDRZEJ BRODE and MARIA B. CHODKOWSKA, Institute of Synthetic Fibers, Łódź, Poland

The purpose of the present paper is to describe general relations between the state of the precipitated phase and the properties of a polymer-liquid system at thermodynamic equilibrium. We have found that an analysis of the problem enables us to make a simple explanation of certain problems connected with coacervation.

Rüngenberg de Jonge und Kruyt<sup>1</sup> use the term, coacervates, for such colloidal systems which are not entirely dissolved in an excess of solvent. The scientific literature presents further explanations with regard to the mechanism of obtaining coacervates. Our present considerations have been restricted to the origin of the thermodynamic equilibrium states only.

In the case of the x-mer-liquid system, the concentrations of the x-mer in both phases of the system are the roots of the system of equations (1) and (2),

$$\ln \frac{1 - v'_2}{1 - v_2} + \left(1 - \frac{1}{x}\right) (v'_2 - v_2) + X_1 (v'_2 - v_2) (v'_2 + v_2) = 0 \quad (1),$$

$$\ln \frac{v'_2}{v_2} + (x - 1) (v'_2 - v_2) - x X_1 (v'_2 - v_2) (2 - v'_2 + v'_2) = 0 \quad (2),$$

where  $v'_2$  and  $v_2$  are the volume fractions of the x-mer in both phases of the system,  $x$  is the degree of polymerization of the x-mer, and  $X_1$  is the Flory-Huggins constant.

The system of equations (1) and (2) cannot be solved by normal mathematical methods. Calculation of the x-mer concentrations in both phases of the system is possible, for given values of the degree of polymerization and of the Flory-Huggins constant, by approximate numerical methods or graphical methods of solving the equations. The relation between the x-mer concentrations in both phases and the polymerization degree for the value  $X_1 = 0.6$  is shown in Figure 1.

This relation has two horizontal asymptotes to which the values of the x-mer concentrations approach when the polymerization degree tends to infinity; the limiting values of x-mer concentrations in both phases of the system are defined according to it:

$$\lim_{x \rightarrow \infty} (v'_2) = v'_\infty = 0$$

and

$$\lim_{x \rightarrow \infty} (v'_2) = v'_\infty \quad (3).$$

Equations (1) and (2) can be transformed into the forms (4) and (5), when the polymerization degree of x-mer is equal to infinity.

$$\ln(1 - v'_\infty) + v'_\infty + X_1 (v'_\infty)^2 = 0 \quad (4),$$

$$f(X_1) + v'_\infty + X_1 (1 - v'_\infty)^2 - X_1 = 0 \quad (6),$$

where the function  $f(X_1)$  is equal to:

$$f(X_1) = \lim_{x \rightarrow \infty} [\ln(v'_2/v_2)/x] \quad (6)$$

Solution of equation (5) with respect to the x-mer concentration in the precipitated phase gives us the following relation of the concentration  $v'_\infty$  with respect to the Flory-Huggins constant:

$$v'_\infty = \frac{X_1 - 1/x}{X_1} + \sqrt{\left(\frac{X_1 - 1/x}{X_1}\right)^2 - \frac{2}{X_1} f(X_1)} \quad (7)$$

In the case of the x-mer-liquid system containing x-mer at an infinitely high polymerization degree, the system tends to separate into two phases, when the Flory-Huggins constant is  $> 1/2$ . The ranges of concentration  $v'_\infty$  (8) and of the function  $f(X_1)$  (9) with respect to the Flory-Huggins constant follow from an analysis of the system of equations (4) and (5). For

$$X_1 = 0.5$$
 we obtain  $v'_\infty = 0$ , and for  $X_1 = \infty$  we obtain  $v'_\infty = 1$  (8).

$$f(1/x) = 0 \quad \text{and} \quad \lim_{x \rightarrow \infty} \left[ \frac{2}{x} f(X_1) \right] = 1 \quad (9).$$

Dependence of the concentration  $v'_\infty$  on the Flory-Huggins constant is shown in Figure 2.

A dependence analogous to that in equation (7) may also be obtained in the case of the polydisperse polymer-liquid system and the x-mer-solvent-nonsolvent system. In the case of the polydisperse polymer-liquid system, the forms of the equations defining the phase equilibrium will be (10) and (11), as follows from the equation for the free energy of the polydisperse polymer in the polymer-liquid system derived by us.<sup>2</sup>

$$\ln \frac{1 - v'_2}{1 - v_2} + v'_2 \left(1 - \frac{1}{x'}\right) - v'_2 \left(1 - \frac{1}{x''}\right) + X_1 (v'_2 - v'_2) (v'_2 + v_2) = 0 \quad (10)$$

$$\ln \frac{v'_2}{v_2} + v'_2 (x' - 1) - v'_2 (x'' - 1) + X_1 [x'(1 - v'_2)^2 - x''(1 - v'_2)^2] + \frac{x'' - x'}{x''} = 0 \quad (11)$$

for  $x_0 \rightarrow \infty$  we obtain the system of equations (12) and (13):

$$\ln(1 - v'_\infty) + v'_\infty + X_1 (v'_\infty)^2 = 0 \quad (12)$$

$$f(X_1) + v'_\infty + X_1 (1 - v'_\infty)^2 - X_1 \lim_{x \rightarrow \infty} (x''/x') + x'' - x' = 0 \quad (13)$$

where:

$$f(X_1) = \lim_{x \rightarrow \infty} \left[ \ln \left( \frac{v'_2/v_2}{x'} \right) \right] \quad (14)$$

$$\lim_{x \rightarrow \infty} (x'/x'') < 1; \quad x' \geq x_0 \geq x'' \quad (15)$$

$$x' = \sum_x \left\{ f_1(x) \ln \left[ f_1(x) \frac{x'}{x''} \right] \right\}, \quad x'' = \sum_x \left\{ f_2(x) \ln \left[ f_2(x) \frac{x''}{x'} \right] \right\} \quad (16)$$

$x_0$ ,  $x'$ , and  $x''$  are the polymerization degrees of the initial polymer and the two polymer fractions, respectively, and  $f_1(x)$  and  $f_2(x)$  are the distribution functions of polymer fractions.

This analysis leads to a relation analogous to that of equation (7) which was deduced for the x-mer-liquid system.

The analysis of phase equilibrium of the x-mer-solvent-nonsolvent system has not been given because the relation of the free energy of the x-mer in this system may be transformed into a form analogous to that for the free energy of x-mer in the x-mer-liquid system by substitution of equation (17):

$$X_1 = x_{23} + (1 - r) X_{13} - r(1 - r) X_{12} \quad (17)$$

where (1) designates nonsolvent; (2), solvent; and (3), polymer;  $X_{12}$ ,  $X_{13}$ , and  $X_{23}$  are the Flory-Huggins constants for the corresponding binary systems, and  $v$  is the volume fraction of solvent in the liquid (in the mixture of a nonsolvent and a solvent).

Equation (7) and the analogous equations which may be formulated for the polydisperse polymer-liquid and  $x$ -mer-solvent-nonsolvent systems show that, for a spontaneous linear polymer, we can obtain a system in which the precipitated phase will be a liquid phase and the state of this phase is in agreement with Kruyt's definition.

The analysis of the function  $\psi(x)$  with respect to the Flory-Huggins constant shows continuity and strict monotonicity with change of the value of  $\psi$  with respect to  $X_1$ . It follows that any precipitated phase in the polymer-liquid system is a swollen polymer and that the polymer concentration in the precipitated phase depends on the Flory-Huggins constant and this relation is continuous and strictly monotonic.

On this basis, we can assert that, from the thermodynamic point of view, a spontaneously precipitated phase can be considered to be a liquid polymer solution which satisfies Kruyt's definition.

On the basis of these considerations it can be said that the phenomenon of precipitation of any new phase in the polymer-liquid system ought to be reconsidered as a continuous and strictly monotonic phenomenon with regard to the polymer concentration in the precipitated phase. It seems that isolation of coagulation as a separate phenomenon is not proper because we cannot define limits between coagulation phenomena and those associated with precipitation of a phase which is not a coagulate.

To obtain a system in which the separation into two liquid phases takes place, the following conditions have to be satisfied:

1. The value of the Flory-Huggins constant should be a little greater than its critical value  $X_c$ :

$$X_c = \frac{1}{2} \left( 1 - \frac{1}{\sqrt{z}} \right)^2 \quad (18)$$

2. The most convenient polymer concentrations are concentrations near the critical value of polymer volume fraction  $v_c$ :

$$v_c = \frac{1}{1 + \sqrt{z}} \quad (19)$$

In order to test these considerations experimentally, we have investigated phase equilibrium of the systems: acetone-methanol-benzene-polystyrene and ethanediol-water-phenol-polyamide (the system ethanediol-water-phenol-polyamide was also investigated by Turska and Laczkowski).<sup>3</sup>

Only in the case of the system ethanediol-water-phenol-polyamide for values of  $(v_1 + v_2)$  greater than 0.95 was it impossible to obtain a separation into two liquid phases. In these cases, the difficulties resulted from the great tendency for gelation in the system to occur and from the very long time required to establish phase equilibrium.

On the basis of a thermodynamic analysis of the phase equilibrium of polymer-liquid systems, we think that it is possible to obtain separation of the system into two liquid phases for any linear polymer. It seems desirable to consider the problem of new phase precipitation without isolation of coagulation as a special type of phenomenon.

#### References

- (1) H. G. Bungeberg de Jong and H. R. Kruyt, *Kolloid-Z.*, **50**, 39 (1930).
- (2) A. Broda and M. B. Chodkowska, *J. Polymer Sci.*, in press.
- (3) E. Turska and M. Laczkowski, *J. Polymer Sci.*, **103**, 255 (1957).

#### Synopsis

The relation between concentration of polymer in the precipitated phase and the properties of the system are derived. This relation indicates that for any polymer, a separation into two liquid phases which agrees with Kruyt's definition of coagulates can be obtained. It is suggested that it is not always correct to distinguish coagulation as a special phenomenon. The experimental results of investigation of the systems: ethanediol-water-phenol-polyamide and acetone-methanol-benzene-polystyrene are presented.

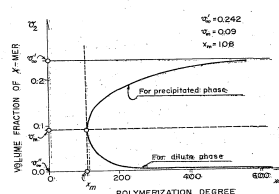


Fig. 1. Relation between polymer concentrations in the phases and the degree of polymerization for the  $x$ -mer-liquid system ( $X_1 = 0.6$ ).

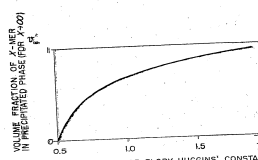


Fig. 2. Relation between the polymer concentration in the precipitated phase and the Flory-Huggins constant for the system.

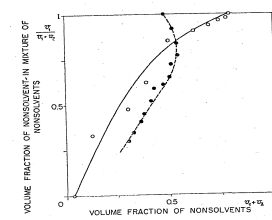


Fig. 3. Characteristic of precipitating points for two nonsolvent-nonsolvent-solvent-polymer systems. (○) Acetone-methanol-benzene-polystyrene,  $v_1/v_2 = 0.03$ . (●) Ethanediol-water-phenol-polyamide,  $v_1/v_2 = 0.1$ .

## Structure and Photochemical Behavior of Nucleic Acids and Related Components

D. SHUGAR and K. L. WIERZCHOWSKI, *Institute of Biochemistry and Biophysics, Academy of Sciences, Warsaw, Poland*

The reversible ultraviolet photolysis of uracil and cytosine, various substituted derivatives of these compounds and, particularly, their nucleosides and nucleotides<sup>1-8</sup> is of considerable interest in relation to the photochemistry of nucleic acids and especially with regard to the phenomenon of photoreactivation. Photolysis of purine derivatives unsubstituted in the 5, 6 positions may also prove useful for the preparation of new compounds.<sup>7</sup>

It has been demonstrated fairly conclusively that, in the case of uracil and its N-methylated nucleoside and nucleotide derivatives, the photochemical reaction involves the addition of a water molecule across the 5:6 double bond, resulting in the disappearance of the characteristic absorption maximum.<sup>7-9</sup> The resulting unstable 5-hydroxy-6-hydroxy compound reverts to the original substance under the influence of acid, alkali, or heat. Indirect evidence has been presented to show that a similar reaction takes place during the photolysis of nucleosides and nucleotides of cytosine.<sup>4,6,7,8</sup> (If wavelengths shorter than 2337 Å. are used for irradiation, the reaction may be quite different and no longer reversible. Sufficiently high intensities of irradiation also reduce the degree of reversibility of the reaction as a result of the photo-product (*cf.* reference 6).)

For these latter compounds, however, the disappearance of the principal absorption maximum in the neighborhood of 2700 Å. is accompanied by the simultaneous formation of a new maximum at about 2360 Å. The fact that cytosine nucleosides and nucleotides normally exhibit this latter maximum to a small but varying degree, even before irradiation,<sup>10</sup> while 1-methylcytosine does not at any time, suggests the existence of some interaction between the pyrimidine and carbopyrimidine rings other than that involving the glycosidic linkage. An examination of the quantum yields for various nucleosides and nucleotides, as well as the general course of the photochemical reaction for each of them, suggested that this interaction is of the nature of hydrogen bonding and that it involves O<sub>2</sub>, the oxygen in the 2-position of the pyrimidine ring, and the 5'-hydroxyl of the carbohydrate moiety. However, our findings did not make it possible to eliminate unequivocally participation of the 2' and 3'-hydroxyls of the carbohydrate ring.<sup>7</sup>

We have therefore examined the behavior of several additional isomers of the cytosine nucleotides with a view to drawing more definite conclusions as to the above hypothesis. (The spectra of these compounds, which are of some interest in relation to the structure of cytosine nucleosides and nucleotides in aqueous solution, will be presented elsewhere.) These results also provide additional data which should prove of use in the interpretation of the photochemical behavior of polynucleotides and, in particular naturally occurring nucleic acids. Simultaneously, we have been extending our observations on the photochemistry of nucleic acids,<sup>8</sup> some results of which are also included.

### EXPERIMENTAL

#### Materials

Some of the compounds used have been previously described. We are indebted to the following for their generosity in making various products available: Dr. M. Enrea for cytidine-2'-phosphate and cytidine-3'-phosphate; Dr. L. A. Hoppel for cytidine-2',3'-phosphate and uridine-2',3'-phosphate; the Sigma Chemical Co. for a sample of cytidine-5'-phosphate. All these compounds were checked chromatographically, each with two or more solvents. Uridine-3'-phosphate was prepared by the action of ribonuclease on uridine-2',3'-phosphate.

Yeast ribonucleic acid was either commercial grade (Merck) used without further purification, or prepared according to the procedure of Chantrenne<sup>11</sup> or nucleic A. Diaminonucleic acid was prepared from nucleic A by the procedure of Brederick, as outlined by Vandendriessche.<sup>12</sup> The spinach nucleic acid included samples prepared according to the methods of Tamm *et al.*<sup>13</sup> Durand and Thomas,<sup>14</sup> as well as samples prepared according to the latter procedure and reduced according to the technique of Hurten *et al.*<sup>15</sup> We are indebted to A. Adamiec of this laboratory for his cooperation in the preparation of some of these products.

#### Methods

The experimental procedure was largely as previously described.<sup>7</sup> Except where otherwise indicated, irradiation was through an acetic acid filter such that all radiation below 2400 Å. was cut off. Quantum yields were calculated from the decrease in the absorption of the principal maximum over short time intervals such that changes due to the backward reaction could be ignored or allowed for. The change in absorption at 2337 Å. during irradiation was taken into account in calculating the amount of light absorbed during irradiation.

All spectral measurements were made with a Soviet SF-4 spectrophotometer. A Radiometer pH meter was used for controlling pH with the glass electrode.

### RESULTS AND DISCUSSION

#### Photochemistry of Isomeric Cytidylic Acids

In general, the change in absorption spectra resulting from the irradiation of 2', 3', and 5'-as well as 2', 3'-cytidylic acids in the pH range 7-10.5, is qualitatively similar for all these compounds and resembles the behavior of cytidine under similar conditions of irradiation, *i.e.*, disappearance of the principal absorption maximum at 2700 Å. and formation of a new maximum in the neighborhood of 2360 Å.<sup>1-7</sup> The reaction can be reversed in the dark by acid, alkali, or heat or spontaneously at room temperature. Figure 1 illustrates the behavior of cytidine-5'-phosphate.

Quantitatively, however, cytidine-5'-phosphate differs in behavior from the other isomers (excluding, for the moment, desoxycytidylic acid, which is included in Table I for purposes of comparison) in that its quantum yield is about 50% lower while the extinction coefficient of the new maximum at 2360 Å. due to the photo-product is also lower. For the other compounds, marked differences in behavior are evident only in the backward reaction which, in neutral medium at room temperature (about 23°C.), follows a first-order course with a rate which is highest for cytidine-2'-phosphate

and for which  $t_{1/2}$  is 70 min. For cytidine-3'-phosphate and cytidine-2',3'-phosphate, the rate of the reverse reaction is approximately 40% of that for cytidine-2'-phosphate. For cytidine-5'-phosphate,  $t_{1/2}$  for the backward reaction under the same conditions is about 50 min.

TABLE I  
Quantum Yields,  $\Delta \times 10^{-3}$ , for Cytidylic Acids at Neutral pH

2'	3'	5'	Cyclic 2,3'	2'-Desoxy- 5'
14.1	9.5	5.2	11.5	3.0

Chromatographic examination of cytidine-2',3'-phosphate, following extensive irradiation and then allowing the dark reaction to go to completion, showed that the cyclic phosphate linkage is not appreciably affected by the primary reaction. Only about 2-3% of the cyclic compound is found as cytidic acid, presumably as a mixture of the 2' and 3'-isomers.

The quantitative differences in photochemical behavior between cytidine-5'-phosphate and the remaining isomers is in favor of our former suggestion of hydrogen bonding between O<sub>2</sub> of the pyrimidine ring and the 5'-hydroxyl of the furanose ring, previously based on the differences in behavior between desoxycytidine-5'-phosphate and a mixture of the 2' and 3'-phosphates of cytidine.<sup>7</sup> However, since the quantum yields for both cytidine-5'-phosphate and desoxycytidine-5'-phosphate are still markedly higher than for cytosine and 1-methylcytosine, while the photoproducts of the former also exhibit a clearly-defined maximum at 2360 Å., although with a lower extinction than for the other cytidylic acids, it appears that the postulated intramolecular hydrogen bonding may, in fact, also involve the other carbohydrate hydroxyls.

A comparison of the results for the two 5'-cytidylic acids shows that the differences between them, as regards photochemical behavior, are similar to those between the two groups of compounds previously examined, *viz.*, cytosine and 1-methylcytosine on the one hand, and cytosine nucleosides and nucleotides on the other. The quantum yield for cytidine-5'-phosphate is almost twice that for desoxycytidine-5'-phosphate, while the extinction of the new maximum at 2360 Å. is also higher for the former. It would, therefore, follow that the intramolecular O-H...O<sub>2</sub> hydrogen bond is stronger than O<sub>2</sub>(OH)<sub>2</sub>, both however, being weaker than O<sub>2</sub>(OH)<sub>3</sub>.

The photolysis of uridine-2',3'-phosphate is very similar to that for the isomeric 2' and 3'-uridylic acids as regards changes in absorption spectra, quantum yields, and reversibility. However the backward reaction is, in this case, considerably faster than for 3'-uridylic acid. In general, the backward reaction at neutral pH and room temperature is much more rapid for all cytidylic acids than for the uridylic acids, so that isolation of the photoproducts for the purpose of its characterization is no simple matter. In the case of the uridylic acids, Sinsheimer<sup>2</sup> found that the backward reaction for the 3'-isomer is considerably more rapid than for the 2' isomer.

We have confirmed this result by comparing the reverse reaction for a mixture of 2' and 3'-uridylic acids with that for 3'-uridylic acid. Surprisingly enough, however, we find that the reverse relationship holds for the corresponding cytidylic acid isomers (see above).

#### Photolysis of Nucleic Acids

The implications of the above results to the photochemistry of nucleic acids are obvious. It is of some interest that, although the phenomenon of photoreactivation<sup>16</sup> was reported in the same year as that in which Sinsheimer and Hastings<sup>1</sup> first observed the reversible photolysis of uridylic acid, no serious efforts appear to have been made to test nucleic acids for recovery following irradiation, although it is now known that they are in most instances, at least, the immediate receptors of ultraviolet radiation leading to a variety of biological effects. On the contrary, photochemical studies on nucleic acids published to date concern themselves with the destructive effects resulting from irradiation with sufficiently high intensities to produce major changes.

We have previously pointed out that it is the uracil and cytosine nucleotides in nucleic acids which are photolyzed with the highest quantum yields and that these are also the only nucleic acid components which exhibit the phenomenon of reversibility.<sup>7</sup> One might, therefore, expect that irradiation which does not cause too much damage to the nucleotide chains would affect principally the uracil and cytosine nucleotides, and that some degree of reversibility may subsequently be possible. In most cases, photoreactivation has been achieved by exposure to visible light, and it is quite conceivable that this involves some photosensitization mechanism responsible for reversing the effects of photolysis of uracil and cytosine nucleotides. That such a mechanism is possible is demonstrated by the photosensitized reversal of the photolysis of DPN.<sup>17</sup> The fact that the photolysis of pyrimidine nucleotides can also be reversed by heat at neutral pH is in accord also with the reversal of photolysis effects on some living organisms produced merely by increasing the temperature following irradiation.<sup>18</sup>

Qualitatively, therefore, one could theoretically envisage photoreactivation as being linked with the reversible photolysis of the pyrimidine nucleotide components of nucleic acids. We had earlier reported some results tending to support such a hypothesis, and we have now extended these observations.

We have selected apurinic acid for more detailed studies because this provides us with a polynucleotide chain deprived of purines and containing only one component which is known to exhibit reversible photolysis, *i.e.*, desoxycytidylic acid, while the other component, thymidylic acid, has a much lower quantum yield.<sup>2,7</sup>

Our investigations have embraced different preparations of apurinic acid as mentioned above, but, since the behavior of all of them is similar, we shall not discuss in detail the differences in properties of these different preparations, which will form the subject of a separate communication.<sup>19</sup>

For the various preparations of the acid, as well as the course of the photolytic reaction in an aqueous medium at pH 7, we find basically the same (see Figure 2), as judged by the changes in absorption spectrum. The reaction is about 50% reversible, although accompanied by an increase in absorption at shorter wavelengths somewhat above the initial value.

In alkaline media, the primary photochemical reaction is similar to that in neutral media in so far as changes in the absorption spectrum are concerned. However, the rate of photolysis is 50% lower, and the dark reaction, resulting in a 40% recovery of the loss in absorption at 2680 Å., is here accompanied by a decrease in absorption at shorter wave lengths. In acid media, the primary photochemical reaction is again similar to that in

STAT

STAT

STAT

STAT

69527 Jour Polymer Science - Inserts II copy 107- gal 4 - S on 10 A-SA by 27 P - 5-23-58  
 2-31RD  
 PROD NO P-122-SHUGAR & WIERZCHOWSKI

## References

1. R. L. Staschinski and R. Hastings, *Science*, **110**, 525 (1949).
2. R. L. Staschinski, *Radio Research*, **1**, 505 (1954).
3. A. M. Moore and C. H. Thompson, *Science*, **122**, 594 (1955).
4. K. Wierzchowski and D. Shugar, *Annual Congress "Chemische Gesellschaft DDR"*, Leipzig, 1956 (in press).
5. D. Shugar and K. Wierzchowski, *Biochim. et Biophys. Acta*, **23**, 657 (1957).
6. D. Shugar, *Biochim. et Biophys. Acta*, **121** (1957).
7. K. L. Wierschowski and D. Shugar, *Biochim. et Biophys. Acta*, **25**, 355 (1957).
8. A. M. Moore and C. H. Thompson, *Proc. Internat. Conf. Radiobiol.*, **4th Conf. Cambridge 1955**, Oliver and Boyd, Edinburgh, 1956.
9. S. Y. Wang, M. Apicella, and B. R. Stone, *J. Am. Chem. Soc.*, **78**, 4180 (1956).
10. A. M. Moore, *Biochim. et Biophys. Acta*, **9**, 369 (1952).
11. H. Chantrene, *Bull. soc. chim. Belg.*, **55**, 5 (1946).
12. L. Vandendriessche, *Compt. rend. trav. lab. Carlsberg. Ser. chim.*, **21**, 341 (1951).
13. C. Tamm, M. E. Hodges, and E. Chargaff, *J. Biol. Chem.*, **195**, 49 (1952).
14. J. Durand and R. Thomas, *Biochim. et Biophys. Acta*, **12**, 416 (1953).
15. D. Hunter, S. G. Lalani, R. A. Cox, and A. R. Peacocke, *Acta Chem. Scand.*, **10**, 793 (1956).
16. A. Kelner, *Proc. Mat. Acad. Sci.*, **35**, 73 (1940).
17. F. H. Wells, *Science*, **124**, 31 (1956).
18. K. L. Wierschowski and J. Andersen, *J. Bacteriol.*, **61**, 389 (1951).
19. D. Shugar, *Biochim. et Biophys. Acta*, **15**, 308 (1954).
20. H. Franckel-Conrat, *Biochim. et Biophys. Acta*, **15**, 308 (1954).
21. A. Jarmolinski and D. Shugar, *Annual Congress "Chemische Gesellschaft DDR,"* Leipzig 1956 (in press).
22. A. Jarmolinski and D. Shugar, *Personal Symposium*, **11**, No. 1, 10 (1957).
23. M. Grunberg-Manago, P. J. Ortiz, and E. Chargaff, *J. Biol. Chem.*, **122**, 967 (1955).
24. R. Markham and J. D. Smith, *Biochem. J.*, **52**, 559 (1953).
25. R. B. Merrifield and D. W. Woolley, *J. Biol. Chem.*, **197**, 521 (1952).
26. A. W. Bernheim and N. Rodhat, *J. Exptl. Med.*, **88**, 149 (1948).
27. M. Kramer and F. B. Straub, *Biochim. et Biophys. Acta*, **21**, 402 (1956).

## Synopsis

A study has been made of the photochemical behavior at 2637 Å of the following substances: 2'-, 3'-, 5'-, and cyclic 2'-cytidylic acids and various nucleosides of apurinic, ribonucleic, and deaminated ribonucleic acids. The behavior of all the cytidylic acids is qualitatively similar, the photoproduct exhibiting a new maximum at 2300 Å. The reaction can be reversed completely in the dark by heating, acidification, or addition of alkali. The 5'-cytidylic acids differ quantitatively from the other cytidylic acids in that the quantum yield is lower and the extinction of the new maximum. These results are in agreement with previous findings. It is also shown that there is hydrogen bonding in cytosine nucleosides and nucleotides between the pyrimidine 2'-oxygen and the 3'-sugar hydroxyl which influences the photochemical reaction. The results indicate also the presence of weaker bonds involving the 2'- and 3'-hydroxyls. The irradiation of apurinic and ribonucleic acids is accompanied by a decrease in extinction of the principal absorption maximum and very little change below 2400 Å. If the decrease of the prime/psl absorption maximum does not exceed 50% as a result of photolysis, then it is subsequently possible to restore about 50% of this value by heating for a few hours at 70-90°C. The quantum yield for photolysis of apurinic acid is of the same order of magnitude as for 2'-, 3'-cytidylic nucleotides; for ribonucleic acid it is lower. For deaminated ribonucleic acid, the restoration is not reversible. The photochemical behavior of nucleic acids is discussed from the point of view of the photochemistry of uracil and cytosine nucleotides, as well as the relation of the results to the phenomenon of photoreactivation.

STAT

D. SHUGAR &amp; WIERZCHOWSKI

neutral medium, but at a rate about 30% lower. In this case, however, there is no partial restoration of the principal absorption maximum during neutral medium, but at a rate about 30% lower. In this case, however, there is no partial restoration of the principal absorption maximum during nucleotides or nucleosides. Furthermore, under the conditions used for reversal of the primary reaction by heat, unirradiated controls showed no change in absorption at temperature.

Chromatographic studies of apurinic acids photolyzed in a neutral medium under conditions such that total decrease in absorption was about 50% did not reveal the presence of any smaller fragments such as nucleotides or nucleosides. Furthermore, under the conditions used for reversal of the primary reaction by heat, unirradiated controls showed no change in absorption at temperature.

We have attempted to calculate roughly the quantum yield for photolysis of deaminated cytidylic acid in the poly nucleotide chain of apurinic acid, assuming that the change in absorption in the neighborhood of the maximum is due entirely to this constituent (since the quantum yield for thymidylic acid is lower by at least one order of magnitude) and that the absorption of the former is not markedly altered as a result of its incorporation in the apurinic acid, an assumption which is fairly reasonable. We obtain, in this way, a value of the same order of magnitude as those for cytosine nucleotides, actually 3 times greater than the quantum yield for free desoxy-cytidylic acid.

While this result is a bit unexpected, it is by no means inconceivable since, as we have previously pointed out,<sup>7</sup> secondary linkages in poly-nucleotide chains involving the pyrimidine rings may affect markedly the rate of the primary photochemical reaction. It is worth noting in this connection that one of the apurinic acid samples (prepared according to the method of Durand and Thomas<sup>13</sup>) differs from that prepared according to Tamm *et al.*<sup>12</sup> in that the cytosine amino groups of the former are not free to dissociate.<sup>13</sup> Despite this, and as mentioned above, the photochemical behavior of both samples is similar. This is in agreement with our observation that the photolysis of free cytosine nucleosides, such as the pyrimosyl-cytosine, is unchanged as regards the primary or reverse reactions if the nucleosides are first treated with formaldehyde according to the procedure of Franckel-Conrat.<sup>20</sup> There is consequently an alteration in both the wave length and extinction of the principal absorption maximum, due most likely to Schiff's base formation, —N—C=H.

As regards the nucleic acids, we had previously reported about 10-15% reversal in photolyzed RNA in a phosphate medium buffered at pH 7, with the use of a resonance lamp without a filter.<sup>1,5</sup> This degree of reversibility was obtained following rather extensive irradiation of the acid. If irradiation is carried to the point where the nucleic acid absorption is reduced to about 25% of its initial value, no reversibility at all is then observed.

Extension of the above results has now shown that, independently of whether the irradiation is performed with or without a filter, if the primary reaction is stopped before the absorption of the photolyzed RNA drops below 50% of its initial value, it is possible to restore 50% of the decrease in absorption resulting from the irradiation by heating for several minutes at 80°C.

Figure 3 shows the effect of irradiation (with an acetic acid filter) of RNA, and the subsequent effect of heating for 5 minutes at 92°C. As in the case of the apurinic acid, it will be noted that irradiation is without appreciable effect on that part of the absorption spectrum below 2400 Å, while subsequent heating results in an increase in values above the initial extinction value.

The heating of unirradiated control samples of RNA produces no permanent changes in absorption. We have noted, however, that an RNA solution heated to above 65°C exhibits a 10% increase in absorption at the maximum (after correcting for the change in volume of the solution as a result of temperature), and that this increase persists until the solution has cooled below 40 or 50°C. We have not as yet attempted to investigate the cause of this reversible increase in absorption with temperature. However, it does apparently indicate some reversible change in configuration with temperature, since enzymatically hydrolyzed RNA does not exhibit this phenomenon, nor does deaminated RNA. It is possible that this temperature effect may be of some significance, e.g., in the metabolism of thermophilic bacteria.<sup>21,22</sup>

Figure 4 shows the behavior of another sample of RNA irradiated as above, but without the acetic acid filter, and for a longer period of time.

In the hope of gaining some additional information on the role of the individual pyrimidine nucleotides in RNA, we have also examined the photolysis of deaminated RNA, which contains only uracil, hypoxanthine, and uridylic acid in the poly nucleotide chain, the absorption maximum being in the neighborhood of 2525 Å. Photolysis in this case is accompanied by characteristic changes in absorption corresponding initially to the relatively rapid destruction of uridylic acid, followed by a slowing down in rate as more of the uridylic acid is photolyzed. The initial absorption maximum at 2525 Å is gradually displaced to 2470 Å. At the same time, the spectra flatten out at longer wave lengths with indications of a maximum at 2700 Å, which corresponds to the spectrum of a mixture of uracil and hypoxanthine which are much more slowly photolyzed. However, contrary to our expectations, we could observe no signs of reversibility at any stage of the reaction.

The above results show that at least some degree of reversibility is to be expected for nucleic acids. To date we have deferred trials with deoxyribonucleic acid because of the increased complexity to be expected in changes in the absorption spectrum, but the important biological functions of this molecule emphasize the need for such investigations.

Obviously more suitable poly nucleotides for studies of reversible photolysis would be those prepared by means of poly nucleotide phosphorylase,<sup>23</sup> which contain only a single component, or such poly nucleotide fragments as di- and tri nucleotides prepared by enzymatic or mild acid hydrolysis of RNA.<sup>24,25</sup> In addition, it would be desirable to extend similar studies by utilizing the biological properties of nucleic acids, such as the ability of RNA to induce streptolysin S formation<sup>26</sup> or enzyme synthesis,<sup>27</sup> the trans-forming principle of DNA, and finally the biological activity of viruses.

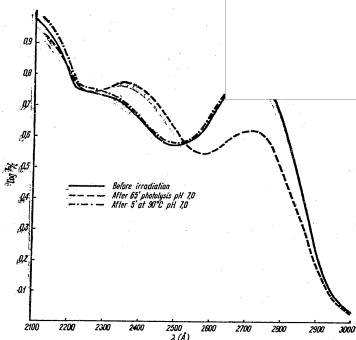


Fig. 1. Change of absorption spectrum of cytidine-5'-phosphate in 0.02 M phosphate buffer (pH 7.0) under the influence of irradiation at 2537 Å, and subsequent heating in the dark.

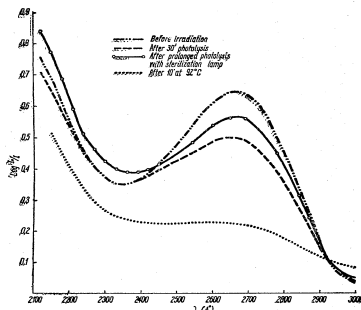


Fig. 2. Irradiation of apurinic acid in 0.02 M phosphate buffer (pH 7.0) followed by heating of the photoproducts.

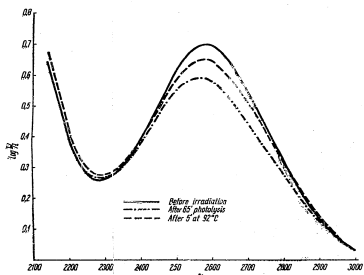


Fig. 3. Irradiation and subsequent partial reversibility of the photolytic reaction produced by heating ribonucleic acid (with acetic acid filter to cut out radiation below 2400 Å) in 0.02 M phosphate buffer at pH 7.0.

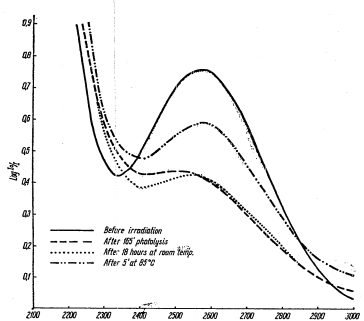


Fig. 4. Irradiation and subsequent partial reversibility of photolysis in a commercial sample of ribonucleic acid in 0.02 M phosphate buffer (pH 7.0) irradiated without an acetic acid filter.

## Schwermetall-Komplexe der Polysaccharidformazane

J. MESTER, *Chemisches Zentralforschungsinstitut der Ungarischen Akademie der Wissenschaften, Budapest, Ungarn*

Vor einigen Jahren haben wir die Beobachtung gemacht, dass die aldehydische Formen des Zuckerphenylhydrazone mit Diazoniumverbindungen zu intensiv roten Formazanen,<sup>1,2</sup> kuppeln:

Später fanden wir, dass auch die mit Perjodsäure,<sup>3</sup> Ozon,<sup>4</sup> bzw. Bichromat<sup>5</sup> oxidierten Polysaccharide (z.B. Cellulose, Stärke, Dextrans, Dextran Phenylhydrazone intensiv rote Formazane liefern. Die Bildung des Stärke-

weises:

In ähnlicher Weise entstehen die Formazane der Cellulose, des Dextrans uns.

Aus der mit Ozon oxidierten Cellulose entsteht das entsprechende Formazan folgenderweise:

In diesem Falle liegt die Formazangruppe am Ende der Glucosanhydriderivate entdeckt, am Ende oder in der Mitte der Kohlenstoffketten befindet. Die Zahl der eingeführten Formazangruppen hängt von der Intensität der Oxydation ab.

Wie sich aus den Abbildungen ergibt, enthält die Formazangruppe ein aktives Chelat-Wasserstoffatom, welches zur Komplexbildung mit Metallsalzen äußerst geeignet ist. Ebenso wie die einfachen Formazane geben die Polysaccharidformazane mit Schwermetallsalzen farbige Metallkomplexe.

Die Struktur der Formazan-Metallkomplexe ist von Hunter und Roberts<sup>6</sup>, Wizsiger und Biro,<sup>7</sup> Jercel und Fischer,<sup>8</sup> Seyhan<sup>9,10</sup> u.a. eingehend untersucht worden. Aus den Arbeiten der erwähnten Forschern geht hervor, dass die Komplexbildungen im Falle der einfachen Formazane im allgemeinen aus zwei Molekülen Formazan und einem Molekül Metallsalz gebildet werden (Bild 4).

Sind aber in dem Formazannmolekül Hydroxyl- oder Carbonylgruppen vorhanden, so nehmen auch diese an der Komplexbildung Teil. Es entsteht dann meist koordinativ ungesättigte Komplexbildungen, in denen je ein Molekül der beiden Komponenten vereinigt (Bild 5).

Beim Studium der Polysaccharidformazankomplexe diente uns als Modellsubstanz das einfache *D*-Galakto-diphenylformazan, evtl. dessen Pentacetat, an welchen dasselbe Prinzip der Komplexbildung zu beobachten ist.

In Fällen des azetylierten *D*-Galakto-diphenylformazans vereinigen sich zwei Formazane mit einem Molekül Uranylazetat zu einem Komplex. Hat aber die Formazangruppe noch eine Carbonylgruppe, so ist das Verhältniss von Formazan zur Uranylgruppe 1:2. Das freie *D*-Galakto-diphenylformazan selbst bildet wieder mit einem Molekül Uranylazetat den Komplex. Hieraus folgt, dass im Falle des *D*-Galakto-diphenylformazans auch die freie Hydroxylgruppen an der Komplexbildung teilnehmen.

Bei den Metallkomplexen der Polysaccharidformazane sind die Resultate nicht immer so eindeutig, doch kann deren Struktur nach im Sinne obiger Formel interpretiert werden. Die Komplexbildung wurde in heterogener Phase in alkoholischer Lösung des Metallsalzes durch Kochen durchgeführt.

Im Falle der Polysaccharidformazane liegt die Zahl der Formazangruppen pro Molekül Metallsalz zwischen eins und zwei. Hat aber die Formazangruppe in den Polysacchariden ebenfalls eine Carbonylgruppe, sinkt die Zahl der Formazangruppen pro Metallsalz unter eins.

Trotzdem die Zahl der Formazangruppen pro Metallsalz unter eins. Werte meist nicht erreicht, möchten wir die Struktur der Polysaccharidformazan-Komplexe in folgenderweise darstellen:

Bild 6 zeigt die angenommene Struktur des Celluloseformazan-Kupferkomplexes.

Bild 7 zeigt die des Uranylkomplexes des Inulinformazans.

Die elektronenmikroskopischen Aufnahmen der Uranylkomplexe der Polysaccharidformazane zeigen einen starken Schatteneffekt, durch den die Polysaccharide mit ausgeprägten schwarzen Tönen sichtbar werden.

Bild 8 zeigt die elektronenmikroskopischen Aufnahme vom Uranylkomplex des Dextranformazans (2500 X), Bild 9 zeigt die des Uranylkomplexes des Inulinformazans (2800 X). Nicht komplexbundene Polysaccharidformazane sind natürlich unter dem Elektronenmikroskop nicht zu sehen. Diese neuen Resultate lassen hoffen, dass auf dieser Grundlage eine neue Methode für Polysaccharidforschung entwickelt werden kann.

Wir haben weiterhin Visko-Kunstseide partiell oxydiert, die Formazane gebildet und anschließend die farbige Kupfer-, Nickel- und Uranylkomplexe hergestellt. Die ganz erstaunliche Folge wurde auf der Faser direkt ausgeführt, so dass dadurch leicht gefärbte Textilien entstanden, die zur Gruppe der sogenannten "chemisch gefärbten Fasern" gehören.

Das Studium der wissenschaftlichen und praktischen Anwendung der Metallkomplexe der Polysaccharidformazane wird fortgesetzt.

Ich darf auch an dieser Stelle meine Mitarbeiter A. Major und E. Mocár (Organisch-Chemisches Institut der Technischen Universität, Budapest), J. Meisel und L. Nosko (Chemisches Zentralforschungsinstitut; der Ungarischen Akademie der Wissenschaften, Budapest), sowie für die elektronenmikroskopischen Aufnahmen Herrn P. Guba (Elektronenmikroskopischen Laboratorium der Ungarischen Akademie der Wissenschaften, Budapest) meinen besten Dank aussprechen.

TABELLE I

Formazan-Verbindung	Komplexbildung	Formazan:uran in dem Komplex
<i>D</i> -Galakto- <i>N,N'</i> -diphenylformazan	Uranylazetat in Ethanol, 15 min.	1:1
<i>D</i> -Galakto- <i>N,N'</i> -diphenylformazan penta-O-acetat	Uralyazetat in Ethanol, 15 min.	2:1
<i>D</i> -Galakto- <i>N</i> -phenyl- <i>N'</i> -(2-carboxyphenyl)-formazan	Uralyazetat in Ethanol, 15 min.	1:1
<i>D</i> -Galakto- <i>N</i> -phenyl- <i>N'</i> -(2-carboxyphenyl)-formazan penta-O-acetat	Uralyazetat in Ethanol, 15 min.	1:1

TABELLE II

Formazan-Verbindung mit Perjodsäure 24 Stunden oxydierten Polysacchariden	Komplexbildung	Formazan:uran in dem Komplex
Cellulose- <i>N,N'</i> -diphenylformazan	Uranylazetat in Ethanol, 60 min.	1:2:1
Dextran- <i>N,N'</i> -diphenylformazan	Uranylazetat in Ethanol, 10 min.	1:3:1
Inulin- <i>N,N'</i> -diphenylformazan	Uranylazetat in Ethanol, 10 min.	1:6:1
Cellulose- <i>N</i> -phenyl- <i>N'</i> -(2-carboxyphenyl)-formazan	Uranylazetat in Ethanol, 60 min.	0,8:1
Dextran- <i>N</i> -phenyl- <i>N'</i> -(2-carboxyphenyl)-formazan	Uranylazetat in Ethanol, 10 min.	0,4:1
Inulin- <i>N</i> -phenyl- <i>N'</i> -(2-carboxyphenyl)-formazan	Uranylazetat in Ethanol, 10 min.	0,9:1